

M-13

МИНИСТЕРСТВО МЕЛИОРАЦИИ И ВОДНОГО
ХОЗЯЙСТВА СССР

СРЕДИАЗМАТСКИЙ ОРДЕНА ТРУДОВОГО КРАСНОГО ЗНАМЕНИ
НАУЧНО-ИССЛЕДОВАТЕЛЬСКИЙ ИНСТИТУТ ИРРИГАЦИИ
имени В. Д. ЖУРНА (САМИРН)

ТУРКМЕНСКИЙ НАУЧНО-ИССЛЕДОВАТЕЛЬСКИЙ ИНСТИТУТ
ГИДРОТЕХНИКИ И МЕЛИОРАЦИИ

МЕЛИОРАЦИЯ ЗЕМЕЛЬ
В ТУРКМЕНИСТАНЕ

Ташкент — 1975

631.6

МИНИСТЕРСТВО МЕЛИОРАЦИИ И ВОДНОГО
ХОЗЯЙСТВА СССР

Среднеазиатский ордена Трудового Красного
Знамени научно-исследовательский институт
ирригации имени В. Д. Журина (САНИИРИ)
Туркменский научно-исследовательский институт
гидротехники и мелиорации

МЕЛИОРАЦИЯ ЗЕМЕЛЬ В
ТУРКМЕНИСТАНЕ

Второй выпуск

Ташкент—1975

УДК 551.573+581.45+621.879+624.131+626.8+631.6

В настоящем сборнике, посвященном мелиоративным исследованиям в Туркменистане, изложены наиболее приемлемые методы борьбы с засолением орошаемых земель на примере Чарджоуского и Тедженского оазисов, даны рекомендации по повышению эффективности дренажных систем, предложены расчетные зависимости для определения высоты высачивания и показателей несовершенства скважин вертикального дренажа, описаны конструкция и результаты испытания прибора по определению очередного срока полива хлопчатника по относительной испаряемости, рассмотрены перспективы применения геофизических съемок в мелиоративных изысканиях и исследованиях, приведены биометрические характеристики хлопчатника и конкретные величины суммарного испарения на люцерновом поле по методу теплового баланса, даны показатели использования грунтовой воды томатами, указаны способы промывки сильнозасоленных земель после орошения минерализованными водами и влияние последнего на урожай хлопчатника, рассмотрены пути повышения производительности экскаватор-дреноукладчиков в водонасыщенных грунтах и землесосных снарядов, применяемых в мелиоративном строительстве.

Сборник рассчитан на широкий круг специалистов и научных работников, занимающихся проектированием, строительством и эксплуатацией гидромелиоративных систем.

Р е д к о л л е г и я

В.А.Духовный (отв.ред.САНИИРИ), А.А.Абдулжабаров,
Р.А.Алимов, Х.А.Аманов (ТуркменНИИГиМ), Х.Х.Аскаров,
К.И.Белоцерковский, А.К.Хулев (КазНИИВХ), Г.Г.Валентини,
Т.И.Дерлятка, С.И.Кеберле, Н.Т.Лактаев, В.Н.Машков,
А.М.Мухамедов (зам.ред.), У.Б.Пулатов, Х.И.Якубов (зам.ред.).

Туркменский научно-исследовательский институт
гидротехники и мелиорации. 1975г.

ТУРКМЕНИСТАНДА ЕРЛЕРИН МЕЛИОРАЦИЯСЫ

Икинжи гойберилиш

УДК 631.62:626.86

Канд. техн. наук В.А.КАЛАНТАЕВ

БОРЬБА С ЗАСОЛЕНИЕМ ОРОШАЕМЫХ ЗЕМЕЛЬ
В ЧАРДЖОУСКОМ ОАЗИСЕ

В Чарджоуском оазисе засоленные земли занимают более 60 % орошающей площади, что в значительной степени снижает урожайность сельскохозяйственных культур. Известно, что на слабо- и среднезасоленных землях урожайность хлопчатника снижается на 30 - 35 % по сравнению с незасоленными массивами. Отсюда видно, какое огромное значение в орошаемом земледелии должны иметь методы рассоления почво-грунтов. Эти методы в основном базируются на промывных поливах на фоне интенсивно действующих дренажных систем.

Промывные поливы по своим особенностям можно подразделить на две разновидности: промывки староорошаемых земель со слабой или средней степенью засоления и промывные поливы сильнозасоленных почв (солончаков). Первая разновидность промывных поливов характеризуется относительно небольшими нормами ($2000 - 3000 \text{ м}^3/\text{га}$).

Многочисленные исследования разных ученых показали, что лучшими сроками для проведения профилактических поливов являются осенне-зимние месяцы (ноябрь-февраль). В это время природно-климатические условия способствуют повышению эффективности промывных поливов за счет глубокого залегания уровня грунтовых вод и почти полного отсутствия испарения с поверхности почвы. В осенне-зимний период на вытеснение одной тонны хлора расходуется $100 - 150 \text{ м}^3/\text{га}$, тогда как в ве-

сенний - до 200 м³/га, а в летний период - 220 - 250 м³/га оросительной воды. Промывные поливы слабо- и среднезасоленных земель какого-либо орошающего массива распределяются во времени таким образом, чтобы интенсивность питания грунтовых вод не превышала допустимой величины. По хозяйственным и гидротехническим условиям (подготовка орошаемых земель к промывным поливам, водоносность рек и пропускная способность оросительных систем) промывные поливы обычно растягиваются на 2 - 3 месяца, при этом интенсивность питания грунтовых вод составляет около 0,40 л/сек/га.

Дренажные системы должны строится таким образом, чтобы они могли не только справляться с такой интенсивной нагрузкой, но и обладали "запасом прочности" мелиоративного эффекта на 25 - 50 %, то есть дренаж необходимо рассчитывать на модуль стока промывного периода не менее 0,50 - 0,60 л/сек/га.

Следует отметить, что рекомендуемые ранее размеры промывных делянок значительно снижают эффективность промывных поливов. При разбивке орошаемых участков на промывные делянки площадью 0,10 - 0,25 га приходится делать слишком много валиков (чилей), которые при промывке делянок не заливаются водой и служат накопителями солей. В настоящее время в колхозах и совхозах Туркмении имеется мощная сельскохозяйственная и планировочная техника, при помощи которой можно значительно улучшить планировку орошаемых площадей и увеличить размер промывных делянок. Нам представляется, что в целях повышения эффективности промывных поливов размер делянок необходимо довести до 2,0 - 5,0 га.

Тщательная планировка орошаемых земель позволит значительно улучшить также и качество вегетационных поливов, что в конечном счете приведет к повышению урожайности сельскохозяйственных культур. В качестве примера можно привести колхозы "Коммунизм" Керкинского района Чарджоуской области и им. Калинина Ильялинского района Ташаузской области. В этих колхозах уже много лет подряд промывные поливы проводятся по делянкам, размеры которых доходят до 5,0 га. Средняя урожайность хлопчатника в названных колхозах составляет около 40 ц/га.

Промывные поливы с целью освоения сильнозасоленных

земель и солончаков должны проводиться больными нормами оросительной воды. В настоящее время такие поливы проводят небольшими разовыми нормами, что является малозэффективным мероприятием и растягивает сроки освоения на несколько лет. Промывные поливы малыми нормами, даже на фоне хорошо работающих дренажных систем, не гарантируют устойчивого рассоления солончаковых земель, так как грунтовые воды при этом опресняются очень медленно и на небольшую глубину. Низкая эффективность промывных поливов малыми нормами объясняется тем, что в перерывах между поливами верхний слой почвы подсыхает и подтягивает соли из грунтовых вод, вследствие чего они аккумулируются на поверхности орошаемых земель. Последующие поливы растворяют эти соли и вновь вмывают их в грунтовые воды. Такое передвижение солей "вниз-вверх-вниз" продолжается до тех пор, пока грунтовые воды не опреснятся до оптимальной минерализации на глубину 5 - 10 м. Обычно для этого требуется 10 - 20 лет. Поэтому решающим условием повышения эффективности промывных поливов сильнозасоленных земель является интенсивная работа дренажных систем, которые отводят инфильтрационные воды с вмтыми в них солями и дают возможность проводить промывки большими нормами.

В Чарджоуской области в настоящее время имеется несколько видов дренажа, которые отличаются друг от друга конструктивно, имеют различные мелиоративную эффективность и удельную стоимость. Преобладающими являются открытые коллекторы и дrenы, общая протяженность которых на 1 января 1974 г. составляла 3507 км, а удельная протяженность на орошающую и валовую площади - соответственно 23,0 и 13,2 м/га. В свое время строительство открытой коллекторно-дренажной сети было вызвано необходимостью в короткие сроки улучшить мелиоративное состояние земель и повысить урожайность хлопчатника. Следует отметить, что с поставленными задачами открытый дренаж справился успешно.

Промывные поливы на фоне более или менее развитой дренажной сети позволили опреснить почво-грунты на площади более 100 тыс. га. Значительно уменьшилась и минерализация грунтовых и дренажных вод. Это обстоятельство не замедлило сказаться на увеличении валового урожая всех сельскохозяйственных культур, в том числе и хлопчатника. За последние

15 - 20 лет урожай хлопка-сырца возросли на 10 - 12 ц/га. Однако открытая осушительная сеть является рассадником сорной растительности, мешает механизации сельскохозяйственных работ, способствует ухудшению дисциплины водопользования и занимает много полезной площади. Это не отвечает современным требованиям культуры земледелия и требует существенных изменений в конструкции дренажной сети. В последние 10 - 15 лет из Чардоуской опытно-мелиоративной станции проводятся исследования по определению эффективности рассолающего действия промывных поливов на фоне горизонтального закрытого, вертикального и вакуумного дренажей.

Закрытый горизонтальный дренаж построен на полях мелиоративной станции в 1960 г. Дренажные системы ежегодно отводили за пределы культурной зоны по 5000 - 7000 м³ грунтовой воды с каждого гектара, что позволило еще в 1970 г. полностью освоить солончаковые массивы и получать на них хорошие урожаи хлопка-сырца. Минерализация грунтовых вод на фоне горизонтального закрытого дренажа за этот период уменьшилась с 15 - 20 г/л до 2 - 3 г/л на глубину до 10 м. Таким образом, для полного завершения мелиоративного периода потребовалось 10 лет работы закрытого горизонтального дренажа.

Вертикальный дренаж построен в 1964 - 1968 гг. в колхозе "Туркменистан" Саятского района. Всего построено 14 скважин, которые обслуживают около 800 га орошаемых земель. За период работы скважин (1964 - 1974 гг.) засоленность почво-грунтов уменьшилась с 1,0 - 1,5 % до 0,3 - 0,6 % по плотному остатку и с 0,05 - 0,10 % до 0,01 - 0,02 % по хлор-иону; минерализация грунтовых вод - соответственно с 3,0 - 5,0 г/л до 0,9 - 4,0 г/л на глубину до 30 м. Эти результаты свидетельствуют о том, что вертикальный дренаж оказал большое влияние на улучшение мелиоративного состояния орошаемых земель хозяйства. Урожайность хлопчатника за этот период повысилась на 12 ц/га, составив в 1973 г. 29,8 ц/га.

Вакуумные системы вертикальных дрен построены в 1971 - 1974 гг. на площади около 300 га. Конструктивно вакуумная система отличается от остальных дренажных систем способностью работать и самотеком, и при помощи насоса. При самотеке система работает как закрытый горизонтальный дренаж. Приток воды к ней зависит от действующего напора грунтовых

вод. При включении насоса система работает как вертикальный дренаж. Вода двигается к ней не только под влиянием напора грунтовых вод, сколько под влиянием вакуума в собираителе.

В мелиоративный период или в период проведения промывных поливов засоленных земель вакуумные дренажные системы работают при помощи насоса, отводя максимальные объемы воды в единицу времени. В эксплуатационный период, после опреснения почво-грунтов и грунтовых вод насос отключается и система при открытой задвижке работает самотеком, отводя небольшие объемы грунтовых вод и обеспечивая солевую "вентиляцию" почво-грунтов.

Промывные и вегетационные поливы орошаемых земель на фоне вакуумных систем за период 1971 - 1974 гг. не только опреснили почво-грунты, но и в значительной степени уменьшили минерализацию грунтовых вод - на глубину 8 - 10 м. В 1974 г., после очередных промывных поливов засоленность не превышала 0,40 % по плотному остатку и 0,01 % по хлору, а минерализация грунтовых вод уменьшилась с 6 - 8 г/л до 2 - 3 г/л по плотному остатку. Урожайность хлопчатника на фоне вакуумного дренажа за 3 года возросла с 20 до 31 ц/га. Отсюда видно, что и вакуумные дренажные системы обладают высокой мелиоративной эффективностью и могут быть успешно применены для улучшения мелиоративного состояния орошаемых земель.

Приведенные данные свидетельствуют о возможности применения в гидрогеологических условиях Чардоуского оазиса всех рассмотренных выше дренажных систем, отличающихся друг от друга удельными капитальными вложениями на единицу дренированной площади. Оценка сравнительной эффективности открытых и закрытых горизонтальных, вертикальных и вакуумных дренажных систем Чардоуского оазиса показала, что в порядке снижения эффекта их можно расположить в такой последовательности: вакуумные дренажные системы, закрытый горизонтальный дренаж, вертикальный дренаж и открытый горизонтальный дренаж.

веро-восточнее г.Ашхабада с близким и глубоким залеганием уровня грунтовых вод.

На участке с близким залеганием уровня грунтовых вод почвы представлены светлыми сероземами. Верхний слой (0 - 20 см) - суглинистый, нижний (60 - 160 см) - тяжелосуглинистый. Объемный вес почвы в слое 0 - 160 см изменяется от 1,21 до 1,52 г/см³. Наименьшая влагоемкость почвы в слое 0 - 100 см составляет 22,8 %, влажность завидания - 11,5 % к весу. Содержание солей по сухому остатку в слое 0 - 160 см колеблется от 0,132 до 0,156 %, хлора - от 0,012 до 0,13 %. Динамика уровня грунтовых вод за 1971 - 1972 гг. характеризуется данными табл. I. Высокое стояние грунтовых вод в апреле и мае объясняется проведением поливов большими нормами. В грунтовой воде содержится солей по сухому остатку 2,8 - 3,1 г/л и хлора - 0,3 - 0,76 г/л.

УДК 551.573:633.3I

Канд. техн. наук Х. АМАНОВ,
канд. техн. наук Х. ЗАМАНМУРАД,
метеоролог В.А. СОКОЛОВА

ИССЛЕДОВАНИЕ СУММАРНОГО ИСПАРЕНИЯ НА ЛЮЦЕРНОВОМ ПОЛЕ ПО МЕТОДУ ТЕПЛОВОГО БАЛАНСА

В последние годы особое место при расчетах водопотребления сельскохозяйственных культур и динамики запасов влаги в почве занимают физические методы учета метеорологических факторов, а также методы определения влагозапасов почвы в отдельных точках, основанные на использовании агрофизических приборов.

К числу наиболее важных характеристик взаимосвязи сельскохозяйственных культур с условиями их произрастания относятся величины суммарного испарения с полей и транспирации, поскольку испарение является основной расходной частью теплового и водного баланса сельскохозяйственных угодий.

Метод теплового баланса для определения суммарного испарения на орошаемом люцерновом поле в силу теоретической обоснованности имеет большое преимущество перед другими методами определения испарения. Он дает возможность определить величину испарения практически за любые промежутки времени, что особенно важно при определении и оценке режима орошения люцернового поля.

Исследование суммарного испарения по методу теплового баланса на люцерновом поле проводились в 1971 - 1973 гг. в зоне орошения Каракумского канала на участках се-

Таблица I

Среднемесячная
глубина залегания грунтовых вод, м

Годы	Месяцы								Средняя за IV - X
	IV	V	VI	VII	VIII	IX	X		
1971	1,20	1,50	2,00	2,50	2,80	2,50	2,50		2,14
1972	1,43	1,53	1,70	1,50	1,40	1,40	1,40		1,48
Средняя	1,32	1,52	1,85	2,00	2,10	1,95	1,95		1,81

Почвы участка с глубоким залеганием уровня грунтовых вод представлены светлыми сероземами. Верхний метровый слой почво-грунтов сложен средними и тяжелыми суглинками, слой 120 - 160 см - средними и легкими суглинками. Объемный вес почвы в слое 0 - 160 см изменяется от 1,4 до 1,72 г/см³. Наименьшая влагоемкость почвы в слое 0 - 100 см составляет 21,7 %, влажность завидания - 8 - 10 % к весу. Содержание солей по сухому остатку в слое 0 - 160 см варьирует от 0,158 до 0,277 %, хлора - от 0,0160 до 0,0185 %. Уровень грунтовых вод залегает на глубине 8 - 10 м от поверхности земли.

Район исследований находится в зоне пустынского и умеренного пояса с резко континентальным климатом, характе-

ризующимся длительным летним периодом, небольшой облачностью, низкой влажностью воздуха, незначительным количеством осадков и высокой испаряемостью (табл. 2). В среднем за вегетационный период испарение более чем в 12 раз превышает количество выпавших атмосферных осадков. Продолжительность безморозного периода — более 300 дней.

Таблица 2

Метеорологические
данные по опытным участкам
(средние за 1971—1973 гг.)

Месяцы	Температура воздуха, °C	Относительная влажность воздуха, %	Дефицит влаги в почве, мм	Атмосферные осадки, мм	Скорость ветра, м/сек	Испаряемость, мм
IV	15,8	73	10,9	45,2	2,2	88,7
V	20,8	61	16,2	41,3	2,0	148,6
VI	26,4	54	25,6	6,5	2,2	213,3
VII	28,6	42	31,6	0,8	2,0	250,2
VIII	25,4	39	27,2	2,0	1,7	223,4
IX	21,7	41	21,0	0,8	1,9	186,2
X	17,2	51	10,3	1,2	1,7	88,4

Густота стояния люцерны в 1971 г. составила: на участке с близким залеганием уровня грунтовых вод — 4,8 млн. растений на гектар (четвертый год вегетации), на участке с глубоким залеганием уровня грунтовых вод — 3,3 млн. растений на гектар (второй год вегетации).

Исследования по определению суммарного испарения люцерны методом теплового баланса проводились (в Туркмении — впервые) с помощью теплобалансографа АСИ, разработанного Ю.Л. Розенштоком [6], и аспирационных психрометров МВ-4. Теплобалансограф автоматически вел определение и запись составляющих величин теплового баланса и градиентов температуры и влажности воздуха на высотах 0,5 и 2,0 м от деятельной поверхности.

Уравнение теплового баланса деятельной поверхности

записывается по М.И. Будыко [2]:

$$R - LE + B + P,$$

где

R — радиационный баланс деятельной поверхности;
 LE — затраты тепла на испарение;
 B — поток тепла в почву;
 P — турбулентный поток тепла.

Суммарное испарение рассчитывалось по формуле:

$$E = \frac{R - B}{1 + 0,48 \frac{\Delta T}{\Delta \ell}} \text{ мм/час},$$

где ΔT — разность температуры воздуха на высоте 0,5 и 2,0 м над деятельной поверхностью;
 $\Delta \ell$ — разность абсолютной влажности на тех же высотах;

0,48 — коэффициент, зависящий от размерности величины ΔT и $\Delta \ell$.

В 1971—1972 гг. наибольший радиационный баланс наблюдался в июне-августе: 14,5—11,5 ккал/см², наименьший — в сентябре-октябре: 7,3—8,0 ккал/см². В 1973 г. — соответственно в мае-августе: 15,3—12,6 ккал/см² и в сентябре-октябре: 11,7—10,2 ккал/см² (табл. 3).

Величина потока тепла в почву за весь период вегетации изменилась незначительно и составляла 8—17 % от радиационного баланса, причем наибольшее значение отмечалось в начале вегетации, наименьшее — в период цветения люцерны.

Из расходных статей теплового баланса люцернового поля на первом месте стоят затраты тепла на испарение, зависящие от теплового режима, влажности воздуха, объема растительной массы и фазы развития люцерны. С увеличением растительной массы люцерны затраты тепла на испарение превышали радиационный баланс на 5—10 %. Максимальный расход тепла наблюдался в мае-августе: 420—300 ккал/см² в сутки, минимальный — в период отрастания люцерны после укосов: 120—250 ккал/см² в сутки.

Распределение расходных статей теплового баланса в основном зависит от влаги в почве, степени развития растений и условий погоды. После полива радиационный баланс и затраты тепла на испарение увеличивались. Наибольшее значение радиа-

Таблица 3

Месячные суммы
составляющих теплового баланса,
ккал/см²

Элементы теплового баланса:	IY	У	УІ	УП	УШ	IX	Х	Сумма за IY - X	
								IY	-X

1971 год

R	II,60	I3,74	I4,51	I3,33	II,84	9,96	7,34	82,32
LE	I0,80	I0,13	I3,80	I4,90	I4,70	9,40	8,40	82,13
B	0,60	0,50	0,50	0,40	0,20	0,80	I,30	4,30
P	0,20	3,10	0,40	-2,00	-3,10	-0,30	-2,40	-4,10

1972 год

R	II,13	9,90	II,84	II,50	II,98	9,59	8,00	73,94
LE	9,06	7,55	9,80	I2,23	I4,39	8,50	8,80	70,33
B	I,46	I,39	I,04	I,35	0,04	0,80	0,40	6,48
P	0,61	I,00	I,02	-2,00	-2,43	0,30	-I,20	-2,70

1973 год

R	II,75	I5,36	I4,58	I2,64	I4,06	II,70	I0,23	90,31
LE	II,02	I7,45	20,25	I4,06	I6,66	II,47	II,05	I01,90
B	I,05	I,30	I,89	I,82	0,78	0,23	0,19	7,26
P	-I,85	-3,38	-7,56	-3,91	-3,38	0	-0,82	-20,90

ционного баланса отмечалось в период максимального роста люцерны при значительном увлажнении почвы. В апреле он увеличивался после полива на 32 - 45 %, в августе - на 15 - 40 %. С замедлением роста люцерны в сентябре-октябре радиационный баланс после полива изменялся незначительно. Затраты тепла на испарение в апреле увеличивались после полива на 50 %, после укоса с проведением поливов - 2 - 10 %. Поток тепла в почву уменьшался с ростом люцерны и проведением поливов.

В начале вегетации (апрель) турбулентный поток после полива повышался на 36 %, в конце вегетации (сентябрь-октябрь) - до 18 %.

После полива перепад влажности воздуха увеличивался на 0,4 - 1,5 мм, а перепад температуры воздуха уменьшался на 0,3 - 1,1 °C.

Суточный ход испарения соответствовал в основном суточному ходу радиационного баланса. Максимальная величина испарения приходилась на полуденное время. После укоса испарение резко снижалось. На второй день после укоса оно сокращалось почти в два раза, в течение последующих двух-трех дней - постепенно. Так, например, в мае 1972 г. до укоса величина среднесуточного испарения составила 5,9 мм/сутки, а на третий день после укоса - 2,5 мм/сутки. На пятый день после укоса испарение стало повышаться.

С ростом люцерны суточные величины испарения увеличивались, достигая наибольшего значения в период максимального роста или в начале цветения.

Величина суммарного испарения за 1971 г. значительно отличается по сравнению с 1972 г. (табл. 4). Это объясняется тем, что в 1971 г. в весенний период (март-апрель) температура воздуха была на 3 - 5 выше и осадков выпало на 44 мм больше, чем в 1972 г.

Таблица 4

Месячное суммарное испарение на люцерновом поле, мм

Годы	IY	У	УІ	УП	УШ	IX	X	Всего	Накопление сухой массы, ц/га
1971	I7I	400	366	335	369	287	I2I	2049	418
1972	I5I	I43	I62	I87	I83	I26	I2I	I073	256
1973	I6I	285	324	260	285	I87	89	I59I	I48
Средняя	I6I	276	284	26I	279	200	I10	I57I	274

Указанные обстоятельства способствовали лучшей водо- и теплообеспеченности и ускорению начала вегетации растений в 1971 г., что обусловило получение высокого урожая (418 ц/га). Кроме того, в 1971 г. люцерна вегетировала третий год, а в 1972 г. - четвертый год. Как известно, люцерна четвертого года стояния, по сравнению с третьим годом, отстает в росте. Она плохо кустится, нижние листья отмирают, растения становятся бледными, листовые черешки утончаются. В связи с этим урожайность люцерны в 1972 г. была ниже, чем

в 1971 г., на 39 %, что сказалось на уменьшении испарения - на 47 %.

Суммарное испарение полем люцерны определялось одновременно и методом водного баланса по формуле:

$$E = O + P + W_K - W_N,$$

где E - суммарное испарение;

O - осадки;

P - поливы;

W_N и W_K - запасы влаги в балансовом слое почво-грунта в начале и конце наблюдений.

Как видно из табл. 5, в течение вегетационного периода основной составляющей в приходной части водного баланса люцернового поля являются поливы, обеспечивающие около 70 % прихода. Большое значение в улучшении водообеспеченности растений имеет запасы влаги в почве в начале вегетации, на долю которых в слое почвы 160 см в среднем приходилось около 20 % прихода.

Таблица 5

Водный баланс люцернового поля

Годы	Приход воды, мм			Расход воды на влаги почве в конце вегетации, мм	Запасы влаги в почве в начале вегетации, мм
	Глубина залегания грунтовых вод, м	запас влаги в почве в начале вегетации	осадки		
1971	2,14	284	52	838	979 -195
1972	1,48	248	105	788	868 -273
1973	9,00	251	137	II91	I245 -334

Разность величин суммарного испарения, полученных методами теплового и водного баланса, составила в 1971 г. 1020 мм, в 1972 г. - 205,6 мм. Выявленную разность можно отнести за счет испарения из грунтовых вод, что подтверждается лизиметрическими данными ряда авторов (Д.М. Кац [5], Х.А. Аманов, Х. Заманмурад и другие [4], Ф.Ф. Давитая, Ю.С. Мельник [3]). В 1973 г. при глубоком залегании уровня

грунтовых вод величина суммарного испарения, определенная методом теплового баланса, оказалась больше на 346 мм по сравнению с результатом, полученным методом водного баланса; видимо, близко расположенные поля хлопчатника и кукурузы влияли на показания датчиков. Особенно сильно это проявлялось в периоды, когда на эти поля подавались максимальные нормы полива - в июле-августе.

В табл. 6 сопоставлены величины суммарного расхода воды с люцернового поля, полученные методами теплового баланса и лизиметров, при близком и глубоком залегании уровня грунтовых вод. Приведенные данные близки между собой. Некоторое отклонение в месячном разрезе объясняется различными режимами орошения и сроками укосов люцерны.

Таблица 6

Суммарное испарение с люцернового поля, определенное методами теплового баланса и лизиметров, мм

Глубина залегания грунтовых вод, м	Месяцы							Накопление сухой массы, п/га	Расход воды на I ц сухой массы, м ³
	IV	V	VI	VII	VIII	IX	X		
Тепловой баланс									
2	161	272	264	262	276	206	I20	I561	337,0 4,6
9	161	285	324	260	285	I87	89	I591	I48,0 10,7
Лизиметры									
2	I80	314	304	414	336	I51	91	I790	I90,2 9,4
4	I52	I50	I97	299	258	I46	80	I282	I33,5 9,6

Примечание: Данные при глубине залегания уровня грунтовых вод 2 м - за 1971 - 1972 гг., 4 м и 9 м - за 1973 г.

Для расчета месячного суммарного испарения воды с люцернового поля при близком залегании уровня грунтовых вод (I - 3 м) с апреля по октябрь Х.А. Амановым [4] на основе

лизиметрических исследований получена зависимость:

$$E_M = 0,027 \frac{\sqrt[3]{y} \sqrt{t^3}}{\sqrt{H}},$$

где E_M — месячное суммарное испарение;
 t — сумма среднесуточных температур за месяц;
 H — глубина залегания уровня грунтовых вод;
 y — накопление сухой массы люцерны.

Сопоставление величин суммарного испарения с люцернового поля при близком залегании уровня грунтовых вод, полученных методами теплового баланса и лизиметров (по формуле Х.А. Аманова), показало, что они близки между собой (табл. 7).

Таблица 7

Суммарное испарение
с люцернового поля, определенное
методами теплового баланса
и по формуле

Глубина залегания уровня грунтовых вод, м	Месяцы	Метод		Отклонение, %
		тепловой баланс	расчетный по формуле	
I,32	IУ	161	175	-8
I,52	У	272	266	3
I,85	УІ	264	325	-19
2,00	УІІ	261	374	-30
2,10	УІІІ	276	326	-18
I,95	ІХ	206	244	-16
I,95	X	120	143	-16
Всего		1561	1853	-16

Полученная формула для расчетов месячного испарения воды с люцернового поля может быть использована в водобалансовых расчетах и при корректировке плана водопользования.

ЛИТЕРАТУРА

1. Аманов Х.А. Определение суммарного расхода воды полем при близком залегании уровня грунтовых вод в зоне Каракумского канала. "Изв. АН ТССР", № 2, серия биологических наук. Ашхабад, 1964.

2. Будыко М.И. Тепловой баланс земной поверхности. Л., Гидрометеоиздат, 1956.

3. Давитая Ф.Ф., Мельник Ю.С. Проблема прогноза испаряемости и оросительных норм. Л., Гидрометеоиздат, 1970.

4. Заманмурад Х., Аманов Х.А. и др. Методы расчета водопотребления сельскохозяйственных культур. Научно-технический отчет ТуркменНИИГиМа. Ашхабад, 1971.

5. Кац Д.М. Испарение грунтовых вод на орошаемых землях пустынной зоны. В кн.: "Материалы межведомственного совещания по проблеме изучения испарения с поверхности суши". Валдай, ГГИ, 1961.

6. Розениток Ю.Л., Чудновский И.А. Автоматическая регистрация испарения с сельскохозяйственного поля. Сб. тр. по агрофизике, вып. 8. Л., Гидрометеоиздат, 1960.

УДК 631.675+633.5II:551.573

Канд. с.-х. наук В.К. ГАФУРОВ,
агроном М. ТАГАНОВ

ОПРЕДЕЛЕНИЕ
ОЧЕРДНОГО СРОКА ПОЛИВА ХЛОПЧАТНИКА
ПО ОТНОСИТЕЛЬНОЙ ИСПАРИЕМОСТИ

Развитие орошения в Туркменистане тесно связано с рациональным использованием весьма ограниченных водных ресурсов. Правильный режим орошения в сочетании с высокой агротехникой определяет производительность поливных земель.

При недостатке почвенной влаги сокращается поступление в растения воды и питательных элементов из почвы, снижается интенсивность транспирации, уменьшается продуктивность фотосинтеза. Установлено, что неоправданно редкие поливы способствуют развитию излишне мощной, глубоко проникающей корневой системы в ущерб развитию надземных органов. Это приводит к нарушению обмена веществ и обретанию образующихся завязей.

Избыток воды приводит к жираванию и сбрасыванию ранних плодозлементов из-за затенения и углеродного голодаания. При частых поливах корневая система хлопчатника развивается в поверхностном слое почвы, влага и питательные вещества нижних горизонтов не используются.

Основная задача орошаемого земледелия - создать на весь период вегетации оптимальные влагозапасы в почве. В этом отношении были предложены различные способы назначения поливов: по влажности почвы, по морфологическим призна-

кам растений, по физиологическим показателям. Способ назначения поливов по влажности почвы трудоемок, применять его на участках с близким залеганием минерализованных грунтовых вод затруднительно. При назначении поливов по морфологическим признакам растений большую роль играет субъективный фактор, вследствие чего визуальные признаки водного голодаания обнаруживаются уже у пострадавших растений или же полив зачастую назначается преждевременно по признаку ослабления тurgора листьев в дневные часы. При назначении поливов по физиологическим признакам можно с большой точностью регулировать водный режим почвы в соответствии с потребностью растений, но этот способ не нашел широкого применения.

В связи с этим в настоящее время большое внимание уделяется научной разработке сравнительно простых способов определения с достаточной точностью сроков и норм полива сельскохозяйственных культур, позволяющих оперативно и надежно контролировать состояние растений и среди них жизнедеятельности.

Задача оптимальной водообеспеченности растений может быть решена при установлении количественных отношений между климатическими условиями и потребностью растений в воде. В качестве такого показателя предлагается использовать испаряемость - максимально возможное испарение при данных метеорологических условиях с достаточно увлажненной подстилающей поверхности. Испаряемость и интенсивность расхода влаги из почвы имеют закономерную зависимость при глубоком залегании уровня грунтовых вод.

Используя полуэмпирические методы расчета содержания влаги в почве при глубоком залегании уровня грунтовых вод, получаем зависимость между изменениями влажности почвы и испаряемостью:

$$\lg W - \lg W_{n.b.} = \frac{a}{h} \lg e \sum_{t_0}^t E_o$$

где W и $W_{n.b.}$ - влажность почвы в момент времени t и (после полива при $t = t_0$) $W_{n.b.}$ равно наименьшей влагоемкости;

a - коэффициент пропорциональности;

h - глубина активного слоя почвы;

E_o - испаряемость.

В правой части зависимости неизвестным является E_0 , остальные члены постоянны для данных конкретных условий. Имея надежные данные по испаряемости, можно определять сроки полива и в некоторой степени прогнозировать их, находя из рассматриваемой зависимости величину W в момент времени t и ограничивая ее значением предполивной влажности, равной для хлопчатника $0,65 - 0,70 W_{\text{кд}}$.

Практически величину испаряемости можно определить с помощью датчика относительной испаряемости, дающего показания, идентичные испаряемости с деятельной поверхности при одинаковых природных условиях.

На использовании зависимости расхода влаги из почвы от испаряемости основано устройство прибора для определения очередного срока полива сельхозкультур (рис. I). Прибор состоит из поплавковой камеры, отсека для фитиля и батарейного отсека.

В поплавковой камере размещается поплавок, связанный с контактной системой, которая расположена на крышке камеры. С целью имитации испарения использован батистовый кружок, расположенный на неразмокаемой подложке и соединенный батистовым фитилем с водой, находящейся в отсеке. На передней панели поплавковой камеры помещается шкала с градуировкой содержания влаги по предельно полевой влагоемкости и к весу сухой почвы. В батарейном отсеке размещается источник питания для подачи сигнала о начале полива или для включения дополнительной аппаратуры.

Прибор работает следующим образом. Одновременно с проведением полива в поплавковую камеру заливается вода

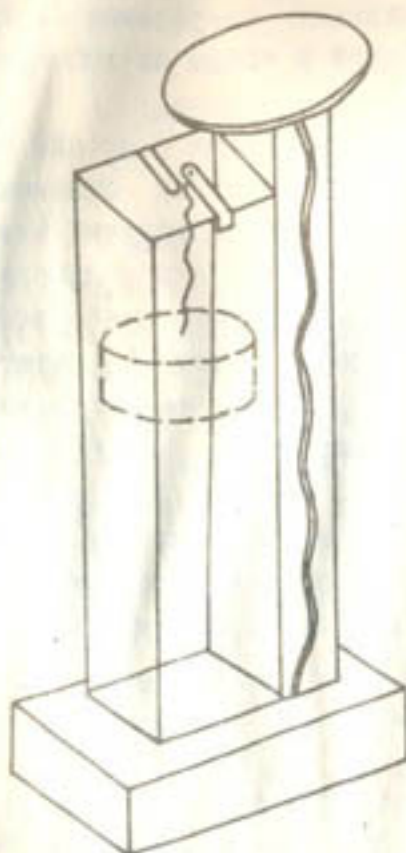


Рис. I. Общий вид прибора для определения очередного срока полива сельхозкультур

в количестве, соответствующем объему воды, поданной на поле. Если выдерживается норма полива, т.е. почва увлажняется до предельно полевой влагоемкости, в поплавковую камеру заливается вода до отметки 1,0. По мере расходования воды полем испаряется влага, залитая в прибор. Изменяя длину регулировочной нити, добиваются подачи сигнала при достижении предполивной влажности заданного уровня. Сигнал может быть световым или звуковым.

Перед использованием прибора в качестве сигнализатора срока очередного полива необходимо тарировать его в конкретных условиях эксплуатации. Тарировка выполняется один раз, данные ее могут быть распространены на идентичные условия, при этом должны быть одинаковыми площадь батистового испаряющего диска, условия установки прибора, вид деятельной поверхности, природные и почвенные условия, глубина залегания грунтовых вод. При тарировке проводятся наблюдения за динамикой влажности почвы и расходом воды из прибора. Составляется тарировочный график, в котором на оси абсцисс откладываются данные отсчетов по шкале прибора, а по оси ordinat — логарифм влажности почвы. По графику устанавливается количество воды, которое необходимо залить в прибор, и длина регулировочной нити.

Производственные испытания прибора были проведены на территории колхоза им. Еданова Бахарденского района в первой бригаде. Общая площадь орошенного участка составляла 50 га. Почво-грунты сложены тяжелыми суглинками с удельным весом 2,70. Объемный вес почвы $1,48 \text{ г}/\text{см}^3$, предельно полевая влагоемкость — 20,8 % к сухому весу.

По данным Бахарденской метеостанции, многолетняя среднегодовая температура воздуха составляет $16,3^\circ$. Среднемесячная температура июля равна $31,1^\circ$. Длительность безморозного периода — 234 дня. Среднегодовая относительная влажность воздуха — 46 %, минимальные значения ее наблюдаются в июле — 24 %. Среднегодовая сумма осадков, выпадающих в осенне-зимний период, — 196 мм. Испарение с водной поверхности в среднем за год достигает 1316 мм, за период вегетации (апрель-октябрь) испаряется 80 — 85 % годовой суммы. Число дней в году с сильным ветром достигает 12. Средняя месячная скорость ветра изменяется в течение года от 1,6 до 2,3 м/сек.

Прибор был установлен в метеорологическую будку в центре хлопкового поля на высоте 20 см от деятельной поверхности. В межполивные периоды на этом участке отбирались по горизонтам через 20 см образцы почвы и определялось содержание влаги в метровом слое.

По данным тарировки, приведенным в табл. I, построен график зависимости влажности почвы от показаний прибора, косвенно характеризующих испаряемость (рис. 2). Используя график, можно в последующем определять влагозапасы после каждого полива, не производя трудоемких работ по бурению, отбору образцов почвы, их завешиванию и высушиванию.

В последующем на участке, где был установлен прибор, очередной срок полива определялся по нему, на остальных участках — с помощью определения влажности весовым способом и по физиологическим показателям. Очередной полив назначался при достижении влажности почвы 70 % от предельно полевой влагоемкости. Предпо-

Таблица I

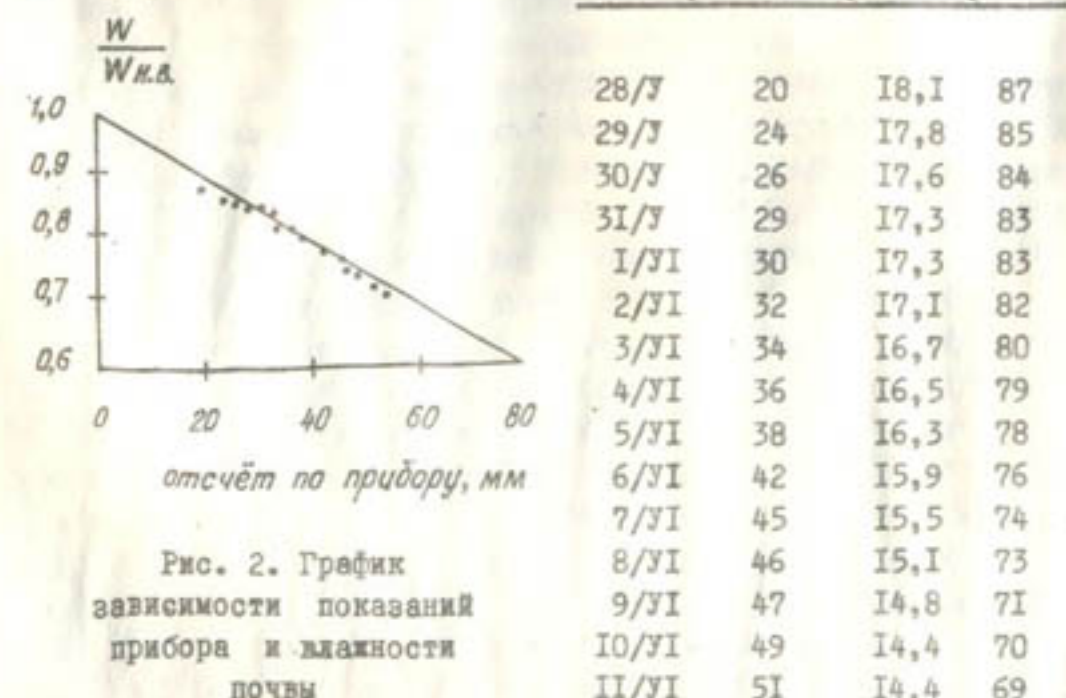
Тарировочные
данные прибора

Рис. 2. График зависимости показаний прибора от влажности почвы

ливная влажность определялась весовым способом для всех вариантов опыта. Полученные данные (табл. 2) служили контролем для показаний прибора.

Анализ данных табл. 2 показывает, что при назначении поливов по прибору можно подавать воду на поле в более точные сроки и с гораздо меньшими затратами труда и времени.

Таблица 2
Предполивная
влажность почвы, % к ППВ

Поливные участки	Номера поливов							
	I	2	3	4	5	6	7	8
№ 1 *	70	64	70	68	69	69	70	71
№ 2	70	58	64	63	61	64	68	64
№ 3	70	60	72	70	63	70	75	73

* С прибором.

На участке № 2 поливы проводились с опозданием, а на участке № 3 поливы 7 и 8 проведены раньше. Это объясняется тем, что даже при регулярном взятии проб грунта точно установить срок полива не всегда возможно из-за сложности определения влажности почвы на орошаемых участках весовым способом.

Опыт эксплуатации прибора показал, что в условиях Бахарденского района точность отсчета показаний можно повысить за счет увеличения площади испаряющего диска.

С целью установления точности показаний прибора была проведена серия опытов по определению влажности почвы в пяти точках поливного участка, расположенных в начале, середине и в конце его*.

Полученные результаты показывают (табл. 3), что для репрезентативной оценки влагозапасов на орошающем участ-

* В соответствии с указанием А. А. Роде (Основы учения о почвенной влаге, т. II, Гидрометеиздат, 1969).

же достаточно определить влажность почвы в центре его, в одной или двух точках, так как расхождения между величинами запасов влаги в почве, средними для поля и определенными в центре участка, - незначительны. Показания прибора почти совпадают с величинами влагозапасов участка, определенными по пяти точкам.

Таблица 3

Влажность почвы
на различных участках поля,
% к весу

Число опреде- ний	Место взятия образца на участке					Среднее	По прибору
	в се- редине начала справа	в се- редине центре	в се- редине конце слева				
1	17,4	15,5	14,9	15,2	12,0	15,0	15,3
2	15,9	14,6	14,2	14,0	13,8	14,5	14,4
3	16,8	14,0	14,0	13,6	8,9	13,5	13,9
4	17,1	13,1	12,9	12,6	8,7	12,9	12,8
Среднее	16,3	14,3	14,0	13,8	10,8	13,9	14,1

Использование испаряемости в качестве критериального показателя дает возможность учитывать влагозапасы не сравнительно большой орошаемой территории. Минимальная площадь участка, где может быть применен прибор без погрешностей из-за влияния краевого эффекта, равна 16 га, максимальная площадь зависит от организации хозяйства, размеров поливных участков, севооборотных массивов, организации и последовательности поливов.

Производственные испытания модели прибора показали, что с его помощью можно определять влагозапасы и назначать срок очередного полива с большой степенью надежности и точности при значительном сокращении объемов работ и затрат времени. Кроме того, при соответствующей конструкции прибора возможно подключение его к автоматизированным системам.

УДК 581.45.087.1+633.5II

Канд. геогр. наук Е.Н. МИНАЕВА

БИОМЕТРИЧЕСКИЕ ХАРАКТЕРИСТИКИ ХЛОПЧАТНИКА

В настоящее время общепризнано, что на процессы формирования теплового баланса и его составляющих большое влияние оказывает относительная площадь листьев. В этой связи в зарубежной литературе появился термин "индекс площади листьев", а в отечественной - "эффективная поверхность биомассы" или "относительная площадь листьев", под которыми понимается безразмерная величина отношения поверхности биомассы к единице площади посева.

С помощью данной величины решаются многие теоретические и практические вопросы, в том числе и такой кардинальный, как расчет суммарного испарения. В частности, величина транспирирующей поверхности входит в формулу, предложенную А.И. Будаговским. Таким образом, исследования изменений относительной площади листьев во времени открывают пути определения транспирации и суммарного испарения в различные фазы вегетации растений.

Как известно, суммарное испарение с поверхности суши слагается из транспирации, испарения воды почвой под пологом растительного покрова, а также из испарения воды, задержанной поверхностью биомассы при выпадении дождей или росы.

На посевах сельскохозяйственных культур до появления всходов воду испаряет только почва. Для достаточно развитого сомкнутого растительного покрова подавляющая часть

суммарного испарения приходится на долю транспирации. При оптимальной влагообеспеченности растений оголенная почва (пар) в зависимости от конкретных условий (в среднем за теплое полугодие) испаряет в 2,5 - 4 раза меньше по сравнению с испарением с сомкнутого растительного покрова. В результате не только доля транспирации в суммарном испарении, но и сама величина последнего существенно зависит от поверхности транспирирующей биомассы. Эту особенность можно учесть с помощью так называемой "биологической" кривой испарения, предложенной А.М. Алпатьевым. Она представляет собой кривую изменения в течение вегетационного периода отношений фактических величин испарения к его величинам для сомкнутого растительного покрова. Специфический характер этой кривой, заключающийся в ее возрастании в начале вегетационного периода и убывании при его окончании, А.М. Алпатьев объяснял влиянием ритмов развития растений в онтогенезе. Физическая трактовка "биологической" кривой была дана А.И. Будаговским [1], который показал, что ее величина зависит от влагосодержания почвы и величин транспирирующей поверхности.

Следует заметить, что в связи с развитием исследований фотосинтетической деятельности растительного покрова и его теплового баланса изучению биометрической структуры, в частности, транспирирующей поверхности, уделяется большое внимание. Наиболее полные и обстоятельные исследования в этом направлении выполнены Х. Тоомингом и Ю. Россом [2], Ю. Россом и Т. Нильсоном [?], которые разработали методы определения и получили материалы не только об общей поверхности биомассы некоторых растительных покровов, но и о распределении ее по высоте, ориентации в пространстве и т.д. Однако эти методы пока еще сложны и трудоемки. Поэтому для определения поверхности биомассы можно ограничиться более простыми расчетами, предложенными А.И. Будаговским [1] применительно к посевам сельскохозяйственных культур и проверенными С.С. Савиной [9] и Н.Н. Самариной [10].

Предложенная А.И. Будаговским и С.С. Савиной методика направлена на получение биометрических характеристик посевов с использованием массовых данных (наблюдения проводятся на агрометеорологических станциях). К настоящему времени накоплен большой многолетний материал ежедекадных опре-

делений средней высоты растений в течение вегетационного периода или в характерные фазы их развития, а также наблюдений за числом растений на единицу посевов, то есть за густотой стояния. Однако сведений о площади листовой поверхности сельскохозяйственных культур, в частности, хлопчатника, в этих материалах содержится немного. Вместе с тем сведения об изменении площади листьев хлопчатника в течение вегетационного периода, приводимые в работах М.В. Зуева [2], Ф.А. Муминова, А.И. Абдуллаева [5], Л.П. Лапшовой [3], к сожалению, относятся к конкретным посевам, перенесение их на другие условия практически невозможно. Исключение представляют данные Ф.А. Муминова [6], который приводит кривую зависимости площади листьев растений хлопчатника от их высоты, полученную по измерениям, проведенным на агрометеорологической станции Боз-Су (район Ташкента).

В настоящей статье излагаются результаты и некоторые методические вопросы биометрических исследований, проведенных нами в 1964, 1967 и 1969 гг. на посевах хлопчатника различных сортов, возделываемых на территории среднеазиатских республик. При этом основное внимание уделяется нахождению связи между высотой и площадью листьев хлопчатника.

Чаще всего площадь поверхности листьев определяется с помощью сопоставления определяемой планиметрированием фактической площади листа с фиктивной площадью, получаемой умножением длины листа на его ширину. Для хлопчатника переводный коэффициент от фиктивной к фактической площади оказался равным 0,736. Интересно отметить, что близкое к этому значение имел и коэффициент, полученный С.С. Савиной [9] для листьев кукурузы и пшеницы, - 0,76.

Однако этот способ включает измерение двух величин - длины и ширины листа. Причем, если длину можно фиксировать достаточно точно, так как она измеряется от узла до конца листовой пластинки, то ширина измеряется менее точно из-за смещения оси, по которой производится измерение. Поэтому была выявлена возможность применения более простого и достаточно надежного способа определения площади листьев (табл. I).

Фактическая площадь листьев определялась планиметрированием, а длина измерялась с точностью до 1 см². В связи

суммарного испарения приходится на долю транспирации. При оптимальной влагообеспеченности растений оголенная почва (пар) в зависимости от конкретных условий (в среднем за теплое полугодие) испаряет в 2,5 - 4 раза меньше по сравнению с испарением с сомкнутого растительного покрова. В результате не только доля транспирации в суммарном испарении, но и сама величина последнего существенно зависит от поверхности транспирирующей биомассы. Эту особенность можно учесть с помощью так называемой "биологической" кривой испарения, предложенной А.М. Алпатьевым. Она представляет собой кривую изменения в течение вегетационного периода отношений фактических величин испарения к его величинам для сомкнутого растительного покрова. Специфический характер этой кривой, заключающийся в ее возрастании в начале вегетационного периода и убывании при его окончании, А.М. Алпатьев объяснял влиянием ритмов развития растений в онтогенезе. Физическая трактовка "биологической" кривой была дана А.И. Будаговским [1], который показал, что ее величина зависит от влагосодержания почвы и величины транспирирующей поверхности.

Следует заметить, что в связи с развитием исследований фотосинтетической деятельности растительного покрова и его теплового баланса изучению биометрической структуры, в частности, транспирирующей поверхности, уделяется большое внимание. Наиболее полные и обстоятельные исследования в этом направлении выполнены Х. Тоомингом и Ю. Россом [2], Ю. Россом и Т. Нильсоном [7], которые разработали методы определения и получили материалы не только об общей поверхности биомассы некоторых растительных покровов, но и о распределении ее по высоте, ориентации в пространстве и т.д. Однако эти методы пока еще сложны и трудоемки. Поэтому для определения поверхности биомассы можно ограничиться более простыми расчетами, предложенными А.И. Будаговским [1] применительно к посевам сельскохозяйственных культур и проверенными С.С. Савиной [9] и Н.Н. Самариной [10].

Предложенная А.И. Будаговским и С.С. Савиной методика направлена на получение биометрических характеристик посевов с использованием массовых данных (наблюдения проводятся на агрометеорологических станциях). К настоящему времени накоплен большой многолетний материал ежекадных опре-

делений средней высоты растений в течение вегетационного периода или в характерные фазы их развития, а также наблюдений за числом растений на единицу посевов, то есть за густотой стояния. Однако сведений о площади листовой поверхности сельскохозяйственных культур, в частности, хлопчатника, в этих материалах содержится немного. Вместе с тем сведения об изменении площади листьев хлопчатника в течение вегетационного периода, приводимые в работах М.В. Зуева [2], Ф.А. Муминова, А.И. Абдуллаева [5], Л.П. Лапшовой [3], к сожалению, относятся к конкретным посевам, перенесение их на другие условия практически невозможно. Исключение представляют данные Ф.А. Муминова [6], который приводит кривую зависимости площади листьев растений хлопчатника от их высоты, полученную по измерениям, проведенным на агрометеорологической станции Боз-Су (район Ташкента).

В настоящей статье излагаются результаты и некоторые методические вопросы биометрических исследований, проведенных нами в 1964, 1967 и 1969 гг. на посевах хлопчатника различных сортов, возделываемых на территории среднеазиатских республик. При этом основное внимание уделяется нахождению связи между высотой и площадью листьев хлопчатника.

Чаще всего площадь поверхности листьев определяется с помощью сопоставления определяемой планиметрированием фактической площади листа с фиктивной площадью, получаемой умножением длины листа на его ширину. Для хлопчатника переводный коэффициент от фиктивной к фактической площади оказался равным 0,736. Интересно отметить, что близкое к этому значение имел и коэффициент, полученный С.С. Савиной [9] для листьев кукурузы и пшеницы, - 0,76.

Однако этот способ включает измерение двух величин - длины и ширины листа. Причем, если длину можно фиксировать достаточно точно, так как она измеряется от узла до конца листовой пластинки, то ширина измеряется менее точно из-за смещения оси, по которой производится измерение. Поэтому была выявлена возможность применения более простого и достаточно надежного способа определения площади листьев (табл. I).

Фактическая площадь листьев определялась планиметрированием, а длина измерялась с точностью до 1 см². В связи

Значения ординат
зависимости площади листьев
от их длины

Хлопчатник	Длина листа, см									
	2	4	6	8	10	12	14	16	18	20

	Площадь листа, см ²									
Средневолокнистый	2	10	26	49	80	118	156	196	254	302
Тонковолокнистый	2	10	24	45	72	108	145	186	240	288

с тем, что листья тонковолокнистого хлопчатника по сравнению с средневолокнистым отличаются большей расчлененностью, их площадь при одинаковой длине несколько меньше.

Зависимость площади листа от его длины можно представить в виде уравнения:

$$S = \ell^m, \quad (I)$$

где S — площадь листа, см²;

ℓ — длина листа, см;

m — для тонковолокнистого хлопчатника равен 1,82, для средневолокнистого — 1,90.

С помощью уравнения (I) оказалось возможным быстро находить площадь листа на основе измерения только его длины, причем длину можно определить с точностью до 1 см. Наиболее распространенная длина листа варьирует от 8 до 12 см. Длина больше 15 см встречается довольно редко — обычно один или два листа на одном растении.

Окончательная площадь для растения в целом находилась суммированием площадей всех листьев. Кроме того, определялась еще и площадь, занятая стеблем, как произведение его высоты на поперечное сечение. Оказалось, что площадь стебля составляет незначительную величину от суммарной по-

* (К стр. 29). Было измерено около 500 листьев средневолокнистого хлопчатника самых разнообразных размеров и 300 листьев тонковолокнистого.

Таблица I

верхности растений.

Располагая данными о площади растения и зная его высоту, можно установить связь между этими двумя показателями, что необходимо при определении биомассы растений по высоте. На рис. I представлено несколько зависимостей площади растений от их высоты. Кривая 1 построена по данным осредненных 133 точек, каждая из которых представляла осредненные данные для 20 растений хлопчатника различных сортов: 47-27, 108-Ф, 153-Ф, 5904-И, С-6002. Полевые исследования 1967 г. проводились в районе агрометеорологических станций Чимбай, Хива, Бухара, Пахта-Арал, Джизак, Фергана, Коканд, Ленинабад, Шахринау, Денеу, Шерабад, Карши, Самарканд. Кривая 2 построена по данным измерений растений тонковолокнистого хлопчатника (сорта 8763-И, 9453-И, 9078-И) в 1969 г. в районе станций Байрам-Али, Иолотань, Теджен. Результаты наблюдений, проводившихся в Душанбе в 1965 г. над сортом 138-Ф, объединяются кривой 3, и, наконец, кривая 4 построена по данным наблюдений Ф.А. Муминова [6] над сортом 108-Ф в 1965, 1966 гг. в районе станции Боз-Су.

Как видно из рис. I, зависимости 2—4 находятся в пределах среднеквадратичных отклонений для точек — "центров тяжести", определенных для ряда наблюдений, по которым построена кривая 1. Кривая 2, построенная по данным измерений для тонковолокнистого хлопчатника, имеет небольшие отклонения от основной кривой 1.

Для быстрого нахождения величины суммарной площади листьев в зависимости от высоты растений составлена таблица 2. Сопоставления данных табл. I и рис. I, нетрудно за-

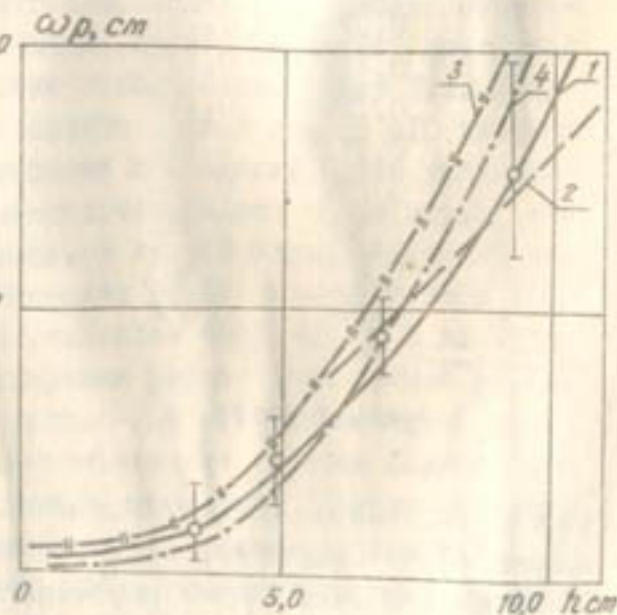


Рис. I. Зависимость площади листовой поверхности от их высоты:
1 — 1967 г.; 2 — 1969 г.;
3 — 1965 г.; 4 — 1965, 1966 гг.

метить, что, в отличие от зависимости между площадью и длиной листьев, зависимость между суммарной площадью листьев (эффективной поверхностью) и высотой растений характеризуется несколько большим разбросом точек.

Таблица 2

Координаты
зависимости площа-
ди листьев хлопчатника
от высоты растений

Высота, см	Хлопчатник	
	среднево- локнистый	тонково- локнистый
10	0,002	0,004
20	0,013	0,014
30	0,039	0,037
40	0,079	0,081
50	0,114	0,135
60	0,159	0,189
70	0,213	0,242
80	0,278	0,295
90	0,365	0,348
100	0,468	0,403
110	0,570	0,458

* Площадь листьев, m^2

относительную площадь листьев, можно построить изменение биомассы в течение вегетационного периода до начала опадения листьев, то есть до наступления естественной или искусственной дефолиации. После этого одной и той же высоте растений будет отвечать все уменьшающаяся площадь листьев. Непосредственное их измерение потребовало бы исключительно большого труда и времени. Однако в данном случае можно воспользоваться косвенным методом расчета, который основывается на следующих положениях.

Многими исследованиями установлено, что между от-

носительной площадью листьев и долей поглощенной или прямой радиации существует довольно тесная зависимость. Практически удобнее использовать зависимость между долей прямой радиации, достигшей поверхности почвы (N), и относительной площадью листьев (ω_0). Очевидно, что I/N будет долей прямой радиации, поглощенной растительным покровом.

Зависимость между N и ω_0 имеет вид:

$$N = \ell^{-\alpha} \omega_0 \quad (2)$$

Здесь α — коэффициент пропорциональности, зависящий от высоты Солнца (h_\odot). Между ℓ и h_\odot имеется довольно хорошая зависимость:

$$\ell = \alpha + \frac{b}{\sin h_\odot} \quad (3)$$

в которой α и b — коэффициенты пропорциональности, определяемые на основе измерений.

Следовательно, если известна доля прямой радиации, достигшая поверхности почвы, и коэффициент ℓ или коэффициенты α и b , то из зависимости (2) можно определить ω_0 . Для измерения доли прямой радиации, достигшей поверхности почвы, проще всего использовать рейку Е.А. Лопухина [4]. Нами применялась рейка длиной 2 м с 810 черными метками диаметром 5 мм. Во время наблюдений рейка укладывалась на поверхность почвы и подсчитывалось число меток, освещенных прямыми лучами солнца. В каждой серии измерений отсчеты проводились при 9 положениях рейки на исследуемом участке посева. Очевидно, что отношение числа меток к их общему числу при всех положениях рейки равно доли прямой радиации, достигшей поверхности почвы — N . Поскольку величина ℓ , а следовательно, и N зависят от высоты Солнца, измерения производились в разные часы суток, причем величину ω_0 за это время можно принять практически постоянной.

Измеренные значения N и соответствующие им значения высоты Солнца (h_\odot) наносились на график, на оси ординат которого откладывалась величина $\frac{\ln N}{\omega_0} = \ell$, а по оси абсцисс $\frac{1}{\sin h_\odot}$. Точки обычно хорошо укладывались на

прямую, отсекающую на оси ординат при $\frac{1}{\sin h_0} = 1$ отрезок, равный a . Угловой коэффициент этой прямой равен b .

Если коэффициенты a и b достаточно устойчивы, то в результате будет получена одна прямая $\lambda = \frac{1}{\sin h_0}$.

Однако в связи с неизбежными ошибками и необходимостью уменьшения их роли было проведено около 40 измерений при различных значениях ω_0 , изменившихся от 0,18 до 3,33. Величина $c\omega_0$ определялась по измеренным величинам λ . На основе этих данных была получена осредненная зависимость:

$$\lambda = f(h_0)$$

Отсюда зависимость коэффициента λ в формуле (2) от высоты Солнца (h_0) характеризуется координатами:

$$\begin{aligned} h_0 &= 70, \quad 60, \quad 50, \quad 40, \quad 30, \quad 20; \\ \lambda &= 0,53, \quad 0,57, \quad 0,63, \quad 0,76, \quad 0,92, \quad 1,30. \end{aligned}$$

Располагая приведенными вспомогательными зависимостями и измеренными значениями N , можно легко найти $c\omega_0$ для тех случаев, когда непосредственное определение его затруднено, в частности, в период после начала дефолиации. Для этих случаев из формулы (2) будем иметь:

$$c\omega_0 = -\frac{\ln N}{\lambda} \quad (4)$$

Для обеспечения достаточной точности вычислений $c\omega_0$ необходимо определить N в разные часы суток при разных высотах Солнца и соответствующих им значениях λ .

Изложенный способ определения относительной площади листвьев в период после начала дефолиации несложен и требует лишь простейших и весьма нетрудоемких наблюдений с помощью рейки Е.А. Лопухина. При отсутствии материалов таких наблюдений можно ограничиться схематизацией ветви спада кривой изменения относительной площади листвьев во времени в период от начала до окончания дефолиации. Для проведения такой типизации были использованы результаты наблюдений по рейке Е.А. Лопухина, проведенные нами на полях хлопчатника в районе агрометеорологических станций Пахта-Арал, Самарканд, Фергана, Коканд, Шахринау и Денау.

Сущность этой типизации заключается в том, что относительная площадь листвьев в период дефолиации выражается в долях от его максимального значения (ω_{max}), предшествующего началу дефолиации, отвечающего средней высоте и густоте посевов и определяемого вышеуказанным способом по N и $c\omega_0$. Время также представляется в относительных единицах путем введения безразмерной величины:

$$\tau = \frac{t - t_h}{t_k - t_h},$$

здесь t — время в днях, отсчитываемое от произвольно выбранной даты, предшествующей началу дефолиации или совпадающей с ним;

t_h и t_k — соответственно время начала и окончания дефолиации, отсчитываемое от того же самого начала.

На основе указанных выше наблюдений построен график

$$\frac{c\omega_0}{\omega_{max}} = f(\tau) \quad (\text{рис. 2}),$$

который, конечно, нуждается в последующем уточнении и, возможно, в некоторой дифференциации. Но этим графиком можно пока ограничиться, учитывая, что осенью, в период дефолиации, испарение даже с поверхности сокрушенного и нормально вегетирующего растительного покрова или увлажненной почвы существенно снижается. При использовании приведенного схематического графика в качестве начала естественной дефолиации принята дата в начале сентября (4/IX).

Биологические кривые можно строить для каждого конкретного года и соответственно определять ис-

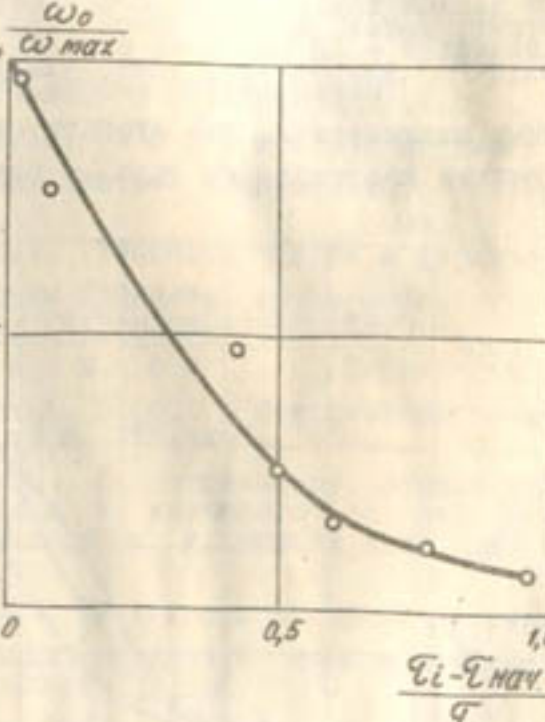


Рис. 2. Биологическая кривая в относительных координатах для конца вегетации

прямую, отсекающую на оси ординат при $\frac{1}{\sin h_0} = 1$ отрезок, равный α . Угловой коэффициент этой прямой равен β .

Если коэффициенты α и β достаточно устойчивы, то в результате будет получена одна прямая $\alpha = \frac{1}{\sin h_0}$.

Однако в связи с неизбежными ошибками и необходимостью уменьшения их роли было проведено около 40 измерений при различных значениях ω_0 , изменившихся от 0,18 до 3,33. Величина ω_0 определялась по измеренным величинам α и β . На основе этих данных была получена осредненная зависимость:

$$\alpha = f(h_0)$$

Отсюда зависимость коэффициента α в формуле (2) от высоты Солнца (h_0) характеризуется координатами:

$$\begin{aligned} h_0 &= 70, \quad 60, \quad 50, \quad 40, \quad 30, \quad 20; \\ \alpha &= 0,53, \quad 0,57, \quad 0,63, \quad 0,76, \quad 0,92, \quad 1,30. \end{aligned}$$

Располагая приведенными вспомогательными зависимостями и измеренными значениями N , можно легко найти ω_0 для тех случаев, когда непосредственное определение его затруднено, в частности, в период после начала дефолиации. Для этих случаев из формулы (2) будем иметь:

$$\omega_0 = -\frac{\ln N}{\alpha} \quad (4)$$

Для обеспечения достаточной точности вычислений ω_0 необходимо определить N в разные часы суток при разных высотах Солнца и соответствующих им значениях α .

Изложенный способ определения относительной площади листьев в период после начала дефолиации несложен и требует лишь простейших и весьма нетрудоемких наблюдений с помощью рейки Е.А. Лопухина. При отсутствии материалов таких наблюдений можно ограничиться схематизацией ветви спада кривой изменения относительной площади листьев во времени в период от начала до окончания дефолиации. Для проведения такой типализации были использованы результаты наблюдений по рейке Е.А. Лопухина, проведенные нами на полях хлопчатника в районе агрометеорологических станций Пахта-Арал, Самарканд, Фергана, Коканд, Шахринау и Денау.

Сущность этой типализации заключается в том, что относительная площадь листьев в период дефолиации выражается в долях от его максимального значения (ω_{max}), предшествующего началу дефолиации, отвечающего средней высоте и густоте посевов и определяемого вышеуказанным способом по N и ω_0 . Время также представляется в относительных единицах путем введения безразмерной величины:

$$\tau = \frac{t - t_n}{t_k - t_n},$$

здесь t — время в днях, отсчитываемое от произвольно выбранной даты, предшествующей началу дефолиации или совпадающей с ним;

t_n и t_k — соответственно время начала и окончания дефолиации, отсчитываемое от того же самого начала.

На основе указанных выше наблюдений построен гра-

фик $\frac{\omega_0}{\omega_{max}} = f(\tau)$ (рис. 2), который, конечно, нуждается

в последующем уточнении и, возможно, в некоторой дифференциации. Но этим графиком можно пока ограничиться, учитывая, что осенью, в период дефолиации, испарение даже с поверхности сокрученного и нормально вегетирующего растительного покрова или увлажненной почвы существенно снижается. При использовании приведенного схематического графика в качестве начала естественной дефолиации принята дата в начале сентября (4/IX).

Биологические кривые можно строить для каждого конкретного года и соответственно определять ис-

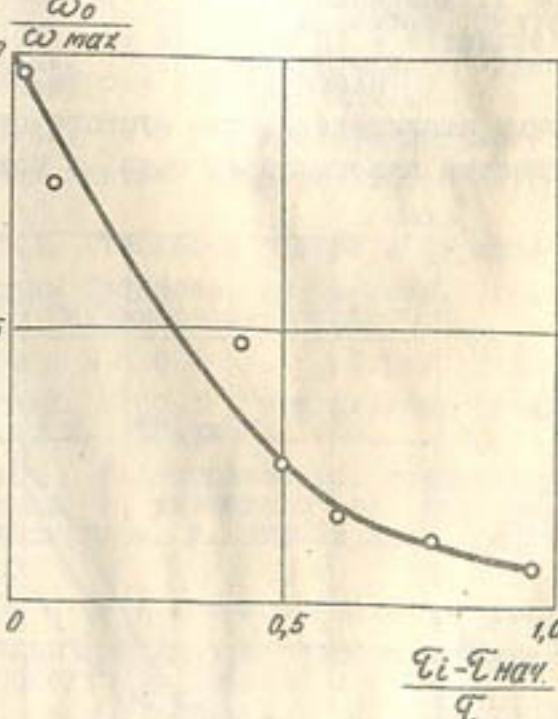


Рис. 2. Биологическая кривая в относительных координатах для конца вегетации

парение по годам. Для определения величины испарения за среднемноголетний период необходимо построить биологическую кривую по осредненным данным.

Колебания относительной площади листьев по годам могут быть вызваны изменчивостью густоты стояния и высоты растений. Однако обычно большей высоте растений соответствуют редкие посевы, и, наоборот, чем больше густота стояния, тем меньше высота растений. Такое соотношение высоты и густоты стояния растений несколько уменьшает изменчивость CO_0 . Как показывает просмотр многолетних материалов, густота стояния в течение вегетации меняется незначительно. Заметное изменение наблюдается лишь в самом начале вегетации, когда после прореживания посевов средняя густота стояния снижается с 12 - 13 до 6 - 8 растений на 1 м². Наблюдения на агрометеорологических станциях за густотой стояния проводятся обычно два или три раза за всю вегетацию: до прореживания, затем после него и иногда перед началом уборки урожая. В среднем, по данным измерений за последние годы, густота стояния составляет 9 - 10 растений на 1 м².

Изменчивость высоты растений характеризуется большими амплитудами, чем густота стояния. В начальные фазы вегетации колебания из года в год небольшие, а в середине и

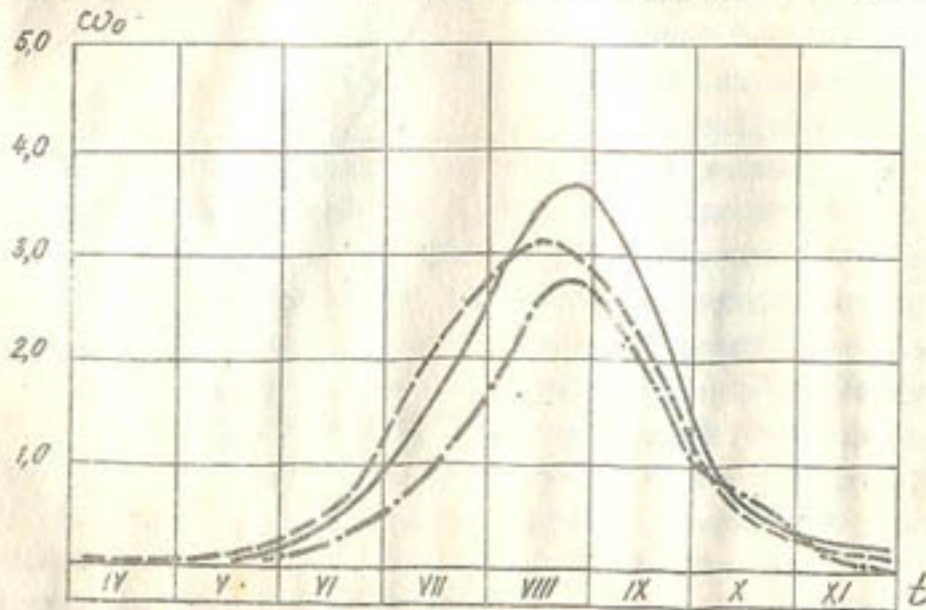


Рис. 3. Биологические кривые для агрометеорологических станций:
— Таджик; - - - Байрам-Али; - - - Керки

конце вегетации диапазон колебаний несколько увеличивается.

Для характеристики изменчивости относительной площади листьев в целом нами были построены кривые обеспеченности для нескольких станций. В диапазоне обеспеченности от 25 % до 75 % отклонение от средних величин составляло ± 30 - 40 %, отклонение в 90 - 100 % имело 5-процентную повторяемость. Представленные среднемноголетние биологические кривые для агрометеорологических станций Таджик, Байрам-Али и Керки (рис. 3) могут служить в качестве примера.

ЛИТЕРАТУРА

1. Будаговский А.И. Испарение почвенной влаги. М., "Наука", 1964.
2. Зуев М.В. Формирование микроклимата хлопкового поля. Л., Гидрометеоиздат, 1956.
3. Лапшов А.П. Испарение и тепловой баланс хлопкового поля Вахшской долины Таджикистана. "Труды Главн. геофиз. обсерватории", вып. 214. Л., 1967.
4. Лопухин Е.А. Приближенный метод учета распределения суммарной радиации среди хлопчатника. "Труды Главн. геофиз. обсерватории", вып. 5 (6). Л., 1951.
5. Муминов Ф.А., Абдуллаев А.К. К методике определения площади листьев хлопчатника. "Хлопководство", 1968, № 5.
6. Муминов Ф.А. Тепловой баланс и формирование урожая хлопчатника. "Труды Среднеаз. науч.-иссл. гидрометеор. ин-та", вып. 50. Л., Гидрометеоиздат, 1970.
7. Росс Ю., Нильсон Т. Вертикальное распределение биомассы в посевах. В сб.: "Фотосинтезирующие системы высокой продуктивности". М., "Наука", 1966.
8. Раунер Ю.Л. Биометрические показатели лесной растительности в связи с изучением ее радиационного режима. В сб.: "Актинометрия и оптика атмосферы". Таллин, "Валгус".
9. Савина С.С. Определение площади листьев зерновых культур по материалам наблюдений сети агрометеорологических станций. "Метеорология и гидрология", 1966, № 5.
10. Самарина Н.Н. Методика и некоторые результаты исследований биометрической структуры посевов сельскохозкультур. М., "Изв. АН СССР", сер. геогр., 1969, № 1.
11. Тооминг Х., Росс Ю. Радиационный режим посева кукурузы по ярусам и описывающие его приближенные формулы. Исследования по физике атмосферы, вып. 6, 1964.

1) глубинах залегания грунтовых вод и гипсометрической поверхности их уровня;

2) мощности горизонта грунтовых вод и изменении их минерализации как по площади, так и на глубину до водоупора;

3) коэффициентах фильтрации по водоносному горизонту, водопроводимости и уровнепроводимости последнего;

4) величинах инфильтрационного питания грунтовых вод через зону азрации и коэффициентах их питания из нижележащих напорных горизонтов;

5) степени концентрации различных компонентов химического состава грунтовых вод;

6) степени засоленности почво-грунтов зоны азрации, их влажности; коэффициентах, характеризующих интенсивность и направления влаго- и солепереноса в зоне азрации; и другие.

На настоящем этапе мелиоративных съемок все указанные параметры определяются на основе точечных опробований скважин и интерполируются при районировании на значительные территории. При этом не учитываются возможные макро- и микроразрывы полей данных параметров, их флюктуации и анизотропность.

Вместе с тем многие из этих параметров создают четкие физические поля, интенсивность и направленность которых может быть установлена методами прикладной геофизики [2].

Так, перенос солей в зонах оазисов определяется фильтрационными и диффузионными процессами, прямую связь с которыми имеют поля диффузионных и фильтрационных потенциалов. Градиенты и направления данных полей могут быть четко зафиксированы методами съемки естественных потенциалов (ЕП). Результаты интерпретации материалов могут дать дополнительную информацию о соле- и влагообмене, о характере депрессионных кривых и воронок в зонах действия дренажа, об инфильтрационных потерях из каналов и водохранилищ.

Электрические параметры осадочных комплексов имеют обратную связь со степенью минерализации грунтовых вод. Изменение электрических параметров по площади и на глубину до водоупора может быть установлено по данным интерпретации вертикальных электрических зондирований (ВЭЗ). Результаты

УДК 550.8:631.6.001.5

Канд. с.-х. наук О. НАЗАРМАМЕДОВ,
горн. инж.-геофизик А.А. ДЖУМАМУРАТОВ,
горн. инж.-геофизик В.Ф. НОВИКОВ

ПЕРСПЕКТИВЫ ПРИМЕНЕНИЯ ГЕОФИЗИЧЕСКИХ СЪЕМОК ПРИ МЕЛИОРАТИВНЫХ ИССЛЕДОВАНИЯХ

Мелиорация земель является сложной комплексной проблемой, при решении которой необходим учет целого ряда гидрогеологических, почвенно-химических, климатических и других естественных факторов, экономических и технических проблем, возникающих при сельскохозяйственном освоении земель.

Методы гидромелиоративных съемок должны обеспечить выдачу надежных прогнозов об изменении существующих гидрогеологических и почвенно-химических условий района и о влиянии этих изменений на урожайность сельскохозяйственных культур. Однако в настоящее время такие прогнозы еще далеки от совершенства.

Достоверность прогнозов определяется детальностью мелиоративных изысканий и требует выполнения их по научно обоснованной программе, предусматривающей выдачу информации о всех факторах, связанных с решением проблем мелиорации [2].

Для обоснованных расчетов и проектов мелиоративного строительства необходимы данные о физико-химических параметрах комплексов, слагающих верхнюю часть гидрогеологического разреза-района, а именно:

интерпретации обеспечивают построение гидрогеофизических разрезов по профилям и карт минерализации со срезами на любых заданных глубинах с выделением зон минерализации грунтовых вод в интервале от 1 до 35 г/л. Электропроводность пород может быть использована и для оценки запасов солей в зоне аэрации. Режимные наблюдения методом ВЭЗ обеспечивают получение данных о направлениях и интенсивности солеобмена и эффекте действия того или иного дренажного комплекса.

В комплексе гидромелиоративных съемок могут быть использованы измерения электромагнитного поля, сейсморазведка, методика пенетрационного каротажа. Так, по данным пенетрационного каротажа определяются объемный вес и объемная влажность грунтов, их пористость, литологический состав и др. Все геофизические методы мобильны, высокопроизводительны, обеспечивают выдачу данных о параметрах пород, находящихся в естественных, ненарушенных условиях. Вместе с тем выдаются данные о некоторых осредненных параметрах разреза, уменьшающих при районировании площадей влияние случайных ошибок и естественных флюктуаций, неизбежных при отборе и анализах единичных проб.

Проектно-изыскательские организации все шире внедряют методы прикладной геофизики, считая, что рациональное сочетание их с другими методами ускоряет и удешевляет съемку, повышает ее точность и надежность. Несмотря на это до настоящего времени нет обоснованных рекомендаций по внедрению геофизических методов в цикл почвенно-мелиоративных изысканий в комплексе с существующими методами мелиоративных съемок.

Подобное несоответствие объясняется, должно быть, тем обстоятельством, что то или иное физическое поле отражает суммарное проявление целого ряда геологических параметров разреза, оценить влияние которых по данным одного уравнения (физическое поле) весьма затруднительно. Поэтому геофизиками нередко выдаются полукачественные данные о параметрах разреза, пригодные лишь для качественной его характеристики.

Трудности однозначной интерпретации геофизических материалов рассмотрим на примере изучения минерализации грунтовых вод методом ВЭЗ в сложных гидрогеологических условиях дельты р.Мургаб.

Площадная съемка методом ВЭЗ проведена на территории Мургабского оазиса в 1965 - 1967 гг. в объеме около 20 тыс. ВЭЗ.

В задачу работ входили: изучение общей минерализации грунтовых вод по площади и на глубину до водоупора; определение положения их уровня и глубины залегания водоупора; поиски и оконтуривание линз пресных вод и решение целого ряда специальных вопросов. Наиболее полно разработана методика изучения минерализации грунтовых вод, которая кратко излагается в настоящей статье.

В региональном плане подземные воды оазиса являются частью общего высокоминерализованного Каракумского потока, осложненного влиянием многовекового орошаемого земледелия. Пресные воды встречаются в виде "плавающих линз", наиболее мощные из которых приурочены к крупным каналам и водохранилищам. Вследствие высокой испаряемости опресненные воды, как правило, перекрыты водами относительно повышенной минерализации. Величина сухого остатка колеблется в пределах 0,8 - 80 г/л.

Геоэлектрический разрез района характеризуется чрезвычайной сложностью и имеет прямую связь с гидрохимическими режимами и динамикой уровня грунтовых вод. Кривые ВЭЗ многослойные (АКО, НКО и ОО). Опресненная зона проявляется максимумом КС (кажущиеся сопротивления) при низкоомных поверхностных образованиях или перегибах кривой ВЭЗ (при высоком первом электрическом горизонте).

При разработке методики интерпретации предусматривалась выдача количественных данных с учетом картирования зон грунтовых вод с минерализацией до 1 г/л, 1 - 1,5 г/л, 1,5 - 3 г/л, 3 - 5 г/л, 5 - 10 г/л, 10 - 20 г/л и более. Оыта количественных решений не имелось.

В связи с этим надлежало решить ряд задач.

I. Выбор палеточного материала. При решении гидрогеологических задач интерпретатор сталкивается, во-первых, с необходимостью количественной расшифровки многослойных электрических разрезов, во-вторых, с большими объемами ВЭЗ (обычно несколько тысяч), обработка которых известными типами палеток в сжатые сроки камерального периода практически

исключена. В связи с этим изыскиваются упрощенные приемы интерпретации, которые снижают ее точность, а следовательно, и ухудшают качество решения задач.

Изданные альбомы трехслойных палеток (Шлюмберже, Пылаева) оказались в данном случае непригодными, так как рассчитаны лишь для четырех закрепленных значений:

$$\rho_3 = 0, \quad , \quad \rho_1 \quad \text{и} \quad \sqrt{\frac{\rho_2}{\rho_1}} \quad .$$

Значения P_3 практических ВЭВ, как правило, не соответствуют расчетным. Это исключает возможность использовать палетки без дополнительных графических построений, выполнение которых при большом количестве зондирований практически не целесообразно.

В связи с этим в 1966 г. В.Ф. Новиковым были разработаны и изготовлены комбинированные палетки серии КП, которые в настоящий период нами совершенствуются для решения ряда других задач в области мелиорации.

Палетки построены для переменных значений β_3 для всех значений $m = \frac{\rho_2}{\rho_1}$ и $\gamma = \frac{h_2}{h_1}$, принятых при расчетах стандартных палеток. Для палеток серии К и Q изменения β_3 приняты в пределах от $\beta_3 = 0$ до $\beta_3 = \sqrt{\frac{\rho_2}{\rho_1}}$, а для палеток серии Н и А β_3 изменяется в пределах от $\frac{\rho_2}{\rho_1}$ до .

Использование палеток серии КП значительно ускорило процесс интерпретации и повысило ее точность.

2. Обоснование выбора параметров. В общем случае

для удельного электрического сопротивления водоносного горизонта принимается формула:

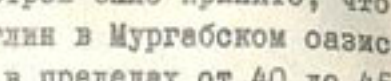
$$P = \frac{A_c \cdot B_d \cdot P_v \cdot P_g \cdot P_t}{C_0} ,$$

где P_V , P_g , P_t - коэффициенты, зависящие соответственно от пористости, водонасыщенности и температуры водоносного горизонта;

A_C - коэффициент, зависящий от химического состава солей;

B_d - коэффициент влияния дисперсности водовмещающих пород; C_o - минерализация грунтовых вод.

Из этой формулы следует, что функциональная зависимость $\rho = f(C_0)$ чрезвычайно сложна и с математической точки зрения неразрешима на основании одного уравнения — кривой вида

Для обоснования параметров было принято, что пористость тонкозернистых песков и глин в Мургабском оазисе практически одинакова и изменяется в пределах от 40 до 45 %; в верхней части разреза температура имеет значительные перепады, а на глубинах разведки (50 - 70 м) она практически постоянна; водоносный горизонт характеризуется полной влагонасыщенностью; удельные электрические сопротивления электролитов линейно зависят от их концентрации и по величинам для разных растворов отличаются между собой незначительно /17/. 

В связи с отмеченным коэффициенты A_C , P_V , P_Q и P_T могут быть приняты постоянными для зоны Мургабского оазиса и, следовательно, удельное электрическое сопротивление может быть выражено зависимостью:

$\rho = f(C_o, B_d)$. При этом предусматривалось, что на графике зависимости $\rho = f(C_o)$ различные литологические комплексы могут отражаться кривыми с различными угловыми коэффициентами.

В процессе обработки было проинтерпретировано около 150 параметрических ВЭЗ, выполненных в 1961 - 1968 гг. в Мургабском и Ташаузском оазисах. Как видно из примера интерпретации параметрических ВЭЗ (рис. I), указанная зависимость характеризуется высокой степен-

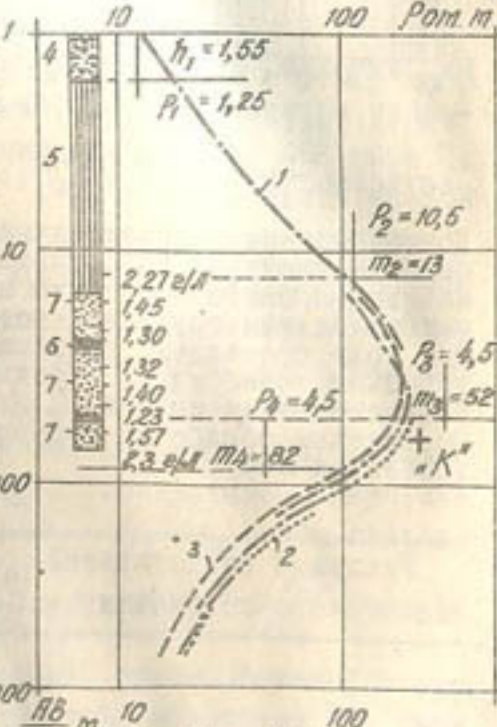


Рис. I. Пример интерпретации параметрической ВЭЗ:

I - параметрическая В33;
2 - кривая В33 палетки КП
типа Q; 3 - кривая В33
палетки КП типа K; 4 -
переслаивание глин и пес-
ков; 5 - суглиники; 6 -
глины; 7 - мелкозернистые
пески; I, 23 - 2,30 г/л -
минерализация грунтовых
вод по данным проб

ную корреляцию и является единой для всех литологических разностей пород обоих оазисов. Некоторый разброс дискретных точек может отражать влияние литологических факторов, но величина флюктуаций не выходит за пределы точности интерпретации ВЭЗ (рис. 2).

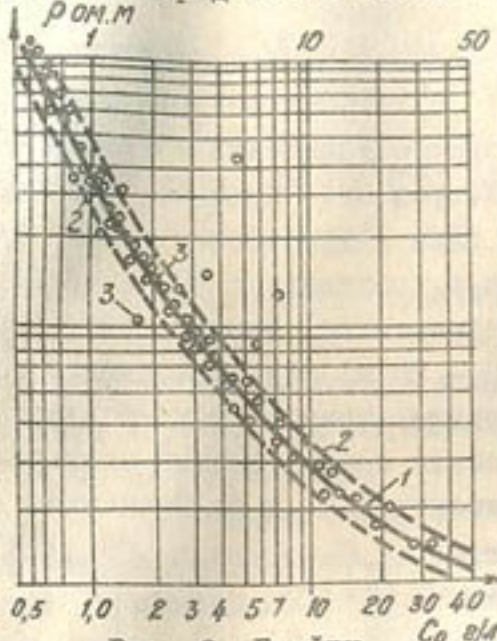


Рис. 2. График зависимости $\rho = f(C_o)$:

1 - осредненная кривая зависимости удельных сопротивлений водоносного горизонта от минерализации грунтовых вод; 2 - зона предельных систематических ошибок; 3 - точки соответствия $\rho_{\text{ом}} \cdot \text{м}$ и $C_o \text{ г/л}$ по данным обработки параметрических ВЭЗ

Удельные сопротивления водоносного горизонта, ом·м	Минерализация грунтовых вод, г/л
--	----------------------------------

Более 60	Менее 0,75
60 - 32	0,75 - I
32 - I9	I - 1,5
I9 - I3	1,5 - 2
I3 - 9	2 - 3
9 - 5	3 - 5
5 - 3	5 - 10
3 - 2	10 - 20
2 - I,5	20 - 35
Менее I,5	Более 35

3. Методика интерпретации ВЭЗ комбинированными палетками КП. Все кривые палеток КП для типов H, K, A и Q

скомплектованы при закрепленных параметрах $m = \frac{\rho_2}{\rho_1}$ и $\gamma = \frac{h_2}{h_1}$ и переменном значении ρ_3 . На каждую палетку нанесена одна из точек эквивалентности (H, A, K или Q), соответствующая разрезу и параметрам m и γ . При интерпретации для практической трехслойной ВЭЗ подбирается соответствующая палетка, с которой переносятся значения ρ_1 , h_1 , ρ_2 , h_2 и ρ_3 . Если модули m или γ практической кривой не соответствуют модулю палетки, то величины ρ_2 и h_2 определяются как осредненные по данным интерпретации двумя наиболее близкими палетками.

При интерпретации многослойных ВЭЗ палетки КП используются в соответствии с типом геоэлектрического разреза. Так, например, при интерпретации пятислойной ВЭЗ типа H, K, Q ($\rho_1 > \rho_2 > \rho_3 > \rho_4 > \rho_5 \neq 0$) верхняя часть кривой совмещается с соответствующей палеткой типа H, определяются h_1 , ρ_1 и положение креста $\rho_2 \rho_1$. На кривую ВЭЗ переносится точка H палетки, соответствующая кресту λ_H, ϵ_H . Далее используется палетка типа K, по которой определяются

$\rho_3 h_3 = \lambda_K \gamma$ и $m_3 = h_1 + h_2 + h_3$ и переносится на кривую ВЭЗ положение точки K. Нижняя ветвь кривой интерпретируется палеткой типа Q, по которой определяются значения $\rho_4 \cdot h_4 = \lambda_Q \cdot \gamma$, ρ_5 и $m_4 = h_1 + h_2 + h_3 + h_4$. Все палетки

КП скомплектованы на листах $m = \frac{\rho_2}{\rho_1} = \text{const}$ и $\gamma = \frac{h_2}{h_1} = \text{const}$,

поэтому подбор соответствующей палетки производится быстро и наглядно. На каждом листе скомплектованы палетки для двух

значений $\frac{\rho_2}{\rho_1}$ при изменении γ от I до 24.

Таким образом изготовлено 12 листов палеток, по

3 листа для каждого типа ВЭЗ (H, K, A и Q). Палетки для меньших значений $\gamma < I$ не строились, так как их использование нерационально из-за широких границ влияния принципа эквивалентности. Порядок h_2 в этих случаях может быть определен путем простого пересчета интерпретации ВЭЗ по палетке

с соседним модулем $\frac{\rho_2}{\rho_1}$.

Палетки КП, по сравнению с опубликованными палетками, обеспечивают более высокую точность и производительность.

4. Выбор состава отчетных геофизических материалов и практика построения гидрографических разрезов. За основу отчетных геофизических материалов приняты гидрографические разрезы при следующей методике их построения. На профиль ВЭЗ в выбранном масштабе наносятся глубины подошвы электрических горизонтов и их сопротивления, полученные на основе интерпретации данной ВЭЗ. С учетом опорных точек (колодцы, скважины, арыки) на разрезе определяются электрические границы, соответствующие уровню грунтовых вод, и проводится линия УГВ. По водоносному горизонту проводятся изолинии, соответствующие граничным значениям удельных сопротивлений (60, 32, 19 ом·м и т.д.).

В зонах выклинивания опресненных горизонтов выполняется интерполяция между двумя соседними ВЭЗ. В связи с диффузионно-фильтрационными процессами смена минерализации между двумя границами происходит постепенно, поэтому интерполяция границ в кровле и подошве опресненного горизонта выполняется с учетом данных интерпретации, общей гидрографической сети района и приема экстраполяции мощностей с соседних ВЭЗ.

Пример гидрографического разреза через "плавающую" линзу пресных вод приведен на рис. 3.

На втором, завершающем этапе интерпретации строятся карты минерализации грунтовых вод, отражающие гидрохимическую обстановку водоносного горизонта на любой заданной глубине. При построении на карту переносятся граничные значения УС, устанавливаемые для данной глубины по гидрографическим разрезам. Интерполяция значений между соседними профилями выполняется с учетом гидрографической сети (каналы, арыки, коллекторы).

Описанная выше методика гидрографических изысканий принята для всего региона Туркмении, точность ее под-

тверждена сотнями скважин. При поисках и оконтуривании линз пресных вод она стала ведущей.

В настоящее время выявляется возможность использования методики ВЭЗ для определения запасов солей в зоне аэрации. На первом этапе работ получен график зависимости удельных электрических сопротивлений почво-грунтов от степени их засоленности (в процентах), который подтверждает практическую целесообразность решения данной задачи методом ВЭЗ:

$$\rho = f(C, \%)$$

Одновременно анализируются возможности использования (для решения частных задач мелиорации методом естественного поля) потенциалов, вызванных поляризацией, микрокаротажа, низкочастотной аппаратуры Х-І нейтронно-гаммакаротажа, а также метода КВЭЗ.

Из рассмотренного следует, что методика ВЭЗ характеризуется высокой эффективностью при изучении минерализации

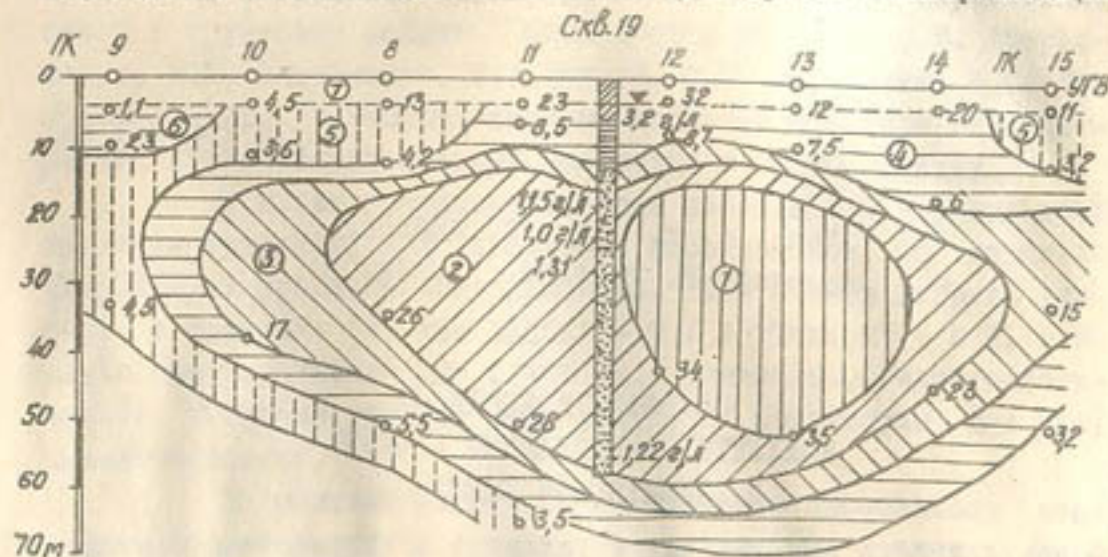


Рис. 3. Гидрографический разрез по профилю - I6 (колхоз "Москва") :
034 и др. - положения подошвы электрических горизонтов и их ρ ом·м; I - минерализация грунтовых вод до 1 г/л; 2 - тоже от I до 1,5; 3 - от 1,5 до 3; 4 - от 3 до 5; 5 - от 5 до 10; 6 - от 10 до 20;
7 - зона аэрации

грунтовых вод. Ее внедрение в схему режимных наблюдений для изучения солевого переноса в почво-грунтах при оценке эффективности действия дренажных систем и определении запасов солей в зоне аэрации является перспективным.

ЛИТЕРАТУРА

1. Кобранова В.Н. Физические свойства горных пород. М., Гостоптехиздат, 1962.
2. Огильви А.А. Геофизические методы исследований. М., Изд-во МГУ, 1962.

УДК 626.862.94

Канд. с.-х. наук О. АННАЕВ,
инженеры Р. ТИЛЛИЕВ, Д. ЧАЛОВ

ОБ ЭФФЕКТИВНОСТИ КОЛЛЕКТОРНО-ДРЕНАЖНЫХ СИСТЕМ В ТЕДЖЕНСКОМ ОАЗИСЕ

В условиях дельты р. Теджен и прилегающих к ней территорий подземные воды имеют повсеместное распространение, образуя единый сплошной поток. Этот поток сливается: на западе - с грунтовым потоком, идущим со стороны Копетдага и питаемым в основном водами горных речек Чача, Меана, Душак и др.; на востоке - с подземными водами Мургабской дельты, составляя с ними один общий водоносный горизонт. Естественная дренированность территории Тедженского оазиса очень плохая, что определяет необходимость коренных мелиоративных ме-

роприятий, способных создать здесь на орошенных землях благоприятные условия для возделывания сельскохозяйственных культур.

Общая длина коллекторно-дренажной сети оазиса (по состоянию на 1 ноября 1974 г.) - 1211,2 км: длина межхозяйственных коллекторов - 372,1 км, внутрихозяйственных - 839,1 км, в том числе закрытых дрен - 167,78 км.* При площади 84,9 тыс. га (без Хауз-Хамского массива) удельная протяженность коллекторно-дренажной сети здесь составляет около 14 пог. м/га валовой площади, что явно недостаточно.

Исследования показали, что существенное рассоление засоленных почв может быть достигнуто только с помощью промывных поливов на фоне дренажа.

В процессе рассоления почво-грунтов и опреснения сильноминерализованных грунтовых вод посредством коллекторно-дренажной сети большой практический и научный интерес представляет изучение характера распределения и перемещения солей в грунтовом потоке. Этот вопрос изучался С.Ф. Аверьяновым, В.В. Волобуевым, В.А. Ковдой, А.Т. Морозовым, И.С. Рабочевым и др., в работах которых показаны основные закономерности передвижения солевых растворов в почво-грунтах.

С целью установления зоны действия и влияния дрен на режим грунтовых вод проведены исследования по изучению динамики их уровня и минерализации. Для опытов выбраны участки в совхозах "40 лет ВЛКСМ" - № 1 и "Теджен" - № 2, площадь соответственно 225 и 535 га. Почвенные, гидрогеологические и прочие условия этих совхозов характерны для всех хозяйств оазиса.

На опытном участке № 1 изучение проводилось посредством пьезометров и скважин, установленных перпендикулярно коллектору и дрене. В створе пьезометров - 20 скважин, расположенных на различном расстоянии от оси исследуемого коллектора. Для определения оттока дренажных вод с территории совхоза и опытного участка установлены гидрометрические посты.

* Воды всех межхозяйственных и внутрихозяйственных коллекторов сбрасываются в коллектор К-1 и правобережный коллектор Каракум, по которому они отводятся в глубь песков Каракумов.

На опытном участке № 2 по обе стороны коллектора расположено 16 наблюдательных скважин.

Анализ результатов изучения динамики уровня грунтовых вод на опытном участке № 1 показывает, что их режим в основном зависит от водоподачи на орошение, расположения поливных участков относительно коллекторов, а также дрен и оросительных каналов.

Амплитуда колебания уровня грунтовых вод в зоне влияния коллектора (на междренье) составляет: в вегетационный период — в среднем 1,4 — 2,6 м, причем во время промывных и предпосевных поливов — 1,0 — 2,8 м; в невегетационный период — 0,8 — 1,4 м. Вблизи коллектора амплитуда колебания уровня грунтовых вод изменяется от 24 до 9 см/сутки. Резкий подъем уровня грунтовых вод в створе наблюдается в марте — апреле (до 2,9 м), так как в это время проводятся предпосевные поливы большими нормами.

Зона распространения кривой депрессии коллектора достигает 250 м, дrenы — 90 м. Средние уклоны кривых депрессии в зоне влияния коллектора изменяются: в вегетационный период — в пределах 0,012 — 0,004, в невегетационный период — 0,005 — 0,006.

Величина расхода дренажной воды в основном определяется напором воды в междренье. Так, например, при изменении напора воды в междренье коллектора от 1,4 до 2,9 м и дrenы — от 1,4 до 2,2 м расход дренажной воды соответственно колеблется в пределах 20 — 30,5 и 3,0 — 4,0 л/сек. Максимальная величина удельных притоков грунтовой воды — на 100 пог. м открытого коллектора — составляет 1,46 л/сек.

Изучение динамики уровня грунтовых вод на опытном участке № 2 показывает, что зона дренирующего действия коллектора составляет около 340 м. Амплитуда колебания уровня грунтовых вод в створе скважин в зоне влияния коллектора изменяется: в вегетационный период — в пределах 0,90 — 2,60 м, в невегетационный период — 1,4 — 2,2 м.

Уклоны кривых депрессии изменяются также в больших пределах — от 0,002 до 0,01.

На основании исследований получена величина модуля дренажного стока для открытого внутрихозяйственного коллектора — 0,10 — 0,12 л/сек/га.

Наблюдения за режимом минерализованных грунтовых вод проводились с помощью створа пьезометров, состоящего из 20 кустов, заложенного на внутрихозяйственном коллекторе ХК-3-4 (совхоз "40 лет ВЛКСМ"). В каждом кусте по 5 — 6 пьезометров, расположенных на различной глубине и определенном расстоянии между ними. Глубина первых пьезометров — около 40 м, вторых — 30 м, третьих — 20 м, четвертых — 15 м, пятых — 10 м и шестых — 5 м при высоте фильтров в каждом пьезометре 0,5 м. Отстойники — на глубине 1,5 — 2,0 м.

Район расположения створа пьезометров характеризуется в литологическом отношении преобладанием тонкозернистых грунтов. Мощность верхней супесчано-суглинистой толщи составляет 3 — 5 м. Ниже — довольно мощная песчаная толща, сложенная пылеватыми песками — плызвунами, содержащими линзовидные прослои глин.

Многочисленные работы по изучению засоленных почв показали, что главной причиной вторичного засоления почв является подъем минерализованных грунтовых вод.

Анализ гидродинамических сеток показывает, что минерализованные грунтовые воды поступают в коллектор с глубины более 40 м. По данным наблюдений в створе пьезометров, минерализация грунтовых вод в феврале 1970 г. колебалась от 20 до 90 г/л. Путем сравнения данных за последующие годы с исходными выявлено, что под влиянием коллекторно-дренажной сети минерализация грунтовых вод уменьшилась: в 1973 г. она колебалась от 4,0 до 65,4 г/л, в 1974 г. — от 3,6 до 61,0 г/л. При этом сильноминерализованные грунтовые воды переместились в верхние горизонты, приблизившись к коллектору и дренам.

Опреснение грунтовых вод (в среднем до 10 — 20 г/л от исходного состояния) отмечено в верхних (5 — 6 м) горизонтах под орошаемыми полями. Вместе с тем минерализация грунтовых вод, поступающих в коллектор, практически не изменилась вследствие подтягивания к дренам более минерализованных грунтовых вод из глубоколежащих горизонтов.

Проведенные исследования динамики содержания солей в почво-грунтах под влиянием коллекторно-дренажной сети показали, что засоленность почвы в слое 1,0 — 1,2 м значительно уменьшилась и составила 0,03 — 0,2 % от веса воздушно-су-

хой почви. В нижележащих слоях засоление почвы характеризуется большой изменчивостью.

За четырехлетний период работы коллекторно-дренажной сети (1970 - 1973 гг.) вынос солей с 1 га дренированной площади на опытном участке № 1 составил 455,6 тонны, приток солей с оросительной водой - соответственно 56,7 тонны. Таким образом, содержание солей в почве в расчете на 1 га дренированной территории уменьшилось на 398,9 тонны.

На опытном участке № 2 отток солей в среднем за год составляет: с 1 га поливной площади - 58,9 тонны, с 1 га дренированной площади (230 га) - 131,4 тонны.

Действующая коллекторно-дренажная сеть в Тедженском оазисе отводит, в зависимости от технической исправности и глубины залегания уровня грунтовых вод в различные периоды года, разное количество минеральных солей с дренируемой территории при ежегодном увеличении их выноса. Как показывают расчеты, в 1974 г. в целом по оазису с оросительной водой поступило 1415,8 тыс. тонн солей, вынос их с дренажной водой составил 3394,2 тыс. тонн. В расчете на 1 га орошаемых земель соответственно при поступлении 16,5 тонны солей отведено их 39,6 тонны.

Вместе с тем с технической стороны общее состояние закрытого горизонтального дренажа в Тедженском оазисе неудовлетворительное, что обусловлено совокупностью конструктивных, проектных, строительных и эксплуатационных факторов:

а) низкокачественная заделка стыков между кольцами смотровых колодцев, в связи с чем колодцы и дрены заливаются в результате выноса грунта с поливной водой;

б) крышки на колодцах отсутствуют, что обуславливает засорение и засыпание колодцев;

в) слабо представлена эксплуатация коллекторно-дренажной сети;

г) перепад горизонтов в коллекторе и устье дрены запроектирован всего 5 - 13 см, что явно недостаточно;

д) эксплуатация закрытого горизонтального дренажа, сопрягающегося с открытыми коллекторами, затруднена вследствие залегания и зарастания коллекторов, при очистке которых устьевые части дрены и сооружения часто разрушаются. Крупные коллекторы целесообразно строить закрытыми.

УДК 631.67:626.810.3

канд. с.-х. наук А.ХАДЫРОВ,
канд. техн. наук Х.А. АМАНОВ,
агроном Г.Б. СИМОНЯН

ВЛИЯНИЕ ОРОШЕНИЯ МИНЕРАЛИЗОВАННЫМИ ВОДАМИ НА УРОЖАЙ ХЛОПЧАТНИКА

Предусмотрено, что сток рек Средней Азии будет полностью использован на орошение и промышленно-бытовые нужды. В то же время огромные запасы в различной степени минерализованных подземных и дренажных вод пока еще практически не используются.

В настоящее время в Туркменской ССР отводится за пределы орошаемой зоны 2,0 - 2,5 млрд. м³ сбросных вод. Со строительством и эксплуатацией новых коллекторно-дренажных систем в перспективе сток сбросных вод резко повысится и может достичь 7,0 млрд. м³ в год.

Громадным резервом могут быть воды Каспийского моря, минерализация которых не превышает 13 - 14 г/л [2].

Использование для орошения вод повышенной минерализации будет способствовать дальнейшему освоению целинных земель в Туркмении, где предусмотрено в дальнейшем увеличить посевные площади до 1 млн.га.

До сих пор нет единого мнения о пригодности вод повышенной минерализации для полива сельскохозяйственных культур, особенно хлопчатника (выполненные исследования проводились в различных почвенно-климатических условиях при большом числе варьирующих факторов, влияющих на результаты). Од-

нако подавляющее большинство исследователей сходится на том, что успешное применение минерализованных вод возможно на легких и хорошо дренируемых почвах в условиях, исключающих поднятие грунтовых вод [1, 3, 4, 5].

Давно замечено, что соли токсичны в чистых растворах, в смесях же они менее вредны для растений. Две соли, токсичные порознь, при той же концентрации в смесях нередко оказываются более или менее безвредными. Явление взаимного уничтожения токсичности солей получило объяснение как антиагонизм ионов.

Смесь, по соотношению состава солей приблизительно соответствующая морской воде, наименее вредна не только для морских, но и пресноводных организмов. Такое соотношение солей называется уравновешенным. Д.А. Сабинин [6], ссылаясь на Леба, отмечает, что катионы морской воды, каждый в отдельности, токсичны для живого организма и что жизнь возможна только при наличии физиологически уравновешенных растворов солей. Такие растворы в природе представлены кровяной плазмой и морской водой.

С этих позиций нам представляется интересным изучение применения минерализованных вод с составом, близким к морскому, для орошения хлопчатника.

Опыт проводился в лизиметрах, представляющих собой круглые асбестоцементные трубы с полезной площадью $0,23 \text{ м}^2$, по следующей схеме^{*}:

Минерализация половиной воды, г/л	Состав солей, % к сухому остатку			
	NaCl	Na ₂ SO ₄	MgCl ₂	CaCl ₂
Тип "морской"				
2,5	73,0	11,5	11,5	4,7
5,0	73,0	11,5	11,5	4,7
7,5	73,0	11,5	11,5	4,7
Тип "моно катионный"				
2,5	50,0	50,0	-	-
5,0	50,0	50,0	-	-
Контроль - пресная вода				

*Опытный участок в совхозе им. 9 Амхабадских комиссаров.

Использовались два типа солей по катионному составу: первый - одновалентный катион натрия и двухвалентные катионы кальция и магния, соотношение которых приближается к составу морской воды, - тип "морской"; второй - только одновалентный катион натрия - тип "моно катионный".

В период вегетации хлопчатника (тонковолокнистый, сорт 8763-И) уровень грунтовых вод поддерживался на глубине 1 и 2 м. Все вегетационные поливы проводились поверхностным способом. В каждом лизиметре выращивалось по 2 растения, что соответствует густоте стояния хлопчатника в полевых условиях в количестве 87000 растений на гектар.

Почва опытного участка - светлые сероземы. Механический состав почвы по всему профилю неоднороден: верхний горизонт (0 - 75 см) представлен суглинистыми фракциями, слой 100 - 150 см - тяжелосуглинистыми разностями, ниже, до глубины двух метров, - легкосуглинистыми фракциями. Объемный вес почвы по профилю изменяется незначительно и составляет 1,37 - 1,56, удельный вес - 2,69 - 2,71 г/см³.

В соответствии с принятой агротехникой выращивания хлопчатника в лизиметрах предпосевной полив проводился 4 - 5 мая поливной нормой: на однометровых лизиметрах - 1304 м³/га, на двухметровых - 1740 м³/га. Всего за вегетацию проведено 7 поливов. Поливные нормы назначались в соответствии с минерализацией поливных вод для установления промывного режима орошения.

Оросительная норма для вариантов с минерализацией оросительной воды до 5,0 г/л составила 8340 м³/га, более 5,0 г/л - 9540 м³/га.

Перед первым поливом, в стадии 3 - 4 листьев, под хлопчатник вносился навоз из расчета 10 - 12 т/га. Минеральные удобрения - при общей годовой норме азота - 150 кг/га и фосфора - 120 кг/га (действующего начала) - вносились в три приема в виде подкормок: перед первым, вторым и третьим вегетационными поливами.

В межполивные периоды почву под хлопчатником содержали в рыхлом состоянии.

Проведенные исследования показали, что при ороении хлопчатника минерализованной водой засоление почвы в ос-

новном зависит от глубины залегания грунтовых вод и химического состава солей поливной воды (табл. I).

При залегании уровня грунтовых вод на двухметровой глубине к концу вегетации хлопчатника наблюдается некоторое уменьшение содержания воднорастворимых солей в метровом слое почвы. Исключением является вариант с минерализацией 5,0 г/л — тип "монокатионный", где отмечено незначительное (0,028 %) увеличение содержания солей.

По вариантам с катионным составом солей типа "морской" уменьшение их содержания по сравнению с монокатионным составом более значительное даже при высокой (5,0 — 7,5 г/л) минерализации поливной воды. Вместе с тем по варианту самой высокой минерализации (7,5 г/л), несмотря на резкое уменьшение общего количества солей, наблюдается некоторое увеличение содержания хлора. Однако это не привело к снижению урожая хлопка-сырца. Такое явление, по всей вероятности, связано с тем, что растворы солей типа "морской" обладают свойством растворять соли, имеющиеся в почве, и способствуют их проникновению в более глубокие слои почвы.

Некоторая аккумуляция воднорастворимых солей в верхнем слое почвы обнаруживается только при стоянии уровня грунтовых вод на метровой глубине, поскольку близко залегающие сильноминерализованные воды способствуют выносу солей в верхние слои почвы восходящим током воды.

Данные об урожае хлопка-сырца (табл. 2), полученного при поливах хлопчатника минерализованной водой, свидетельствуют о существенной разнице его величин в зависимости от степени минерализации и особенно от состава солей оросительной воды. При этом влияние минерализованных вод на урожай хлопка-сырца в основном определяется глубиной залегания уровня грунтовых вод. В условиях стояния грунтовых вод на метровой глубине отрицательное влияние минерализованных вод на урожай хлопка-сырца проявилось по всем вариантам опыта. При этом отрицательное действие раствора солей типа "морской" было сравнительно большим и возрастало с увеличением их концентрации. Наибольшее снижение урожая — на 14,0 ц/га — установлено по варианту самой высокой минерализации поливной воды (7,5 г/л). Однако при залегании уровня грунтовых вод на глубине двух метров по всем вариантам использования минера-

Таблица I

Влияние различной минерализации поливной воды на засоление почвы в слое 0 — 100 см в зависимости от состава солей и глубины залегания уровня грунтовых вод, % от воздушно-сухой почвы

Минерализация поливной воды, г/л	Сухой остаток		Хлор-ион	
	до закладки опыта	в конце вегета- ции хло- пчатника	до закладки опыта	в конце вегета- ции хло- пчатника
Контроль (пресная вода)	0,483	0,402	-0,081	0,062
2,5 — тип "морской"	0,482	0,558	+0,076	0,056
	0,404	0,305	-0,099	0,052
2,5 — тип "монокатионный"	0,406	0,386	-0,020	0,068
	0,348	0,318	-0,030	0,041
5,0 — тип "морской"	0,438	0,660	+0,222	0,054
	0,402	0,278	-0,124	0,048
5,0 — тип "монокатионный"	0,318	0,529	+0,211	0,044
	0,488	0,516	+0,028	0,073
7,5 — тип "морской"	0,333	0,468	+0,135	0,053
	0,737	0,361	-0,376	0,077

Примечание: В числителе — при стоянке грунтовых вод на глубине 1 м, в знаменателе — 2 м.

лизованной поливной воды с составом солей типа "морской" получено некоторое увеличение урожая: 50,0 - 51,7 ц/га против 43,7 ц/га в контроле. Даже высокая концентрация солей (7,5 г/л) не оказала отрицательного действия на урожай.

Таблица 2

Влияние различной минерализации поливной воды на урожай хлопка-сырца в зависимости от состава солей и глубины залегания уровня грунтовых вод

Минерализация поливной воды, г/л	Урожай: Разница хлопка-сырца, ц/га	
	контроль	от концентрации солей
Контроль (пресная вода)	43,7	-
2,5 - тип "морской"	39,1	- 4,6
	50,0	+ 6,3
2,5 - тип "монокатионный"	42,0	- 1,7
	50,0	+ 6,3
5,0 - тип "морской"	35,1	- 8,6
	51,7	+ 8,0
5,0 - тип "монокатионный"	37,2	- 6,5
	32,6	- II, I
7,5 - тип "морской"	29,7	- 14,0
	51,7	+ 8,0

Примечание: В числителе - при стоянии грунтовых вод на глубине 1 м, в знаменателе - на глубине 2 м.

вода с составом солей типа "морской" не оказывает отрицательного влияния на урожай - даже при высокой минерализации. И наоборот, при составе солей в поливной воде типа "монокатионный" урожай хлопка-сырца резко снижается, особенно при концентрации 5,0 г/л. Несмотря на содержание в поливной воде 2,5 - 7,5 г/л солей различного состава, общее количество их

Противоположное влияние на урожай хлопка-сырца отмечено при использовании поливной воды с составом солей типа "монокатионный". В условиях стояния грунтовых вод на глубине двух метров при концентрации солей указанного состава 5,0 г/л урожай хлопка-сырца снизился - против 43,7 ц/га по варианту с поливом пресной водой - до 32,6 ц/га.

По результатам лизиметрических исследований установлено, что поливы хлопчатника минерализованными водами с содержанием 2,5 - 7,5 г/л солей различного состава позволяют получать высокие урожаи - 42,0 - 51,7 ц/га.

В условиях стояния грунтовых вод на глубине двух метров поливная

в метровом слое почвы не увеличивается в ощущимых размерах за вегетацию хлопчатника, особенно при двухметровой глубине залегания уровня грунтовых вод.

Л И Т Е Р А Т У РА

1. Белкина В.И. О солевыносливости хлопчатника в условиях среднего течения реки Амударья. "Труды 6-й сессии АН ТССР". Душабад, 1954.
2. Бикмухамметов М.А. Почвы полуострова Мангышлак и перспективы их сельскохозяйственного освоения. "Проблемы освоения пустынь", 1970, № 6.
3. Ибрагимов Г.А. Грунтовые воды для орошения хлопчатника. "Хлопководство", 1969, № 7.
4. Ковда В.А. Основы теории и практики освоения засоленных почв аридной зоны. В сб.: "Проблемы засоления почв и водных источников". М., Изд-во АН СССР, 1960.
5. Реметкина Н.М., Спицын А.К. и Шуравилин А.В. Орошение хлопчатника дренажными водами в совхозе "Пахта-Арай". "Гидротехника и мелиорация", 1972, № 3.
6. Сабинин Д.А. Физиологические основы питания растений. М., Изд-во АН СССР, 1955.

УДК 631.67:626.810.3

Канд. с.-х. наук А.ХАДЫРОВ,
канд. техн. наук Х.А. АМАНОВ,
химик-аналитик П.И. ГЛАДКАЯ

ПРОМЫВКА СИЛЬНОЗАСОЛЕННЫХ ЗЕМЕЛЬ ПОСЛЕ ОРОШЕНИЯ МИНЕРАЛИЗОВАННОЙ ВОДОЙ

В процессе использования минерализованной воды для орошения сельскохозяйственных культур не исключена возмож-

ность засоления земель.

Засоление земель и распределение солей по профилю почвы при орошении минерализованной водой имеет свои особенности. При этом характер засоления в основном зависит от химического состава оросительной воды. В этих условиях промывной эффект и солеотдача могут быть иными, чем на землях, где засоление происходило в результате испарения влаги.

Для полива хлопчатника использовалась минерализованная вода с составом солей типа "морской" (первый вариант) и типа "монокатионный" (второй вариант)*. Общая концентрация солей в поливной воде по вариантам одинаковая - 10 г/л. Для полива по контрольному варианту подавалась пресная вода.

Опыт по изучению изменения запаса воднорастворимых солей в почве под влиянием промывки - с 26 февраля по 18 марта 1974 г. - проводился в лизиметрах площадью 0,132 м². Уровень грунтовых вод в лизиметрах поддерживался на двухметровой глубине. Повторность опыта двухкратная.

Почвенные образцы для анализа отбирались до и после промывки до двухметровой глубины**.

Результаты анализа показывают (табл. I), что до промывки содержание воднорастворимых солей и их распределение по профилю почвы резко отличались по вариантам опыта.

При поливах хлопчатника минерализованной водой с составом солей типа "морской" сухого остатка содержалось 1,655 - 2,618 %. Сумма солей в горизонтах 0 - 100 см и 100 - 200 см соответственно составила 2,110 и 2,190 % от веса почвы. В общем засолении значительное место занимают сернокислые и хлористые соли. В верхних горизонтах (более легкие

* Состав солей в поливной воде приведен на стр. 54 данного сборника.

** Почва в лизиметрах представлена светлыми сероземами, для механического состава которых характерным является малое содержание иллистых фракций и физической глины: в слое 0 - 100 см - 7,0 - 25,3 %, 120 - 160 см - 31,2 - 32,7 %, глубже 160 см - 34,5 - 35,4 %. Механический состав почвы по всему профилю неоднороден (см. в этом сборнике на стр. 55).

Таблица I

Содержание солей
в почве до промывки, %

Горизонт, см	Сухой остаток	HCO_3	Cl	SO_4	Ca	Mg	$Na + K$ (по ра- зности)
Первый вариант (тип "морской")							
0 - 20	2,618	0,009	0,528	1,020	0,309	0,042	0,739
20 - 40	2,125	0,009	0,289	1,035	0,285	0,042	0,465
40 - 60	1,970	0,009	0,257	0,961	0,271	0,031	0,441
60 - 80	1,655	0,008	0,254	0,629	0,256	0,045	0,464
80 - 100	2,173	0,006	0,204	1,113	0,307	0,042	0,501
100 - 120	2,025	0,008	0,236	0,895	0,282	0,039	0,565
120 - 140	2,380	0,008	0,132	1,376	0,294	0,045	0,525
140 - 160	2,693	0,008	0,096	1,567	0,368	0,034	0,619
160 - 180	1,928	0,008	0,086	0,983	0,275	0,055	0,520
180 - 200	1,903	0,008	0,086	1,037	0,330	0,045	0,397
Второй вариант (тип "монокатионный")							
0 - 40	2,371	0,009	0,409	1,028	0,297	0,042	0,587
0 - 100	2,110	0,008	0,306	0,952	0,286	0,040	0,516
100 - 200	2,190	0,008	0,127	1,172	0,310	0,044	0,526
0 - 20	5,000	0,012	0,421	2,331	0,533	0,034	1,669
20 - 40	3,258	0,012	0,168	1,849	0,482	0,031	0,716
40 - 60	3,446	0,009	0,157	2,022	0,556	0,028	0,671
60 - 80	3,256	0,009	0,218	1,987	0,387	0,031	0,624
80 - 100	2,596	0,006	0,179	1,370	0,371	0,034	0,637
100 - 120	3,122	0,009	0,136	1,932	0,429	0,017	0,600
120 - 140	2,940	0,010	0,132	1,779	0,441	0,023	0,555
140 - 160	3,014	0,011	0,075	2,020	0,425	0,016	0,466
160 - 180	2,224	0,010	0,068	1,279	0,328	0,018	0,521
180 - 200	1,446	0,010	0,036	0,895	0,254	0,022	0,230
0 - 40	4,113	0,012	0,295	2,090	0,507	0,032	1,085
0 - 100	3,511	0,010	0,229	1,912	0,466	0,032	0,758
100 - 200	2,549	0,010	0,089	1,581	0,375	0,019	0,352

Продолжение табл. I

Горизонт, см	Сухой остаток	$HC O_3$	Cl^-	SO_4^{2-}	Ca	Mg	$Na+K$ (по разности)
--------------	---------------	----------	--------	-------------	------	------	-------------------------

Контроль (использовалась пресная вода)

0 - 20	1,604	0,012	0,014	0,915	0,256	0,036	0,370
0 - 40	1,528	0,012	0,014	0,856	0,214	0,053	0,368
40 - 60	1,821	0,011	0,071	1,014	0,246	0,047	0,432
60 - 80	1,980	0,005	0,143	1,012	0,176	0,085	0,569
80 - 100	2,965	0,008	0,071	1,825	0,372	0,044	0,646
100 - 120	2,604	0,005	0,064	1,528	0,317	0,056	0,634
120 - 140	2,091	0,003	0,064	1,222	0,189	0,065	0,548
140 - 160	1,820	0,003	0,039	1,082	0,210	0,038	0,448
160 - 180	1,735	0,003	0,022	1,026	0,240	0,045	0,399
180 - 200	1,525	0,003	0,014	0,924	0,238	0,053	0,293
0 - 40	1,560	0,012	0,014	0,891	0,235	0,045	0,369
0 - 100	1,975	0,010	0,063	1,127	0,253	0,053	0,477
100 - 200	1,955	0,003	0,040	0,890	0,239	0,051	0,464

грунты) преобладают хлориды, в нижних (тяжелые грунты) - сульфаты.

Катионный состав солей в почве неоднородный: кальций составляет 50 - 55 %, натрий + калий - 38,5 - 32,2 %, магний - 6,2 - 8,7 %. При этом относительное содержание кальция и магния с глубиной увеличивается, а содержание натрия + калия - уменьшается.

При минерализации поливной воды с составом солей типа "монокатионный" содержание сухого остатка по горизонту 0 - 20 см составило 5,000 %; с глубиной оно уменьшилось по всему профилю почвы - до 1,446 % по горизонту 180 - 200 см.

Наиболее характерным для второго варианта является высокое содержание гипса, на долю которого приходится 83,5 - 92,4 % от суммы анионов (мг-экв). При этом с глубиной его содержание увеличивается. Вторым в этом отношении является хлор. Относительное содержание его по горизонтам 0 - 100 см

и 100 - 200 см определяется соответственно 14,0 и 7,2 % от суммы анионов (мг-экв). Содержание хлора, наибольшее в верхнем горизонте почвы, с глубиной уменьшается.

Доминирующим среди катионов является кальций, содержание которого превышает 50,0 % от суммы катионов (мг-экв), второе место занимает натрий + калий - 42,4 - 45,6 %, на долю магния приходится 4,5 - 5,7 %.

Сравнительно меньше солей в почве содержалось по третьему варианту, где для орошения использовалась пресная вода. Сумма растворимых солей - по сухому остатку - составила: в горизонте 0 - 40 см - 1,560 %, 0 - 100 см - 1,975 % и 100 - 200 см - 1,955 %. При сравнительно небольшом количестве солей в верхних горизонтах почвы контрольный вариант характеризуется относительно высоким содержанием иона SO_4^{2-} и кальция, малым содержанием хлора и натрия + калия.

Засоление почвы по всем трем вариантам сульфатного типа с повышенным содержанием гипса, по катионному составу - натриево-кальциевое.

При установлении промывных норм в расчетах учитывалось опреснение двухметрового слоя почвы, принятая норма опреснения по содержанию сухого остатка - 0,3 %.

Данные водной вытяжки свидетельствуют о том, что в результате промывки по всем вариантам опыта произошло значительное опреснение двухметрового слоя почвы при некотором различии в солеотдаче и промывном эффекте (табл. 2).

По первому варианту содержание солей после промывки нормой 18500 м³/га уменьшилось по всему двухметровому слою почвы. Сумма солей в горизонте 0 - 40 см - соответственно с 2,371 до 1,180 % (по сухому остатку), содержание хлор-иона - почти в 30 раз, а в нижних горизонтах - в 11-25 раз. Резко уменьшилось и содержание катиона натрий + калий - с 44,8 до 6,2 % от суммы катионов (мг-экв).

Абсолютное содержание общей щелочности повысились по всему профилю почвы почти в 2 раза, относительное - в 3 - 4 раза, что, по-видимому, связано с взаимодействием водородного иона с карбонатами почвы при промывках. Содержание иона SO_4^{2-} в верхнем горизонте почвы (0 - 40 см) в целом незначительно уменьшилось - с 1,028 до 0,728 %, относительное же содержание его резко повысилось, особенно

Таблица 2

Содержание солей
в почве после промывки, %

Горизонт, см	Сухой остаток	HCO_3	Cl	SO_4	Ca	Mg	$Na + K$ (по ра- зности)
-----------------	------------------	---------	------	--------	------	------	--------------------------------

Первый вариант, промывная норма 18500 м ³ /га							
0 - 20	I,138	0,018	0,014	0,708	0,266	0,017	0,114
20 - 40	I,221	0,016	0,014	0,749	0,279	0,014	0,149
40 - 60	I,176	0,015	0,011	0,741	0,279	0,006	0,125
60 - 80	I,241	0,014	0,011	0,761	0,266	0,007	0,183
80 - 100	I,201	0,014	0,011	0,747	0,267	0,017	0,145
100 - 120	I,226	0,013	0,011	0,745	0,273	0,015	0,170
120 - 140	I,209	0,012	0,014	0,747	0,277	0,016	0,142
140 - 160	I,206	0,013	0,007	0,765	0,277	0,015	0,129
160 - 180	I,100	0,014	0,011	0,691	0,245	0,017	0,122
180 - 200	I,085	0,017	0,011	0,683	0,237	0,020	0,118
0 - 40							
0 - 100	I,180	0,017	0,014	0,728	0,272	0,016	0,131
100 - 200	I,195	0,015	0,012	0,741	0,271	0,012	0,143
Второй вариант, промывная норма 23400 м ³ /га							
0 - 20	I,160	0,017	0,018	0,732	0,284	0,006	0,104
20 - 40	I,194	0,015	0,014	0,749	0,293	0,009	0,113
40 - 60	I,185	0,016	0,011	0,753	0,284	0,010	0,111
60 - 80	I,221	0,015	0,011	0,796	0,286	0,010	0,103
80 - 100	I,222	0,015	0,011	0,802	0,286	0,012	0,097
100 - 120	I,229	0,015	0,011	0,778	0,289	0,010	0,126
120 - 140	I,254	0,017	0,011	0,778	0,291	0,008	0,150
140 - 160	I,216	0,018	0,014	0,792	0,297	0,013	0,083
160 - 180	I,230	0,017	0,014	0,784	0,286	0,015	0,115
180 - 200	I,250	0,018	0,011	0,786	0,282	0,016	0,138
0 - 40							
0 - 100	I,197	0,016	0,016	0,741	0,288	0,007	0,108
100 - 200	I,236	0,017	0,012	0,783	0,289	0,011	0,122

Продолжение табл. 2

Горизонт, см	Сухой остаток	HCO_3	Cl	SO_4	Ca	Mg	$Na + K$ (по ра- зности)
-----------------	------------------	---------	------	--------	------	------	--------------------------------

Третий вариант, промывная норма 17000 м ³ /га							
0 - 20	I,153	0,012	0,011	0,792	0,277	0,009	0,051
20 - 40	I,179	0,020	0,011	0,761	0,292	0,009	0,086
40 - 60	I,174	0,021	0,011	0,749	0,290	0,008	0,095
60 - 80	I,148	0,015	0,007	0,704	0,266	0,010	0,146
80 - 100	I,200	0,014	0,011	0,782	0,275	0,014	0,105
100 - 120	I,204	0,012	0,007	0,823	0,283	0,015	0,064
120 - 140	I,208	0,011	0,011	0,819	0,279	0,023	0,066
140 - 160	I,178	0,012	0,011	0,792	0,271	0,025	0,066
160 - 180	I,151	0,014	0,011	0,755	0,258	0,031	0,083
180 - 200	I,144	0,014	0,007	0,739	0,250	0,025	0,109
0 - 40							
0 - 100	I,166	0,016	0,011	0,776	0,285	0,009	0,069
100 - 200	I,171	0,016	0,010	0,757	0,280	0,009	0,097
I,177							

в слое 0 - 100 см, - с 69,0 до 96,3 %, значительно превысив содержание остальных анионов.

Заметное уменьшение содержания кальция произошло в горизонтах 0 - 20 и 180 - 200 см - соответственно с 0,309 до 0,266 % и с 0,330 до 0,237 %. В остальных горизонтах почвы оно менее выражено, что привело к значительному увеличению относительного содержания кальция: в слое 0 - 40 см - с 44,9 до 85,7 %, в слое 0 - 100 см - с 50,0 до 84,5 % от суммы катионов (мг-экв). Магния содержалось меньше исходных величин - как абсолютных, так и относительных, особенно в верхнем метровом слое почвы.

По второму варианту солевой профиль до промывки представлял собой солончак с концентрацией солей в пахотном слое. При этом токсичных и легкоподвижных натриевых солей здесь содержалось больше по сравнению с другими вариантами - почти в 2 раза.

В результате промывки нормой 23400 м³/га по второму варианту произошло рассоление почвы на глубину до двух метров, более значительное - в горизонте 0 - 40 см, где сумма воднорастворимых солей уменьшилась с 4,113 до 1,177 %. В горизонтах почвы 0 - 100 см и 100 - 200 см - соответственно с 3,511 до 1,197 % и с 2,549 до 1,236 % - по содержанию сухого остатка.

Количество бикарбонатов увеличилось по всему двухметровому профилю почвы. Значительно уменьшилось содержание хлор-иона - в метровом слое почвы, а содержание иона SO_4^{2-} - с 2,090 до 0,741 % в горизонте 0 - 40 см, с 1,912 до 0,766 % в слое 0 - 100 см и с 1,581 до 0,783 % в слое 100 - 200 см.

После промывки в катионном составе солей по всему двухметровому профилю почвы стал преобладать кальций при относительно высоком содержании его по сравнению с другими вариантами (до промывки доминировал натрий + калий). Это, по-видимому, связано с растворяющим действием натриевых солей на труднорастворимые соединения кальция твердой фазы почвы.

Заметно уменьшилось абсолютное содержание магния - во всех горизонтах почвы. Относительное содержание его уменьшилось только в метровом слое, а в горизонтах от 120 до 180 см оно несколько увеличилось.

Установлено уменьшение содержания катиона натрий + калий: в слое 0 - 100 см - в 7 - 10 раз, в слое 100 - 200 см - до 3 раз. При этом относительное содержание его уменьшилось соответственно с 45,6, до 7,0 % и с 42,4 до 8,7 %.

По третьему варианту в результате промывки нормой 17000 м³/га произошло уменьшение количества легкорастворимых солей по всему профилю почвы. При этом, как и по другим вариантам, увеличилось абсолютное и относительное содержание иона HCO_3^- во всех слоях почвы, а хлор-иона - уменьшилось: в слое 0 - 100 см - до 0,010 %, в слое 100 - 200 см - до 0,009 %; относительное содержание его - по всем горизонтам.

Незначительно уменьшилось содержание иона SO_4^{2-} в горизонте 0 - 100 см - с 1,127 до 0,757 %, но относительное его содержание несколько увеличилось. Проявилось небольшое увеличение кальция - почти по всему профилю, за исключением горизонта 80 - 120 см. Относительное его содержание

возросло: в слое 0 - 100 см - с 49,7 до 85,7 %, в слое 100 - 200 см - с 47,2 до 79,7 %.

Уменьшилось содержание: магния - по всему профилю почвы, более значительно - в слое 0 - 100 см; натрия + калия - в горизонтах 0 - 100 см с 0,477 до 0,097 %, 100 - 200 см с 0,464 до 0,078 %, относительное содержание - соответственно с 33,1 до 9,3 % и с 36,1 до 8,6 % от суммы катионов (мг-экв).

Результаты промывки почвы с сульфатным, натриево-кальциевым засолением и повышенным содержанием гипса показывают, что промывные нормы от 17000 до 23400 м³/га позволяют опреснить всю двухметровую толщу почво-грунта. При этом ход изменений содержания различных анионов и катионов неодинаков. По всем вариантам наиболее резко уменьшилось содержание хлора (анион) и натрия + калия (катион).

Сульфаты выщелачиваются сравнительно слабо и более равномерно. Содержание гипса после промывки по всем вариантам остается высоким (0,726 - 0,785 %), независимо от исходной величины и величины промывной нормы, при равномерном распределении по всему профилю почвы. Заметное уменьшение содержания кальция проявилось лишь по второму варианту, где в поливной воде содержались только хлористые и сернокислые соли натрия. Это может быть объяснено способностью солей натрия растворять труднорастворимые соединения кальция.

Следует отметить, что абсолютное и относительное содержание иона HCO_3^- после промывки увеличивалось во всех рассмотренных случаях. Содержание магния заметно уменьшилось только в верхних слоях почвы, в нижележащих - незначительно.

Лучший эффект от промывки почвы получен по второму варианту, где в расчете на 1 м³ воды вымыто значительно больше солей.

Исследованиями ряда авторов [1, 3, 6] установлено, что растения сельскохозяйственных культур нормально развиваются при рассолении корнеобитаемой толщи почвы до 0,5 - 0,7 %. Е.Г. Петров [4] считает нормой опреснения почвы - содержание в ней 0,3 % солей (по сухому остатку). Однако в условиях гипсового засоления достичь уменьшения общего количества солей в почве до расчетной нормы опреснения (0,3 %)

промывками нормами 17000 - 23400 м³/га - не удалось. По всем вариантам содержание солей (по сухому остатку) после промывки почвы оставалось высоким - I,165 - I,236 % - при равномерном распределении по всему профилю почвы.

Расчет токсичных солей, содержанием которых фактически определяется степень засоления почв, показывает, что оставшиеся после промывки соли в основном (0,892 - 0,985 %) физиологически безвредные. На долю токсичных солей приходится незначительная часть - 0,III - 0,220 %. При этом следует отметить, что в процессе промывки сильному выщелачиванию подвергаются токсичные соли, а физиологически безвредные вымываются незначительно (табл. 3).

По всем рассматриваемым вариантам почва солончакового засоления перешла под действием промывки, - с учетом токсичности ионов солей, - в слабовасосленную группу. Тип засоления остался по-прежнему сульфатным с повышенным содержанием гипса.

Таблица 3

Изменение состава солей под действием промывки, %

Горизонт, см	Сухой остаток		Физиологически безвредные		Токсичные	
	до промывки	после промывки	до промывки	после промывки	до промывки	после промывки
Первый вариант, промывная норма 18500 м ³ /га						
0 - 40	2,37I	I,180	I,012	0,928	I,112	0,17I
0 - 100	2,110	I,195	0,972	0,924	0,874	0,160
100 - 200	2,190	I,165	I,052	0,892	0,814	0,165
Второй вариант, промывная норма 23400 м ³ /га						
0 - 40	4,113	I,177	I,726	0,983	I,876	0,1II
0 - 100	3,5II	I,197	I,586	0,980	I,497	0,146
100 - 200	2,549	I,236	I,266	0,985	I,128	0,16I
Третий вариант, промывная норма 17000 м ³ /га						
0 - 40	I,560	I,166	0,795	0,969	0,464	0,168
0 - 100	I,975	I,17I	0,859	0,953	0,837	0,153
100 - 200	I,955	I,177	0,8II	0,914	0,888	0,220

нием гипса. Изменилось содержание кальциевых солей и солей натрия. Преобладание кальция над натрием + калием резко увеличилось. Содержание и состав солей после промывки вполне благоприятны для развития хлопчатника.

Исследованиями И.С. Рабочева [5], В.С. Бурдыгиной [2] и др. установлено, что на удаление 1 тонны солей из метрового слоя почвы требуется 100 - 130 м³ воды. По второму варианту, где получен хороший промывной эффект (из метрового слоя почвы вымыто 270 тонн солей), расход воды на удаление 1 тонны соли составил 86,6 м³ (табл. 4).

По третьему варианту, где поливы проводились пресной водой, из метрового слоя почвы удалено наименьшее количество солей - 81,35 тонны/га при наибольшем расходе воды на удаление 1 тонны соли - 208,9 м³.

Первый вариант, где для полива использовалась минерализованная вода с составом солей типа "морской", занимает промежуточное положение по промывному эффекту и количеству солей, удаленных из метрового слоя почвы. При этом расход воды на удаление 1 тонны соли составил 175,9 м³.

Таким образом, исходя из рассмотренных данных, можно констатировать, что соли, накопленные в почве в результате проведения поливов минерализованной водой, не закрепляются в ней и легко выщелачиваются. При этом расход

Таблица 4
Расход воды на удаление солей в зависимости от степени рассоления метрового слоя почвы

	Содержалось солей*		Расход воды на удаление 1 тонну соли, м ³
	до промывки	после промывки	
I. Промывная норма 18500 м ³ /га	254,75	I49,60	I05,15
2,III	I,195	0,916	175,9
II. Промывная норма 23400 м ³ /га	425,45	I55,39	270,06
3,5II	I,197	2,3I4	86,6
III. Промывная норма 17000 м ³ /га	234,05	I52,70	8I,35
I,975	I,17I	0,804	208,9

* В числителе - в тонах на гектар, в знаменателе - в процентах.

воды на вытеснение 1 тонны соли уменьшается. Соли натрия растворяющие действуют на трудно растворимые соединения кальция и тем самым улучшают промывной эффект.

ЛИТЕРАТУРА

1. Белкина В.И. О солевыносивости хлопчатника в условиях среднего течения реки Амудары. "Труды 6-й сессии АН ТССР". Ахабад, 1954.
2. Бурдыгина В.С. Влияние промывных полов на динамику почвенных солей. "Изв. АН ТССР", 1957, № 4.
3. Кабаев В.Е. Система агромелиоративных мероприятий на засоленных землях для получения высоких урожаев хлопчатника. "Труды 6-й сессии АН ТССР". Ахабад, 1954.
4. Петров Е.Т. Водный баланс хлопкового поля. "Труды института гидротехники и мелиорации", т. XI, М., 1935.
5. Рабочев И.С. Мелиорация засоленных почв. Ахабад, Туркмениздат, 1964.
6. Федоров Б.В. Некоторые практические вопросы по мелиорации засоленных почв. "Изв. АН УзССР", 1951, № 3.

УДК 626.862.2/.3:624.131.2I6/.542

Инж. В.Н. МАМЕДОВ

ИССЛЕДОВАНИЯ УСТОЙЧИВОСТИ ОСНОВАНИЙ И СТЕНОК ТРАНШЕЙ В ПРОЦЕССЕ УКЛАДКИ ДРЕН СОВРЕМЕННЫМИ ЭКСКАВАТОР-ДРЕНОУКЛАДЧИКАМИ В ВОДОНАСЫЩЕННЫХ ГРУНТАХ

Согласно рекомендациям САНИИРИ основным критерием для определения способа строительства закрытого горизонтального дренажа в зоне орошения является глубина стояния уровня

грунтовых вод [1]. При залегании грунтовых вод на глубине 3,0 м закрытый горизонтальный дренаж рекомендуется строить комплексно-механизированным способом, при глубине их залегания менее 3,0 м строительство дренажа осуществляется полумеханизированным способом (методом "полки") с предварительным водопонижением по трассе устройством открытой дрены. Во избежание больших объемов земляных работ по строительству открытого осушителя ТуркменНИИГиМом предложен метод предварительного водопонижения по трассе легкими иглофильтровыми установками. Для уточнения условий, в которых требуется предварительное водопонижение, институтом проведен комплекс исследований устойчивости дна и вертикальных стенок траншей, копаемой при строительстве дренажа в водонасыщенных несвязанных грунтах.

Разрушение грунта стенок и дна траншей происходит под воздействием фильтрационного потока, образуемого в процессе экскавации. При значительной скоростикопания траншей многоковшовым экскаватором и медленном снижении уровня грунтовых вод в грунте можно считать, что выход фильтрационных вод происходит по всей высоте вертикальной стенки траншей. Поэтому в качестве схемы моделирования принята траншея, фильтрующая по всему периметру (рис. I). Моделирование выполнялось на интеграторе ЭГДА-9/60. В первом приближении исследования выполнялись для изотропной среды при стоянии уровня грунтовых вод выше дна траншей на три, два, полтора и один метр. Максимальные выходные гидравлические градиенты в основании траншей достигали соответственно 2,20, 1,75, 1,63 и 1,46.

Для примера на рис. I представлен фрагмент мгновенной гидродинамической картины фильтрации в области, близлежащей к периметру траншей, при стоянии уровня грунтовых вод выше ее дна на 1 м. Эквилипенциалы располагаются в теле траншей с концентрацией у ее основания. Выходные гидравлические градиенты по периметру траншей возрастают от нуля на поверхности воды до максимума у основания траншей. Распределение гидравлического градиента по периметру траншей для случая, когда уровень стояния грунтовых вод выше дна траншей на 1 м, показано на рис. 2.

Известно [2], что фильтрационные деформации грун-

нта (разжижение, опливание, выпор) в котлованах происходят при условии, если на грунт действуют гидродинамические силы, превышающие их критические значения, то есть когда

$$J_{\text{вых}} > J_{\text{кр}}, \quad (1)$$

где $J_{\text{вых}}$ - критический градиент выпора для данного грунта. Значение $J_{\text{вых}}$ определяется по формулам:

Р.Р. Чугаева
 $J_{\text{вых}} = \left(\frac{\Delta}{\delta_0} - 1 \right) \cdot (1 - p), \quad (2)$

где Δ - удельный вес частиц грунта;

δ_0 - объемный вес воды;

p - пористость грунта в долях единицы.

Е.А. Замарина
 $J_{\text{вых}} = \left(\frac{\Delta}{\delta_0} - 1 \right) \cdot (1 - p) + 0,5p \quad (3)$

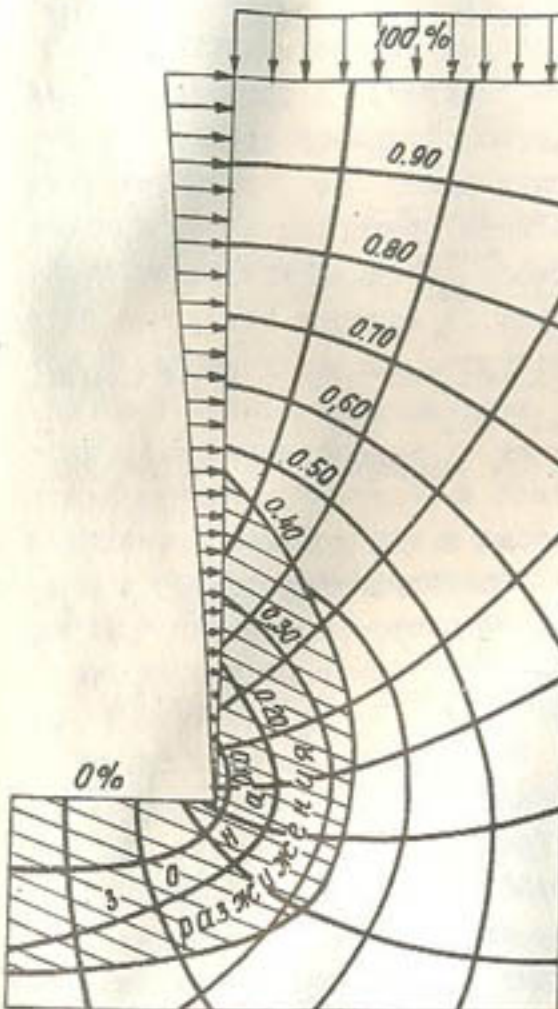


Рис. 1. Фрагмент мгновенной гидродинамической картины фильтрации при стоянии уровня грунтовых вод на один метр выше дна траншеи

$$J_{\text{кр}} = \left(\frac{\Delta}{\delta_0} - 1 \right) \cdot (1 - p) \alpha, \quad (4)$$

где $\alpha = 0,90 - 0,95$ - поправочный коэффициент.

В табл. I сопоставлены значения максимальных выходных гидравлических градиентов, полученных в результате мо-

делирования, с критическими градиентами, определенными по вышеприведенным формулам, для пяти видов песков, залегающих в зоне Каракумского канала, при стоянии уровня грунтовых вод на 1 м выше дна траншеи. Во всех случаях действительный градиент превышает критический, то есть имеет место выпирание нижней части стен и дна траншеи. Этим объясняется невозможность применения комплексно-механизированного способа строительства закрытого горизонтального дренажа в водонасыщенных грунтах без предварительного водопонижения.

Из многочисленных мероприятий, проводимых в гидротехническом строительстве для предотвращения грунтовых деформаций под действием фильтрационного потока, эффективным следует считать применение дренажной пригрузки. Формула Р.Р. Чугаева, предложенная для расчета необходимой пригрузки при выпоре грунта восходящим фильтрационным потоком, позволяет определить величину пригрузки для предотвращения деформации основания дренажной траншеи:

$$T f_{\text{пр}} + t f_{\text{взб}} = K_{\text{зап}} \cdot t f_{\text{ср}}, \quad (5)$$

где T - толщина дренажной пригрузки;

$f_{\text{пр}}$ - объемный вес материала пригрузки;

t - толщина слоя, подверженного выпору;

$f_{\text{взб}}$ - объемный вес взвешенного грунта;

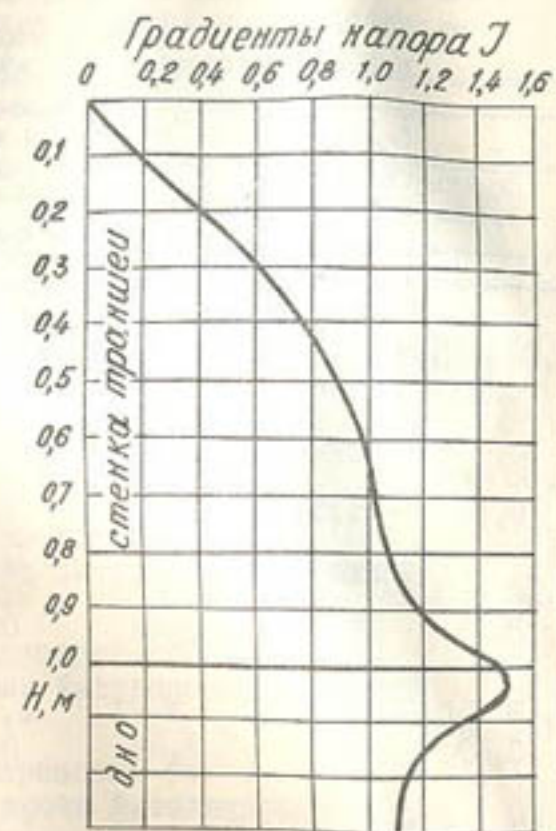


Рис. 2. График распределения выходных гидравлических градиентов по периметру траншеи при стоянии уровня грунтовых вод на один метр выше дна траншеи

Таблица I

Расчетные значения критического гидравлического градиента для типовых мелковернистых песков, залегающих в зоне Каракумского канала

Пористость	Объемный вес ске- лета, g/cm^3	Удельный вес, g/cm^3	Критические градиенты, определенные по формулам	
			Чугаева	Замарина
				ВНИИГа им. Веденеева

	Мелкий песок, $d_{50} = 0,200 \text{ мм}$				
0,39	I,61	2,62	0,99	I,19	0,92
	Средне-мелковернистый песок, $d_{50} = 0,165 \text{ мм}$				
0,41	I,55	2,61	0,95	I,16	0,88
	Мелко-тонковернистый песок, $d_{50} = 0,088 \text{ мм}$				
0,43	I,49	2,61	0,92	I,13	0,85
	Тонко-мелковернистый песок, $d_{50} = 0,042 \text{ мм}$				
0,43	I,50	2,62	0,93	I,15	0,86
	Тонковернистый песок, $d_{50} = 0,072 \text{ мм}$				
0,44	I,46	2,60	0,89	I,10	0,83

$K_{зап}$ — коэффициент запаса, рекомендуется $K_{зап} = I,2 - I,7$;

$f_{ср}$ — удельная фильтрационная сила, приложенная к единице объема грунта.

Удельная фильтрационная сила, по К. Тердаги, выражена зависимостью:

$$f_{ср} = f_B \cdot J,$$

где f_B — объемный вес воды;

J — гидравлический градиент.

Пользуясь уравнением (5), находим толщину слоя пригрузки для предотвращения деформации стен и дна дренажной траншеи в несвязанных грунтах при разных положениях уровня грунтовых вод (табл. 2).

Таблица 2

Расчетная толщина дренажной пригрузки, необходимой для предотвращения деформации грунта, см

Высота стояния уровня грунтовых вод над дном траншеи, м				
I,0	I,5	2,0	3,0	
				Мелкий песок
5,0 - I0,0	10,0 - I6,0	13,2 - 21,2	46,2 - 59,0	
				Средне-мелковернистый песок
5,6 - II,0	10,7 - I7,I	15,I - 22,0	47,7 - 60,5	
				Мелко-тонковернистый песок
6,2 - II,5	II,5 - I7,9	15,9 - 22,7	49,0 - 62,0	
				Тонко-мелковернистый песок
6,0 - II,3	II,0 - I7,6	15,4 - 22,4	48,0 - 61,5	
				Тонковернистый песок
6,8 - II,9	18,3 - 22,I	16,4 - 23,2	55,0 - 63,0	

В современных дреноукладочных машинах фильтрационная обойма создается путем отсыпки нижнего слоя фильтра толщиной 15 - 20 см с последующей засыпкой уложенных труб верхним слоем толщиной 20 - 25 см. Как видно из табл. 2, толщина нижнего слоя фильтра достаточна для предотвращения деформации грунта в случае превышения уровня воды над дном траншеи не более I,5 м. Верхний слой фильтрации засыпки препятствует разжижению грунта стенок траншеи только при высоте стояния уровня грунтовых вод над дном отрываемой траншеи менее I,0 м.

Исследования позволяют сделать следующий вывод: строительство дрен с гравийным фильтром экскаватор-дреноукладчиком, развивающим тяговое усилие более 20 тонн (Д-659А), в водонасыщенных грунтах осуществимо без предварительного водопонижения при высоте стояния уровня грунтовых вод над

Таблица I

Расчетные значения критического гидравлического градиента для типовых мелковернистых песков, залегающих в зоне Каракумского канала

Пористость	Объемный вес сухого песка, g/cm^3	Критические градиенты, определенные по формулам		
		Удельный вес, g/cm^3	Чугаева	Замарина
				ВНИИГА им. Веденеева

Мелкий песок, $d_{50} = 0,200 \text{ мм}$					
0,39	I,6I	2,62	0,99	I,I9	0,92
Средне-мелковернистый песок, $d_{50} = 0,165 \text{ мм}$					
0,4I	I,55	2,6I	0,95	I,I6	0,88
Мелко-тонковернистый песок, $d_{50} = 0,088 \text{ мм}$					
0,43	I,49	2,6I	0,92	I,I3	0,85
Тонко-мелковернистый песок, $d_{50} = 0,122 \text{ мм}$					
0,43	I,50	2,62	0,93	I,I5	0,86
Тонковернистый песок, $d_{50} = 0,072 \text{ мм}$					
0,44	I,46	2,60	0,89	I,I0	0,83

$K_{зап}$ - коэффициент запаса, рекомендуется $K_{зап} = I,2 - I,7$;

$f_{ср}$ - удельная фильтрационная сила, приложенная к единице объема грунта.

Удельная фильтрационная сила, по К. Тордаги, выражена зависимостью:

$$f_{ср} = f_b \cdot J,$$

где f_b - объемный вес воды;

J - гидравлический градиент.

Пользуясь уравнением (5), находим толщину слоя пригрузки для предотвращения деформации стен и дна дренажной траншеи в несвязанных грунтах при разных положениях уровня грунтовых вод (табл. 2).

Таблица 2

Расчетная толщина дренажной пригрузки, необходимой для предотвращения деформации грунта, см

Высота стояния уровня грунтовых вод над дном траншеи, м			
I,0	I,5	2,0	3,0
5,0 - I0,0	I0,0 - I6,0	I3,2 - 2I,2	46,2 - 59,0
5,6 - II,0	I0,7 - I7,I	I5,I - 22,0	47,7 - 60,5
6,2 - II,5	I1,5 - I7,9	I5,9 - 22,7	49,0 - 62,0
6,0 - II,3	I1,0 - I7,6	I5,4 - 22,4	48,0 - 61,5
6,8 - II,9	I8,3 - 22,I	I6,4 - 23,2	55,0 - 63,0

В современных дреноукладочных машинах фильтрационная обойма создается путем отсыпки нижнего слоя фильтра толщиной 15 - 20 см с последующей засыпкой уложенных труб верхним слоем толщиной 20 - 25 см. Как видно из табл. 2, толщина нижнего слоя фильтра достаточна для предотвращения деформации грунта в случае превышения уровня воды над дном траншеи не более I,5 м. Верхний слой фильтрации засыпки препятствует разжижению грунта стенок траншеи только при высоте стояния уровня грунтовых вод над дном отрываемой траншеи менее I,0 м.

Исследования позволяют сделать следующий вывод: строительство дрен с гравийным фильтром экскаватор-дреноукладчиком, развивающим тяговое усилие более 20 тонн (Д-659А), в водонасыщенных грунтах осуществимо без предварительного водопонижения при высоте стояния уровня грунтовых вод над

диом траншеи не более 1,0 м. При более высоком стоянии уровня грунтовых вод требуется предварительное водопонижение.

ЛИТЕРАТУРА

1. Бердянский В.И. и др. Строительство горизонтального дренажа в Голодной степи. "Гидротехника и мелиорация", 1963, № 3.

2. Чугаев Р.Р. Земляные гидротехнические сооружения (теоретические основы расчета). Л., "Энергия", 1967.

УДК 626.861.5:621.879.45:624.131.225/.55

Инж. В.Д. ЛЯХ

МОДЕЛИРОВАНИЕ ПОДВОДНОГО РЕЗАНИЯ ГЛИНИСТОГО ГРУНТА ВИБРИРУЮЩИМ РЫХЛИТЕЛЕМ ЗЕМЛЕСОСНОГО СНАРЯДА

В мелиоративном строительстве Туркменской ССР средствами гидромеханизации выполняются большие объемы земляных работ. Земснаряды, производительностью по грунту 80, 100 и 250 м³/час, наряду с намывом плотин, очисткой каналов от заиливания производят работы по очистке и строительству коллекторной сети, в частности, по уширению и углублению межреспубликанского коллектора "Дружба", строительству Главного куняургенческого коллектора.

Прочные глинистые грунты, залегающие по трассе строительных объектов (в условиях Туркменской ССР), вызвали необходимость создания вибрационного рыхлителя - рабоче-

го органа земснаряда, способного эффективно работать в этих тяжелых условиях.

Исследования, проведенные в ТуркменНИИГиМе, свидетельствуют о целесообразности применения метода вибрационного резания для подводной разработки глинистого грунта землесосными снарядами. Вертикальные колебания рабочего органа снижают сопротивление грунта резанию в 3 - 3,5 раза, полностью исключают налипание грунта на режущие поверхности, способствуют дроблению стружки.

Трудоемкость выполнения натурных исследований, многочисленность факторов, влияющих на процесс подводного резания, обусловливают необходимость проведения опытов с применением физического моделирования.

Основные положения приближенного физического моделирования процесса резания грунта разработаны В.И. Баловневым [2]. При изучении процесса вибрационной обработки почвы Г.Э. Смирский применил метод анализа размерностей [4], в результате чего получена зависимость, связывающая основные параметры процесса:

$$\delta = \phi \left(\frac{A \cdot \omega}{v_0}; f; \Pi_1; \Pi_2; \Pi_3 \right), \quad (I)$$

где δ - относительное уменьшение тягового усилия;

$A \cdot \omega$ - произведение средней амплитуды колебания орудия на круговую частоту, или скорость колебаний;

v_0 - поступательная скорость резания;

f - коэффициент трения;

Π_1, Π_2, Π_3 - безразмерные характеристики грунта.

Процесс разработки глинистого грунта вибрирующим грунтозаборным органом землесосного снаряда характеризуется тяговым усилием резания P , расходом мощности на виброрование грунта N и расходом мощности на преодоление сопротивления водной среды N_f , степенью дробления стружки, определяемой как средневзвешенный диаметр ее кусков d_{cp} .

На показатели P , N и d_{cp} оказывают влияние: Прочностные и динамические свойства грунта:

- объемный вес грунта под водой,

$$f'_{gr} = f_{gr} - 1;$$

C - коэффициент сцепления;
 ρ - угол внутреннего трения;
 E_d - динамический модуль упругости;
 μ - коэффициент Пуассона;
 M_r - коэффициент динамической вязкости грунта.

Свойства среды:

ρ_b - плотность воды;
 η_b - коэффициент вязкости воды.

Параметры рыхлителя:

h - глубина резания;
 b - ширина резания;
 λ - угол резания.

Кинематические параметры вибрационного резания:

v_p - скорость поступательного движения;
 A - амплитуда колебания ножа;
 ω - угловая частота колебаний.

Наши опыты [3] показали, что действие передней грани вибрирующего ножа на грунт аналогично действию плотномера ДорНИИ. Это позволяет заменить определяющие прочностные и динамические показатели грунта обобщенным показателем - числом ударов динамического плотномера ДорНИИ, который характеризует сопротивление грунта внедрению наконечника под действием ударной нагрузки.

Функциональные зависимости между величинами, влияющими на процесс подводного вибрационного резания, могут быть представлены в виде:

$$P = f_1 (f'_ep, g, C_{y\theta}, h, b, \lambda, v_p, A, \omega); \quad (2)$$

$$N = f_2 (f'_ep, g, C_{y\theta}, h, b, \lambda, v_p, A, \omega); \quad (3)$$

$$N_f = f_3 (\rho_b, \eta_b, b, A, \omega); \quad (4)$$

$$d_{cp} = f_4 (f'_ep, g, C_{y\theta}, h, b, \lambda, v_p, A, \omega). \quad (5)$$

Условия физического моделирования установленного процесса

подводного вибрационного резания грунта вытекают из основных положений теории подобия [1] и заключаются в следующем:

1) определяющие критерии подобия процесса резания для модели и натуры должны быть численно равными;

2) одноименные физические параметры системы, описывающие рабочий процесс, для модели и оригинала должны быть соответственно пропорциональны;

3) процесс взаимодействия рабочего оборудования со средой в модели и оригинале должны принадлежать одному классу явлений;

4) модель и оригинал рыхлителя и системы в целом должны быть геометрически подобными;

5) при моделировании установленного процесса начальные условия вводить нет надобности.

В зависимость (1) входят 10 физических величин, размерность которых выражается тремя основными единицами измерения (кг, м, с). Для показателя $C_{y\theta}$, характеризующего прочность грунта, принимается размерность коэффициента сцепления, то есть $M \cdot L^{-1} \cdot T^{-2}$. Для получения безразмерных комплексов за основные единицы принимаем независимые величины f'_ep, h, v_p . Пользуясь \mathcal{K} -теоремой, находим критерии подобия:

$$\begin{aligned} \mathcal{K}_1 &= \frac{\rho}{h^3 f'_ep}; & \mathcal{K}_4 &= \frac{b}{h} \\ \mathcal{K}_2 &= \frac{g \cdot h}{v_p^2}; & \mathcal{K}_5 &= \frac{A}{h} \\ \mathcal{K}_3 &= \frac{C_{y\theta}}{h f'_ep}; & \mathcal{K}_6 &= \frac{\omega \cdot h}{v_p} \end{aligned}$$

Седьмой критерий подобия представлен безразмерной величиной

Произведем преобразование критериев подобия:

$$\Pi_1 = \mathcal{K}_1 : \mathcal{K}_3 : \mathcal{K}_4 = \frac{\rho}{b \cdot h \cdot C_{y\theta}}; \quad (6)$$

$$\Pi_2 = 1 : \mathcal{K}_5 : \mathcal{K}_6 = \frac{v_p}{A \cdot \omega}; \quad (7)$$

$$\Pi_3 = \mathcal{K}_4 = \frac{\delta}{h}; \quad (8)$$

$$\Pi_4 = \mathcal{K}_7 = \lambda; \quad (9)$$

$$\Pi_5 = 1 : \mathcal{K}_2 = \frac{V_p}{g \cdot h}. \quad (10)$$

представляет собой критерий Фруда F_g , одинаковый в подобных системах, находящихся под действием сил тяжести. Π_1 является критерием динамического подобия. Величина $\frac{\rho}{\delta \cdot h}$ представляет собой частное от деления обобщенной силы сопротивления вибрационному резанию, включающей в себя и силу трения грунта о поверхность ножа, на площадь поперечного сечения стружки; ее можно назвать удельным сопротивлением грунта вибрационному резанию κ . Следовательно, критерий подобия Π_1 представляет собой отношение удельного сопротивления грунта вибрационному резанию κ к обобщенному показателю прочностных свойств грунта C_{yd} :

$$\Pi_1 = \frac{\kappa}{C_{yd}}. \quad (II)$$

В критерии Π_2 произведение $A \cdot \omega$ есть скорость вибрации рабочего органа, V_p — скорость перемещения рабочего органа относительно грунта. Π_2 представляет собой критерий кинематического подобия системы вибрирующий орган — грунт.

Отношение ширины стружки к ее высоте $\Pi_3 = \frac{\delta}{h}$ и угол резания $\Pi_6 = \lambda$ представляют собой геометрическое подобие процесса.

Общее уравнение в критериальной форме для определения усилия резания будет:

$$\frac{\kappa}{C_{yd}} = C_0 \left(\frac{V_p}{A \cdot \omega} \right)^\lambda \left(\frac{\delta}{h} \right)^\beta \cdot \lambda^\delta \cdot F_g^\delta \quad (12)$$

$C_0, \lambda, \beta, \delta$ — постоянные величины, определяемые опытом.

Следовательно, моделирование процесса вибрационного резания грунта необходимо вести при постоянстве критериев

динамического подобия $\frac{\kappa}{C_{yd}}$, кинематического подобия $\frac{V_p}{A \cdot \omega}$, геометрического подобия $\frac{\delta}{h}$ и λ , и критерия Фруда $\frac{V_p}{g \cdot h}$.

При подводном вибрационном резании грунта наряду с тяговым усилием расходуется мощность на преодоление сопротивления грунта вибрированию и вязкого сопротивления воды.

Анализ размерности величин зависимости (3) позволяет найти критерии подобия, связывающие мощность, расходуемую на вибрацию, с основными физическими параметрами процесса:

$$\begin{aligned} \mathcal{K}_1 &= \frac{N}{V_p \cdot h^3 \cdot f_{ap}}; & \mathcal{K}_4 &= \frac{\delta}{h}; \\ \mathcal{K}_2 &= \frac{g \cdot h}{V_p^2}; & \mathcal{K}_5 &= \frac{A}{h}; \\ \mathcal{K}_3 &= \frac{C_{yd}}{h \cdot f_{ap}}; & \mathcal{K}_6 &= \frac{\omega \cdot h}{V_p}; \\ & & \mathcal{K}_7 &= \lambda. \end{aligned} \quad (13)$$

Полученные критерии подобия рекомендуется преобразовать следующим образом:

$$\begin{aligned} \Pi'_1 &= \mathcal{K}_1 : \mathcal{K}_3 : \mathcal{K}_4 = \frac{N}{V_p \cdot g \cdot h \cdot C_{yd}}; & \Pi'_4 &= \mathcal{K}_4 = \frac{\delta}{h}; \\ \Pi'_2 &= 1 : \mathcal{K}_2 = \frac{V_p}{g \cdot h} = F_g; & \Pi'_5 &= \mathcal{K}_5 = \frac{A}{h}. \\ \Pi'_3 &= 1 : \mathcal{K}_6 : \mathcal{K}_7 = \frac{V_p}{A \cdot \omega}. & \Pi'_6 &= \mathcal{K}_6 = \frac{\omega \cdot h}{V_p}. \end{aligned} \quad (14)$$

В знаменателе критерия Π'_1 произведение $V_p \cdot g \cdot h$ представляет собой количество грунта, разрабатываемого рыхлителем в единицу времени $Q_{ap} = V_p \cdot g \cdot h$. Таким образом, критерий Π'_1 есть отношение удельной мощности, затрачиваемой на вибрирование единицы производительности по грунту, к общенному показателю свойств грунта C_{yd} :

$$\Pi'_1 = \frac{N}{Q_{ap} \cdot C_{yd}} = \frac{N_{ap}}{C_{yd}}. \quad (15)$$

Критериальное уравнение расхода мощности на виброрование грунта принимает форму:

$$\frac{N_{y\delta}}{C_{y\delta}} = C'_0 \cdot \left(\frac{V_n}{A \cdot \omega} \right)^{\alpha_1} \cdot \left(\frac{B}{h} \right)^{\beta_1} \cdot \alpha^{\delta_1} \cdot F_z^{\delta_1} \quad (16)$$

где C'_0 , α_1 , β_1 , δ_1 , F_z - постоянные величины, определяемые опытом.

Мощность, затрачиваемая на преодоление сопротивления водной среды колебаниям рабочего органа, зависит от формы и линейных размеров последнего, от амплитуды и частоты колебаний. Определяющим линейным размером принята ширина рыхлителя. Из анализа размерности функциональной зависимости (4) получаем три критерия подобия:

$$\mathcal{K}_1 = \frac{N_1}{\rho \cdot A^5 \cdot \omega^3}; \quad \mathcal{K}_2 = \frac{m}{\rho \cdot A^2 \cdot \omega} \quad \text{и} \quad \mathcal{K}_3 = \frac{B}{A}, \quad (17)$$

которые преобразуются в:

$$\Pi''_1 = \mathcal{K}_1 : \mathcal{K}_2 : \mathcal{K}_3 = \frac{N_1}{A^2 \cdot \omega^2 \cdot B \cdot m}; \quad (18)$$

$$\Pi''_2 = \mathcal{K}_3 : \mathcal{K}_2 = \frac{B \cdot A \cdot \omega}{m} = \frac{B \cdot A \cdot \omega}{\gamma} = Re', \quad (19)$$

где γ - кинематический коэффициент вязкости.

Π''_2 имеет форму критерия Рейнольдса, однако вместо относительной скорости в него входит скорость колебательного движения $A \cdot \omega$ рабочего органа в воде. Формула для расхода мощности имеет вид:

$$N_1 = C''_0 \cdot A^2 \cdot \omega^2 \cdot B \cdot m \cdot \left(\frac{B \cdot A \cdot \omega}{\gamma} \right)^{\alpha_2} = f'(Re'), \quad (20)$$

где $C''_0 = const$.

Следовательно, моделирование вязких сопротивлений в процессе колебания ножа в воде требует постепенства критерия

$$Re' = \frac{B \cdot A \cdot \omega}{\gamma}.$$

Вид функциональной зависимости $f'(Re')$ определяется по данным опытов.

Отделенный от массива рабочим органом грунт должен быть принудительно подан к зеву сосуна и вовлечен потоком воды в приемную трубу. Поэтому нас интересуют размеры кусков грунта, подготовленных вибрационно-режущим рыхлителем.

Опытами, проведенными на грунтовом канале ТуркменНИИГиМа, установлены основные параметры, определяющие степень дробления грунтовой стружки, связь между которыми осуществляется функциональной зависимостью (5).

Полученные критерии подобия для определения средневзвешенного диаметра кусков стружки:

$$\begin{aligned} \mathcal{K}_1 &= \frac{d_{cp}}{h}; \quad \mathcal{K}_2 = \frac{g \cdot h}{V_n^2}; \quad \mathcal{K}_3 = \frac{C_{y\delta}}{h \cdot J'_{cp}}; \quad \mathcal{K}_4 = \frac{B}{h}; \\ \mathcal{K}_5 &= \alpha; \quad \mathcal{K}_6 = \frac{A}{h}; \quad \mathcal{K}_7 = \frac{\omega \cdot h}{V_n} \end{aligned} \quad (21)$$

можно сгруппировать:

$$\begin{aligned} \Pi'''_1 &= \mathcal{K}_1 : \mathcal{K}_3 : \mathcal{K}_4 = \frac{d_{cp} \cdot C_{y\delta}}{B \cdot h \cdot J'_{cp}}; \\ \Pi'''_2 &= 1 : \mathcal{K}_2 = \frac{V_n^2}{g \cdot h} = F_z; \\ \Pi'''_3 &= 1 : \mathcal{K}_6 : \mathcal{K}_7 = \frac{V_n}{A \cdot \omega}; \\ \Pi'''_4 &= \mathcal{K}_4 = \frac{B}{h}; \\ \Pi'''_5 &= \mathcal{K}_5 = \alpha. \end{aligned} \quad (22)$$

Общее уравнение процесса дробления при подводном вибрационном резании глинистого грунта будет:

$$\frac{d_{cp} \cdot C_{y\delta}}{B \cdot h \cdot J'_{cp}} = C'''_0 \cdot \left(\frac{V_n}{A \cdot \omega} \right)^{\alpha_3} \cdot \left(\frac{B}{h} \right)^{\beta_3} \cdot \alpha^{\delta_3} \cdot F_z^{\delta_3}, \quad (23)$$

или

$$d_{cp} = C'''_0 \cdot \frac{B \cdot h \cdot J'_{cp}}{C_{y\delta}} \cdot \left(\frac{V_n}{A \cdot \omega} \right)^{\alpha_3} \cdot \left(\frac{B}{h} \right)^{\beta_3} \cdot \alpha^{\delta_3} \cdot F_z^{\delta_3}.$$

Таким образом, величина средневзвешенного диаметра кусков грунта пропорциональна сечению стружки, обратно про-

порциональна показаниям динамического плотномера грунта, а также зависит от критериев кинематического, геометрического подобия и от критерия Фруда.

Выводы

1. Моделирование грунта при подводном вибрационном резании производится по одному прочностному параметру - числу ударов динамического плотномера ДорНИИ, принимаемому как обобщенный показатель динамических и прочностных свойств грунта.

2. Основные показатели процесса подводного вибрационного резания грунта (тяговое усилие, мощность, расходуемая на вибрацию грунта, мощность на преодоление сопротивления водной среды и степень дробления стружки) определяются из соответствующих критериальных уравнений (12), (16), (20) и (23), раскрываемых опытным путем.

ЛИТЕРАТУРА

1. Алабужев П.М., Геронимус В.В., Минкевич Л.М. Теории подобия и размерностей. Моделирование. М., "Высшая школа", 1968.

2. Баловнев В.И. Физическое моделирование резания грунтов. М., "Машиностроение", 1969.

3. Доктор Ф.Ш., Лях В.Д. Исследование сопротивления резанию влажного глинистого грунта вибрирующим клином. В сб. тезисов докладов: "Задачи повышения эффективности научно-исследовательских и проектно-конструкторских работ в гидромеханизации земляных и горных работ. М., ГПИ "Проектгидромеханизация", 1973.

4. Дубровский А.А. Вибрационная техника в сельском хозяйстве. М., "Машиностроение", 1968.

УДК 626.862.4

Инж. Ю.П. НОВИЦКАЯ

ОПРЕДЕЛЕНИЕ ВЫСОТЫ ВЫСАЧИВАНИЯ ДЛЯ НЕСОВЕРШЕННЫХ СКВАЖИН ВЕРТИКАЛЬНОГО ДРЕНАЖА

Величину высачивания можно точно определить только для условий плоского фильтрационного потока (высачивание на откосе дамбы, горизонтальной дрены и т.п.). Для определения высоты высачивания в условиях плоско-радиального потока точного решения не существует.

И.А. Чарним [1] предложено приближенное аналитическое решение для определения высоты высачивания, основанное на замене безнапорного движения фиктивным напорным движением. После существенных упрощений предложенное решение имеет вид:

$$h_b = H \left[\frac{\ell_n}{\ell_n} \frac{R}{\sigma_c} \left(1 - \frac{h_c^2}{H^2} \right) + \frac{h_c^2}{H^2} - \frac{h_c}{H} \right] \quad (I)$$

Зависимость (I) не учитывает несовершенства скважин. Пользоваться этой зависимостью для приближенных расчетов высоты высачивания у несовершенных скважин можно только в том случае, если с большой достоверностью определен радиус влияния скважин, который является единственным параметром в формуле, косвенно учитывающим степень несовершенства скважины. Многолетние исследования позволили с достаточной степенью точности определить радиусы влияния несовершенных

Определение высоты высачивания для скважин совхоза "Карадамак"

Номер скважин, год наблюдений	Дебит скважин, л/сек	Глубина скважин, м	Длина фильтра, м	Напор в скважине, м	Высота высачивания, рассчитанная по формуле И. А. Чарного; Шестакова; Новицкой		
					И. А.	В. М.	Ю. П.
1, 1968	3,4	50,0	2,6	47,5	50,0	270,0	10,8
2, 1966	22,0	49,4	17,0	32,4	83,0	8,3	7,5
5, 1971	14,1	44,0	13,4	30,6	88,6	210,0	6,1
5, 1967	24,0	50,0	18,0	32,0	82,0	280,0	9,7
8, 1967	19,1	53,0	15,5	37,5	84,5	240,0	8,3
10 ^a , 1965	16,8	40,0	14,0	26,0	86,0	220,0	7,4
15 ^b , 1965	13,3	50,0	10,3	39,7	89,7	160,0	4,4
16 ^c , 1965	16,1	46,7	12,1	34,5	87,9	190,0	7,1
15 ^d , 1965	16,8	50,0	12,6	37,4	87,4	200,0	7,8
29, 1972	20,1	49,0	14,7	34,3	85,5	240,0	7,4
31, 1972	25,9	54,0	18,5	35,5	81,5	200,0	11,6
32, 1972	33,1	52,0	24,2	27,8	75,8	380,0	12,0
37, 1972	23,5	48,0	17,5	30,5	82,5	280,0	9,8
7, 1968	34,5	53,3	25,0	28,3	75,0	400,0	11,4
13, 1968	8,1	47,8	6,5	41,3	93,5	100,0	4,7
11, 1969	27,5	54,0	20,5	30,5	79,5	350,0	9,9
9, 1969	25,5	49,5	18,0	31,5	82,0	290,0	7,0
							12,9
							7,6

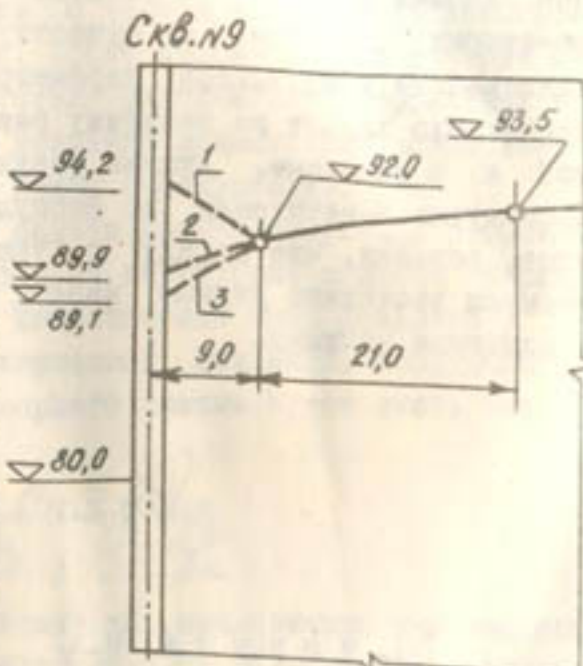
скважин для условий совхоза "Карадамак" Ашхабадского района Туркменской ССР. На основе фактических данных нами произведены расчеты высоты высачивания, результаты которых приведены в таблице. Основные параметры принятой расчетной схемы следующие: мощность водоносного пласта $H = 100$; коэффициент фильтрации водоносной толщи, определенный методом откачек, $K = 2 \text{ м}/\text{сут}$; радиус скважины 0,2 м; средняя толщина фильтра $\delta = 0,5 \text{ м}$ и соответственно радиус фильтра 0,7 м; коэффициент фильтрации фильтровой обсыпки 20 м/сут.

В.М. Шестаков [2], преобразовав формулу (I), получил зависимость:

$$h_b = \sqrt{\left(0,73 \lg \frac{\sqrt{\frac{Q}{K}}}{z_0} - 0,51\right) \frac{Q}{K} + h_o^2} - h_o \quad (2)$$

основным преимуществом которой является принципиальная применимость ее для расчета участка высачивания у несовершенных скважин. В этом случае напор в скважине следует отсчитывать от ее дна, т. е. заменять в формуле (2) h_o на h_c . Подсчитанные по формуле В.М. Шестакова значения промежутка высачивания для несовершенных скважин совхоза "Карадамак" (см. табл.) значительно завышены: фактические наблюдения по скважинам 7, 9 и II, оборудованным наблюдательным пьезометром (на расстоянии 10 м), показывают, что промежуток высачивания не мог быть более 10 м.

Для иллюстрации этого вывода на рисунке приведено сравнение участков высачивания, рассчитанных по указанным формулам для скважины № 9 (1968 г.),



Положение промежутка высачивания (скв. № 9), рассчитанного по зависимостям:
1- В.М.Шестакова;
2- И.А. Чарного;
3- Ю.П. Новицкой

и фактическое положение депрессионной кривой в 10 м от скважины по данным наблюдательного пьезометра.

Поскольку формула В.М. Шестакова значительно завышает величину промежутка высачивания, а формула И.А. Чарного, теоретически необоснованная для несовершенных скважин, в отдельных случаях также приводит к недопустимой погрешности, наши исследования были направлены на то, чтобы получить новую зависимость, основным критерием правильности которой являлась бы хорошая сходимость с опытными данными. На основе результатов многолетних натурных исследований нами получена приближенная формула для определения промежутка высачивания:

$$h_0 = \sqrt{H^2 - \frac{Q}{K} \left(\frac{1}{K} \ln \frac{R}{\bar{z}_\varphi} + \frac{1}{K_\varphi} \ln \frac{\bar{z}_\varphi}{\bar{z}_c} \right)} - h_0(3)$$

Преимущества этой формулы следующие: во-первых, несовершенство скважины хорошо учитывается не только радиусом влияния R , но и дебитом несовершенной скважины Q ; во-вторых, в отличие от существующих формул в предлагаемой зависимости учитываются параметры фильтра скважины, которые несомненно влияют на величину разрыва уровней перед скважиной и в скважине. Анализ результатов выполненных расчетов промежутка высачивания по формуле (3), приведенных в таблице, показал, что наряду с указанными преимуществами этой формулы расчетные данные имеют гораздо лучшую сходимость с опытными данными.

ЛИТЕРАТУРА

1. Чарный И.А. О величине промежутка высачивания при безнапорной фильтрации. "ДАН СССР", т. 80, № 1, 1951.

2. Шестаков В.М. Определение участка высачивания фильтрационного потока у стенки скважины. "Известия АН СССР", ОТН, Энергетика и автоматика, 1959, № 1.

УДК 626.862.4

Инж. Ю.П. НОВИЦКАЯ

ОПРЕДЕЛЕНИЕ СОПРОТИВЛЕНИЯ НА НЕСОВЕРШЕНСТВО СКВАЖИНЫ, НЕСОВЕРШЕННОЙ ПО СТЕПЕНИ И ХАРАКТЕРУ ВСКРЫТИЯ

При определении оптимальных параметров режима эксплуатации систем мелиоративного вертикального дренажа крайне важно все расчеты проводить с учетом фактических конструктивных особенностей скважин. После строительства дренажа необходимо определить соответствие фактических и проектных параметров и в случае, если выявлены существенные отклонения, откорректировать проектный режим эксплуатации.

Для решения этой задачи проанализирована работа 15 скважин вертикального дренажа на территории совхоза "Карадамак" Ашхабадского района. Теоретически было доказано [2], что формула Дюпюи для совершенной скважины, оборудованной фильтром, в условиях безнапорного режима будет иметь вид:

$$Q = \frac{K (H^2 - h_0^2)}{\frac{\ln \frac{R}{\bar{z}_\varphi}}{K} + \frac{\ln \frac{\bar{z}_\varphi}{\bar{z}_c}}{K}} . \quad (1)$$

Дебит же несовершенных скважин для аналогичных условий согласно И.А. Чарному и В.М. Шестакову [4, 5] можно записать в виде:

$$Q = \frac{K (H^2 - h_0^2)}{\frac{\ln \frac{R}{\bar{z}_\varphi}}{K} + \frac{\ln \frac{\bar{z}_\varphi}{\bar{z}_c}}{K_\varphi} + \frac{C_c}{K} + C_x} , \quad (2)$$

где

K_f - коэффициент фильтрации фильтра;
 r_f - радиус фильтра;

C_c - сопротивление скважины на гидродинамическое несовершенство по степени вскрытия;

C_x - сопротивление на несовершенство по характеру вскрытия.

Суммарное сопротивление

$$\sum C = \frac{\ln \frac{R}{r_f}}{K} + \frac{\ln \frac{r_f}{r_c}}{K_f} + \frac{C_c}{K} + C_x \quad (3)$$

складывается как бы из внешнего сопротивления

$$C_{\text{вн}} = \frac{\ln \frac{R}{r_f}}{K} + \frac{C_c}{K} \quad (4)$$

и внутреннего

$$C_{\text{внутр}} = \frac{\ln \frac{r_f}{r_c}}{K_f} + C_x \quad (5)$$

В расчетах при проектировании часто ограничиваются внешним сопротивлением, не учитывая внутреннего. В задачу наших исследований входило - выяснить, в каких случаях можно пренебречь внутренним сопротивлением.

По данным натурных исследований работы скважин вертикального дренажа были определены фактические суммарные сопротивления конкретных скважин, расчет которых приведен в таблице, затем проанализированы составляющие суммарного сопротивления.

Внешнее приведенное сопротивление $\frac{\ln \frac{R}{r_f}}{K}$ с достаточной степенью точности подсчитывается после тщательного определения радиуса влияния скважин^{*}.

Результаты расчета приведенного сопротивления на несовершенство по степени вскрытия $\bar{C}_c = \frac{C_c}{K}$ приведены в таб-

* Радиусы влияния скважин для установленного режима эксплуатации скважин вертикального дренажа приведены в таблице на стр. 86 данного сборника.

лице. Сопротивление на несовершенство по степени вскрытия определялось по полученной ранее формуле [1]:

$$C_c = \left[\frac{2\lambda - \bar{s}}{(2-\bar{s})\lambda h} - 1 \right] \ln \frac{R}{r_f}, \quad (6)$$

где $\bar{s} = \frac{S}{H}$ - приведенное понижение динамического уровня в скважине;

$\lambda = \lambda^{\frac{2}{3}}$ - коэффициент несовершенства скважин, установленный эмпирически по данным физического моделирования на секторном фильтрационном лотке, проверенный по данным натурных исследований [1].

По результатам расчета внешнего приведенного сопротивления $\bar{C}_{\text{вн}} + \bar{C}_c$ определялось неучтено сопротивление и выявились относительные погрешности определения приведенного суммарного сопротивления без учета сопротивления фильтра и несовершенства по характеру вскрытия. Как видно из таблицы, погрешности эти достаточно велики: в отдельных случаях достигают 25 - 30 %.

Расчет дебитов скважин без учета указанных сопротивлений приводит к еще большим погрешностям - соответственно до 35 - 45 %, что совершенно недопустимо. Это свидетельствует о необходимости учета так называемого внутреннего сопротивления фильтра и сопротивления на несовершенство по характеру вскрытия.

Сопротивление фильтра рассчитывалось по проектным параметрам его (см. таблицу). Расчетное сопротивление на несовершенство по характеру вскрытия^{**} определялось по формуле В.И. Щурова [4]:

$$C_x = \frac{800 \varepsilon}{D \ln h}, \quad (7)$$

где D - диаметр фильтрового отверстия, см;

^{**} Сопротивление на несовершенство по характеру вскрытия зависит от длины перфорированной части скважины и ее положения внутри водоносного пласта, от формы отверстий и их количества (скважинности), от размера отверстий, определяющего дисперсию потока, характера расположения отверстий по водоприемной поверхности скважины и их взаимодействия.

Определение фактического суммарного сопротивления скважин вертикального дренажа совхоза "Карадамак"

Номер скважин, год наблюдений	Дебит скважин, л/сек	Понижение динамического оупорного давления скважин, м	Приведенное сопротивление фильтра, сут./м	Внешнее сопротивление		Погрешность определения сопротивления
				Приведенное сопротивление с учетом совершенства фильтра, сут./м	Внутреннее сопротивление с учетом несовершенства фильтра, сут./м	
I - 1968	3,4	2,6	4,5	2,13	1,20	0,21
2 - 1966	22,0	17,0	5,1	2,98	1,34	0,21
5 - 1971	14,1	13,4	6,4	2,84	1,56	0,22
5 - 1967	24,0	18,0	4,9	2,99	1,32	0,21
8 - 1967	19,1	15,5	5,3	2,91	1,22	0,21
10 ^a - 1965	16,8	14,0	5,5	2,87	1,86	0,24
15 ^c - 1965	15,3	10,3	5,2	2,71	1,36	0,21
16 ^b - 1965	16,1	12,1	5,1	2,80	1,29	0,22
15 ^b - 1965	16,8	12,6	5,0	2,82	1,33	0,21
29 - 1972	20,1	14,7	4,9	2,91	1,40	0,21
31 - 1972	25,9	18,5	4,7	2,82	1,08	0,20
32 - 1972	33,1	24,2	4,6	3,15	1,13	0,21
37 - 1972	23,5	17,5	4,9	2,98	1,37	0,21
7 - 1968	34,5	25,0	4,6	3,17	1,05	0,20
13 - 1968	8,1	6,5	5,2	2,48	1,44	0,21
11 - 1969	27,5	20,5	1,8	3,07	1,20	0,21
9 - 1969	25,5	18,0	4,7	3,01	1,29	0,21

Л - число отверстий на I м перфорированной части скважины;

$$\bar{h} = \frac{\ell_0}{H};$$

$\varepsilon = 0,15$ - безразмерный коэффициент.

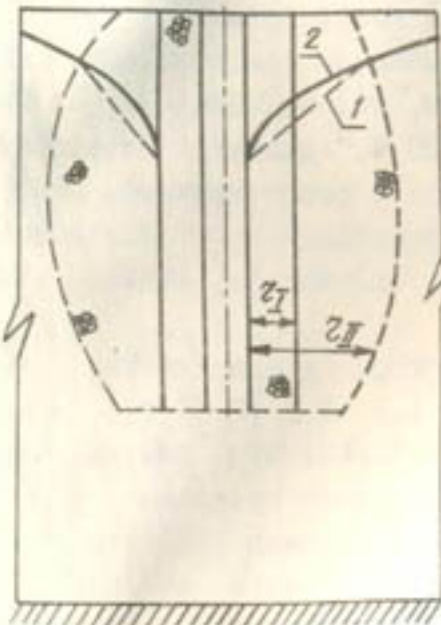
Как видно из таблицы, расчетные сопротивления на несовершенство по характеру вскрытия, подсчитанные на основе проектных параметров (скважинность 20 %, ^а диаметр отверстия I см) невелики, однако учет их вместе с сопротивлением фильтра улучшает сходимость расчетного сопротивления с фактическим: в большинстве случаев они отличаются менее, чем на 10 %.

Большие расхождения расчетных и фактических дебитов в скважинах № 1 и 5 (1971 г.), № 8 (1967 г.), № 16 (1965 г.), № 13 (1968 г.) объясняются тем, что фактические параметры фильтра значительно отличаются от проектных.

Как показали исследования в период строительства скважин (1965 - 1968 гг.), строительные откачки из них сопровождались интенсивным пескованием (количество завесей превышало 30 - 40 %) [3]. Продолжительность прокачки изменилась в пределах 15 - 60 суток. Иногда при общей тенденции к уменьшению интенсивности пескования периодически наблюдалось резкое увеличение содержания песка в воде, что, как правило, сопровождалось просадкой гравия. При геометрическом объеме зафильтрового пространства скважин 55 - 60 м³ в период строительных откачек дополнительно засыпалось 100 - 120 м³ гравия. Если предположить, что это количество гравия пошло на заполнение каверн в водоносных породах, то расчет-

^a Фактическая скважинность была несколько меньше, так как ввиду небольших коэффициентов фильтрации водоносной толщи рассматриваемого участка вертикального дренажа перфорированная часть скважин обматывалась металлической сеткой (это не учитывалось существующей формулой). Как показала практика строительства, фактическая скважинность редко достигает проектной и, как правило, не превышает 15 %. Поэтому при сдаче в эксплуатацию скважин совершенно необходимо точно указывать фактическую скважинность их перфорированной части, так как это важно учитывать при корректировке проектных режимов эксплуатации. Необходимость в коррективах может возникнуть и в связи с частичной колматацией отверстий в период эксплуатации.

ный диаметр контура обсыпки составит около 3 м. Деформация контура фильтра схематически представлена на рисунке, где $Z_f = 0,4$ м, $Z_{\bar{f}} = 2,5 - 3,0$ м.



Коэффициент фильтрации фильтровой обсыпки также значительно уменьшался, так как кольматация обсыпок была очень интенсивной и достигала, по данным исследований, 20 - 30 %. В отдельных случаях коэффициент снижался до 6 м/сутки. Приведенное сопротивление фильтра $\frac{\ell_n}{K_f} \frac{Z_c}{Z_f}$ при этом

увеличивалось в 4 - 5 раз, что обязательно нужно учитывать при расчетах режимов эксплуатации.

Таким образом, результаты проведенного анализа показали, что при расчетах оптимальных параметров режимов эксплуатации можно с достаточной степенью точности определить фактическое приведенное

суммарное сопротивление, пользуясь формулой (6). Это дает возможность при определенном оптимальном дебите скважины получить соответствующий ему напор в скважине h_o , используя зависимость:

$$h_o = \sqrt{H^2 - \frac{Q_{op} \sum C}{K}}, \quad (8)$$

и оптимальное понижение динамического уровня в скважине.

$$S_{op} = H - \sqrt{H^2 - \frac{Q_{op} \sum C}{K}}. \quad (9)$$

Л И Т Е Р А Т У Р А

1. Новицкая Ю.П. Изучение эффективности действия вертикального дренажа в Прикопетдагской зоне. Научно-технический отчет ТуркменНИИГиМа, Ашхабад, 1971.

2. Новицкая Ю.П. Разработка оптимальных режимов эксплуатации систем вертикального дренажа в целях мелиорации земель зоны Каракумского канала. Научно-технический отчет ТуркменНИИГиМа, Ашхабад, 1972.

3. Фоменко В.И. Подбор оптимальных параметров гравийнозасыпных фильтров дренажных скважин на участках совхоза "Карадамак" и Куртлымского водохранилища. Научно-технический отчет ВИОГЕМа, Белгород, 1968.

4. Чарни И.А. Подземная гидрогазодинамика. М., Гостоптехиздат, 1963.

5. Шестаков В.М. Теоретические основы оценки подпора, водопонижения и дренажа. М., Изд-во МГУ, 1965.

УДК 626.8II.004.I4:635.64

Инж. Т. ДЖУМАНАЗАРОВА

ИССЛЕДОВАНИЕ ИСПОЛЬЗОВАНИЯ ГРУНТОВОЙ ВОДЫ ТОМАТАМИ

По результатам наблюдений в лизиметрах суммарное водопотребление томатов при величине урожая 895 - 1117 ц/га и глубине залегания уровня грунтовых вод от 1 до 3 м составило 1481 - 1748 мм. В том числе за счет капиллярного подтока от грунтовых вод (апрель - октябрь) при глубине их зале-

Водопотребление полем томатов за вегетационный период в зависимости от глубины залегания грунтовых вод и величины урожая

Глубина залегания грунтовых вод, м	Годы	Суммарное потребление воды, мм			В том числе грунтовой			Урожай, ц/га	Расход воды на 1 ц урожая, мм		
		глубиной залегания	покрытием почвы	%	мм	%	суммарный		грунтовой	поверхностной	
1	1970	1499	703	47	796	53	707	2,12	0,99	1,13	
	1971	1855	926	50	929	50	1170	1,59	0,79	0,80	
	1972	1891	1011	54	880	46	1285	1,47	0,78	0,69	
	Среднее	1748	880	50	869	50	1054	1,65	0,83	0,82	
2	1970	1696	789	46	907	54	1406	1,21	0,56	0,65	
	1971	1654	683	41	971	59	1010	1,65	0,68	0,97	
	1972	1671	669	40	1002	60	935	1,79	0,72	1,07	
	Среднее	1674	714	43	960	57	1117	1,50	0,64	0,86	
3	1970	1472	450	30	1022	70	1063	1,39	0,42	0,97	
	1971	1411	358	25	1053	75	825	1,72	0,56	1,16	
	1972	1563	438	28	1125	72	797	1,96	0,55	1,41	
	Среднее	1481	415	28	1066	72	895	1,66	0,46	1,20	

гания 1 м - 703 - 1011 мм, 2 м - 669 - 789 мм, 3 м - 358 - 450 мм (табл. I)[#]. Это свидетельствует о возможности использования пресных грунтовых вод томатами.

Как установлено, с увеличением оросительной нормы и глубины залегания грунтовых вод расход их уменьшается, а с возрастанием урожая томатов - увеличивается.

Максимальное использование грунтовых вод (54 % от суммарного водопотребления) при стоянки на глубине 1 м наблюдалось в 1972 г., чему соответствовал максимальный урожай - 1285 ц/га. При максимальном урожае 1406 ц/га доля участия грунтовых вод в суммарном водопотреблении полем томатов (при стоянки на глубине 2 м) составила 46 %, при минимальном урожае 935 ц/га - 40 %. В 1970 г. при урожае 1063 ц/га томатами использовалось 450 мм грунтовой воды (при залегании на трехметровой глубине), или 30 % от суммарного водопотребления. С уменьшением доли грунтовой воды в суммарном водопотреблении томатов до 25 - 28 % полученный урожай составил 797 - 825 ц/га.

На центнер урожая томатов расходуется: грунтовых вод - 0,42 - 0,99 мм, поверхностных - 0,65 - 1,20 мм.

Анализ данных, приведенных в табл. 2, показывает, что расход грунтовых вод при стоянки на глубине 1 м начинался: в 1970 - 1971 гг. - в мае, с максимумом в июле (264 - 313 мм), в 1972 г. - в июне, с максимумом в августе (345 мм). С окончанием периода массового плодоношения томатов (сентябрь) расход грунтовой воды резко сократился, уменьшаясь и в последующие месяцы. В конце вегетационного периода - до 71 - 106 мм (октябрь).

Начало расхода грунтовых вод при стоянки на глубине 2 м сместилось на июнь, но наибольшая его величина наблюдалась также в июле - 242 - 266 мм (1970 - 1971 гг.) и августе - 237 мм (1972 г.). В дальнейшем расход грунтовой воды уменьшился. В октябре - до 43 - 120 мм. Общий расход за вегетационный период составил 669 - 789 мм, или в среднем на

[#] Т.Джуманазарова, В.А.Соколова. О методах определения суммарного расхода воды полем томатов и лука. В сб. "Мелиорация земель в Туркменистане". Ташкент, САНИИРИ, 1974.

Расход грунтовых вод полем томатов, мм

Глубина залегания грунтовых вод, м	Годы	Месяцы										За вегета- ционный период:	За не- вегета- ционный год			
		I	II	III	IV	V	VI	VII	VIII	IX	X	XI	XII			
1	1970	0	111	0	0	7	76	264	175	75	106	22	5	703	38	741
	1971	1	4	0	0	23	143	313	268	96	83	56	0	926	61	987
	1972	0	0	0	0	105	299	345	191	71	8	3	1011	11	1022	
	Среднее	0	5	0	0	10	108	292	262	121	87	29	3	880	37	917
2	1970	0	8	0	0	0	64	266	216	123	120	18	0	789	26	815
	1971	0	2	0	0	0	78	242	177	115	71	40	0	683	42	725
	1972	0	0	0	0	0	45	177	237	167	43	6	4	669	10	679
	Среднее	0	3	0	0	0	63	238	210	135	78	21	1	714	25	739
3	1970	0	6	0	0	0	1	82	151	107	109	23	6	450	35	485
	1971	5	1	0	0	0	5	61	145	69	58	20	0	358	26	384
	1972	0	0	0	0	0	0	33	149	176	80	10	5	438	15	453
	Среднее	2	2	0	0	0	2	59	148	124	82	18	4	415	25	440

19 % меньше, чем при стоянии грунтовых вод на глубине 1 м.

Расход грунтовых вод, залегавших на глубине 3 м, в июне практически отсутствовал. Начало его наблюдалось в основном в июле. Максимальный расход повсеместно отмечался в августе - 145 - 151 мм, оставаясь значительным и в сентябре - 89 - 176 мм. Общий расход грунтовой воды полем томатов за вегетационный период составил 358 - 450 мм, или в среднем соответственно на 42 и 53 % меньше, чем в первом и втором случаях. За невегетационный период полем расходовалось около 1 - 6 % годового расхода грунтовых вод.

По периодам развития томатов расход грунтовых вод изменился неравномерно. В период укоренения рассады до цветения (апрель - первая половина мая) грунтовая вода практически не использовалась растениями. В период цветения - созревания плодов, продолжительностью 43 - 45 дней, среднесуточный расход грунтовых вод при стоянии на глубине 1 м изменился от 1,8 до 3,4 мм. Это соответственно в 2 и 28 раз больше, чем при залегании грунтовых вод на глубине 2 и 3 м. Основной расход грунтовой воды приходился на период созревания плодов - конец массового плодоношения (91 - 107 дней) - 366 - 677 мм, или 77 - 88 % общего расхода за вегетационный период. Наибольшего развития растения томатов достигали: при стоянии грунтовых вод на глубине 1 м - в июле-августе, 2 м - в эти же месяцы, 3 м - в августе-сентябре. При этом использовалось грунтовой воды соответственно 439 - 552 мм, 414 - 482 мм и 234 - 325 мм. Это составляло в среднем 61 - 66 % общего ее расхода. За период созревание - конец массового плодоношения среднесуточный расход грунтовых вод (3,7 - 7,0 мм) увеличился по сравнению с периодом цветения - созревания на 60 - 76 %, а после массового плодоношения томатов - уменьшился до 1,9 - 2,7 мм.

Выводы

1. С увеличением глубины залегания грунтовых вод доля их участия в суммарном расходе воды полем томатов за вегетационный период уменьшается: при глубине 1 м - 50 % (880 мм), 2 м - 43 % (714 мм), 3 м - 28 % (415 мм).

2. Расход грунтовых вод за невегетационный период составляет 3 - 6 % их годового расхода.

ды полем люцерны, полученные различными методами. Рекомендованна формула для расчетов месячного испарения воды с люцернового поля.

Табл. 7, библиогр. 6.

УДК 631.675+633.5II:551.573

Гафуров В.К., Тагамов М.

Определение
очередного срока полива хлопчатника
по относительной испаряемости

Сб. "Мелиорация земель в Туркменистане". Вып. 2,
САНИИРИ, Ташкент, 1975 (ТуркменНИИГиМ ММиВХ СССР).

В статье рассматриваются вопросы назначения сроков полива хлопчатника различными способами, приведены результаты испытаний сигнализатора полива, основанного на взаимодействии расхода влаги из почвы с испаряемостью.

Табл. 3, иллюстр. 2.

УДК 581.45.087.I+633.5II

Минаева Е.Н.

Биометрические характеристики хлопчатника

Сб. "Мелиорация земель в Туркменистане". Вып. 2,
САНИИРИ, Ташкент, 1975 (ТуркменНИИГиМ ММиВХ СССР).

В статье приведены результаты непосредственных измерений биомассы хлопчатника. Даны рекомендации определения одной из важнейших характеристик растений - относительной площади листьев, необходимой при расчетах как транспирации растений, так и суммарного испарения.

Табл. 2, иллюстр. 3, библиогр. II.

УДК 550.8:631.6.001.5

Назарнамедов О., Джумамуратов А.А., Новиков В.Ф.

Перспективы применения геофизических съемок
при мелиоративных исследованиях

УДК 631.62:626.86

Калантасев В.А.

Борьба с засолением орошаемых земель
в Чардоуском оазисе

Сб. "Мелиорация земель в Туркменистане". Вып. 2,
САНИИРИ, Ташкент, 1975 (ТуркменНИИГиМ ММиВХ СССР).

В статье характеризуется рассоление засоленных земель, осуществляемое промывными поливами на фоне интенсивно действующих дренажных систем. Даётся оценка сравнительной эффективности этих систем. В порядке снижения эффекта они расположились в такой последовательности: вакуумные дренажные системы, закрытый горизонтальный дренаж, вертикальный дренаж и открытый горизонтальный дренаж.

УДК 551.573:633.3I

Аманов Х., Заманирад Х., Соколова В.А.

Исследование суммарного испарения
на люцерновом поле по методу теплового баланса

Сб. "Мелиорация земель в Туркменистане". Вып. 2,
САНИИРИ, Ташкент, 1975 (ТуркменНИИГиМ ММиВХ СССР).

В статье рассматриваются результаты определения суммарного испарения полем люцерны методом теплового баланса, основной составной частью которого является радиационный баланс с максимумом интенсивности в полуденное время. Показано, что интенсивность суммарного испарения возрастает по мере развития растений и достигает максимальной величины перед укосами (июль-август). Сопоставлены величины расхода во-

Сб. "Мелиорация земель в Туркменистане". Вып. 2, САНИИРИ, Ташкент, 1975 (ТуркменНИИГиМ ММИВХ СССР).

В статье рассматриваются вопросы применения геофизических методов в мелиоративных исследованиях. Излагается методика определения минерализации грунтовых вод по данным вертикальных электрических зондирований (ВЭЗ).

Иллюстр. 3, библиогр. 2.

УДК 626.862.94

Аниаев О., Тиллиев Р., Чалов Д.

Об эффективности
коллекторно-дренажных систем
в Тедженском оазисе

Сб. "Мелиорация земель в Туркменистане". Вып. 2, САНИИРИ, Ташкент, 1975 (ТуркменНИИГиМ ММИВХ СССР).

В статье анализируются результаты исследований по изучению динамики уровня и минерализации грунтовых вод, на основании которых определены зоны дренирующего действия коллекторов и дрен, получена величина модуля дренажного стока для открытого внутрихозяйственного коллектора, установлено опреснение грунтовых вод в верхних горизонтах под орошающими полями. Отмечено неудовлетворительное общее состояние закрытого горизонтального дренажа.

УДК 631.67:626.810.3

Хадыров А., Аманов Х.А., Симонян Г.Б.

Влияние орошения минерализованными водами
на урожай хлопчатника

Сб. "Мелиорация земель в Туркменистане". Вып. 2, САНИИРИ, Ташкент, 1975 (ТуркменНИИГиМ ММИВХ СССР).

В статье рассматриваются результаты исследований по изучению влияния поливов минерализованной водой различного качества и степени минерализации на урожай хлопка-сырца тонковолокнистого хлопчатника и накопление солей в почве.

Табл. 2, библиогр. 6.

УДК 631.67:626.810.3

Хадыров А., Аманов Х.А., Гладкая П.И.

Промывка сильнозасоленных земель
после орошения минерализованной водой

Сб. "Мелиорация земель в Туркменистане". Вып. 2, САНИИРИ, Ташкент, 1975 (ТуркменНИИГиМ ММИВХ СССР).

В статье показано, что соли, накопленные в результате орошения минерализованной водой (концентрация 10 г/л), не закрепляются в почве, поэтому легко выщелачиваются. При этом расход воды на вытеснение 1 тонны солей уменьшается. Промывными нормами 17000 - 23400 м³/га воды удается опреснить двухметровую толщу почвы. Сильному выщелачиванию подвергаются токсичные соли, а физиологически безвредные соли вымываются незначительно.

Табл. 4, библиогр. 6.

УДК 626.862.2/.3:624.131.216/.542

Мамедов В.Н.

Исследование устойчивости оснований
и стенок траншей в процессе укладки дрен
современными экскаватор-дреноукладчиками
в водонасыщенных грунтах

Сб. "Мелиорация земель в Туркменистане". Вып. 2, САНИИРИ, Ташкент, 1975 (ТуркменНИИГиМ ММИВХ СССР).

В статье анализируются результаты моделирования методом ЭГДА фильтрационного потока, действующего на дно и стени траншей, копаемой в водонасыщенных грунтах, на основании которых уточнена возможность работы экскаватор-дреноукладчиков без предварительного водопонижения из орошаемых землях при высоком стоянии уровня грунтовых вод.

Табл. 2, иллюстр. 2, библиогр. 2.

УДК 626.861.5:621.879.45:624.131.225/.55

Лях В.Д.

Моделирование подводного резания
глинистого грунта вибрирующим рыхлителем
землесосного снаряда

Сб. "Мелиорация земель в Туркменистане". Вып. 2,
САНИИРИ, Ташкент, 1975 (ТуркменНИИГиМ ММиВХ СССР).

В статье рассматриваются результаты исследований методом моделирования процесса вибрационного резания грунта. На основании этих исследований определены основные параметры, влияющие на процесс подводного вибрационного резания тяжелого глинистого грунта, получены критерии подобия, составлены критериальные уравнения для определения тягового усилия, суммарной мощности, расходуемой на виброрование грунта в водной среде, и средневзвешенного диаметра кусков стружки.

Библиогр. 4.

УДК 626.862.4

Новицкая Ю.П.

Определение высоты высачивания
для несовершенных скважин вертикального
дренажа

Сб. "Мелиорация земель в Туркменистане". Вып. 2,
САНИИРИ, Ташкент, 1975 (ТуркменНИИГиМ ММиВХ СССР).

В статье предлагается новая зависимость для определения высоты высачивания у несовершенных скважин в условиях безнапорного режима, которая в отличие от существующих зависимостей имеет лучшую сходимость с опытными данными, полученными в результате натурных исследований системы вертикального дренажа в совхозе "Карадамак" Ашхабадского района Туркменской ССР.

Табл. 1, иллюстр. 1, библиогр. 2.

УДК 626.862.4

Новицкая Ю.П.

Определение сопротивления
на несовершенство скважин, несовершенной
по степени и характеру вскрытия

Сб. "Мелиорация земель в Туркменистане". Вып. 2,
САНИИРИ, Ташкент, 1975 (ТуркменНИИГиМ ММиВХ СССР).

В статье показано, что при расчетах оптимальных параметров режимов эксплуатации вертикального дренажа необходимо учитывать фактические конструктивные особенности фильтров скважин. Предлагаются зависимости для определения оптимального понижения динамического уровня в скважинах с учетом суммарного сопротивления скважин, несовершенной как по степени, так и по характеру вскрытия.

Табл. 1, иллюстр. 1, библиогр. 5.

УДК 626.8II.004.14:635.64

Джураназарова Т.

Исследование
использования грунтовой воды томатами
Сб. "Мелиорация земель в Туркменистане". Вып. 2,
САНИИРИ, Ташкент, 1975 (ТуркменНИИГиМ ММиВХ СССР).

В статье анализируются результаты исследования по изучению использования грунтовых вод томатами по методу лизиметров. Показано, что пресные грунтовые воды при залегании на глубине 1, 2 и 3 м хорошо используются растениями томатов. Доля их участия в суммарном водопотреблении составляет соответственно 50 %, 43 и 28 %. Урожайность при этом изменяется от 895 до 1117 ц/га.

Табл. 2.

Ю.П. Новицкая. Определение высоты высачивания для несовершенных скважин вертикального дренажа	85
Ю.П. Новицкая. Определение сопротивления на несовершенство скважины, несовершенной по степени и характеру вскрытия	89
Т. Джуманаазарова. Исследование использования грунтовой воды томатами	95

СОДЕРЖАНИЕ

В.А. Калантасев. Борьба с засолением орошаемых земель в Чардоуском оазисе	5
Х. Аманов, Х. Заканимурат, В.А. Соколова. Исследование суммарного испарения на луговом поле по методу теплового баланса	10
В.К. Гафуров, М. Тагамов. Определение очередного срока полива хлопчатника по относительной испаряемости	20
Е.Н. Минаева. Биометрические характеристики хлопчатника	27
О. Нааармакедов, А.А. Джумануров, В.Ф. Новиков. Перспективы применения геофизических съемок при мелиоративных исследованиях .	38
О. Аниаев, Р. Тиллиев, Д. Чалов. Об эффективности коллекторно-дренажных систем в Тедженском оазисе	48
А. Хадыров, Х.А. Аманов, Г.Б. Симонян. Влияние орошения минерализованными водами на урожай хлопчатника	53
А. Хадыров, Х.А. Аманов, П.И. Гладкая. Промывка сильновасоденных земель после орошения минерализованной водой	59
В.Н. Медов. Исследования устойчивости оснований и стенок траншей в процессе укладки дрен современными экскаватор-дреноукладчиками в водонасыщенных грунтах	70
В.Д. Ях. Моделирование подводного резания глинистого грунта вибрирующим рыхлителем землесосного снаряда	76

Туркменский научно-исследовательский институт гидротехники и мелиорации

г.Ашхабад. ул. Островского, 30.

МЕЛЮРАЦИЯ
ЗЕМЕЛЬ В ТУРКМЕНИСТАНЕ
Выпуск второй

Редактор Ю.Н. Моргунов

P-05737 Подписано в печать 7.7.75 г. Формат бумаги 50 x 60
I/B усл. п.л. 6,75 Заказ 1417 тираж 500 экз. Цена 45 коп.
КартФабрика института "УзгипроЗем" г.Ташкент, ул.Мукими, 176